

הטקטוניקה של בקע ים המלח ושוריו באגן ים־ישראל

אריאל היימן (1), חגי רון (2), יהודה אייל (3), משה אידל (3)

(1) המבולן לחקר האגולם

(2) המבולן למחקרים נפטואגיאופיזיקיים

(3) המכלה לאיגואלזיה, אוניברסיטת בן גוריון

רקע

בקע ים המלח הוא אובל טרנספורמי בין הפלטה של שרב לפלטה של אפריקה (צ'ירד 1). מקובל כי לאורך שבך זה התרחשה תנועה אופקית شمالית של 105 ק"מ.

תහילתו של סיור זה בברחת והוא יגיע עד מטולה בצפון־מערב וחרמון באגן־מצד. מספר רב של עבודות נמשו על אורך זה מביניהן נציגין את אלו העוסקות במבנה הרגיאונאלי וביחידות הסלע העיקריות:

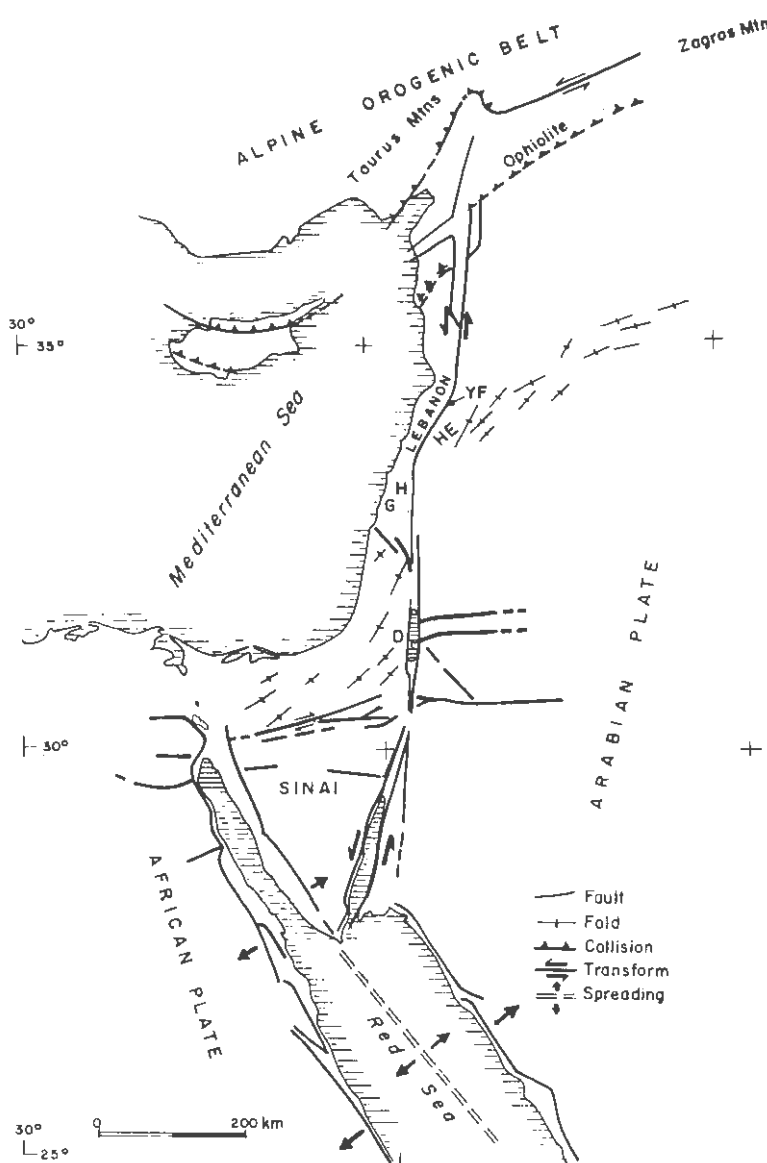
Schulman and ; (1965) Freund et al. ; (1970) Horowitz (1973) ; Picard (1978) Joffe and Garfunkel (1981) ; Bartov (1987).

מטרת הסיור היא לעקוב אחריו מרכיבי השבירה העיקריים לאורך אובל הלוחות בחלוקת הצפוני של ישראל והבניים המשניים המאפיינים אותם.

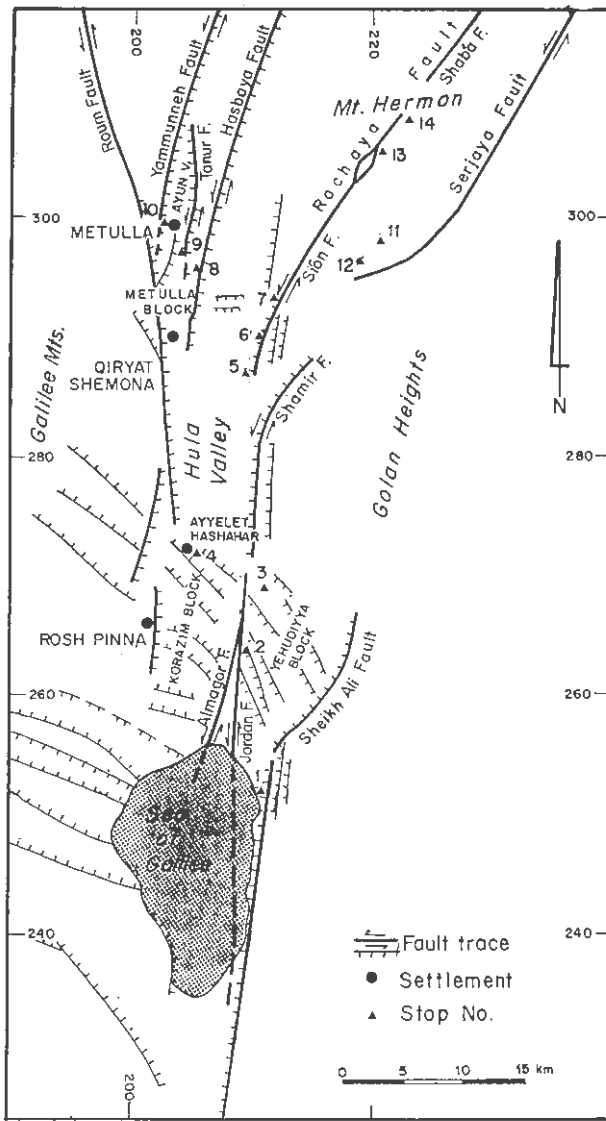
במהלך הסיור נתבונן ביחידות המבנה הראשיות של הבקע: הברחת, בלוק בודדים, עמק החולה, בלוק מטולה, עמק עירון וחרמון (צ'ירד 2). קביעות גיל ונתונים פלאומגנטיים מראים שהבניים הפנימיים צעירים ולבן האוטומטריה של אובל הלוחות היוצרת מבנים אלו צעירה אף היא.

במפל התנור ובאזור מטולה, מקום בו משנה אובל הלוחות את ביומו, נצפה במודרבבות השבירה שמצפון לעמק החולה.

שינוי ביומו הטרנספורם בקען הימונה מס-א-ל-א-אן גורם להתרחשות מבנה הלחיצה של החרמון. שם, ננסה להציג עדויות ומודל למשמעות הפנימי של שולי הלוחות במקביל להשתק ימוניה, וכן נתאר מבנה מתיחה בתוך אורך לחיצה זה. מהחרמון הגבואה נצפה אל הרי הלבנון ונבחין בסטרuktורות הנלוות להמשך אובל הלוחות צפונה.



ציור 1. המארג הטקטוני הכללי של ארץ ישראל וסביבותיה
(modified after Freund and Garfunkel, 1976)
AH-חרמון; H-חולה; G-אליל; D-ים המלח).



ציור 2. מערך השברים הראשיים של אבול הלווחות והשברירה המשנית בצפון ישראל (modified after Heimann and Ron, 1987). מודגם מיקום תחנות הסידור.

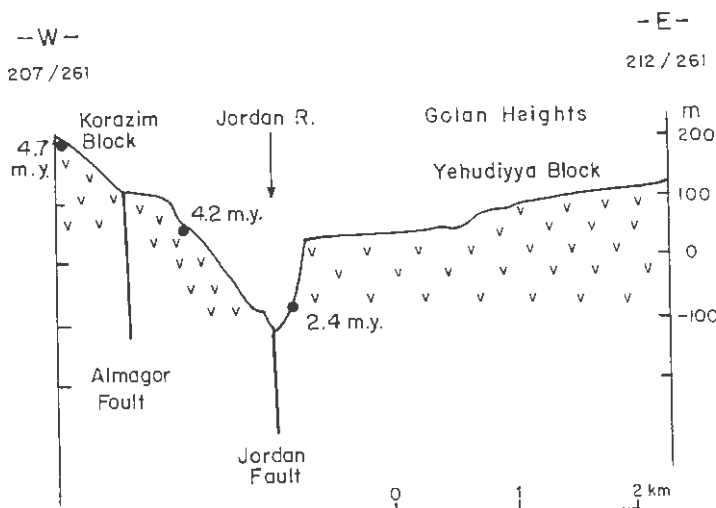
תחנות הסירות

1) חוף בונר (ג.צ. 2105/2520)

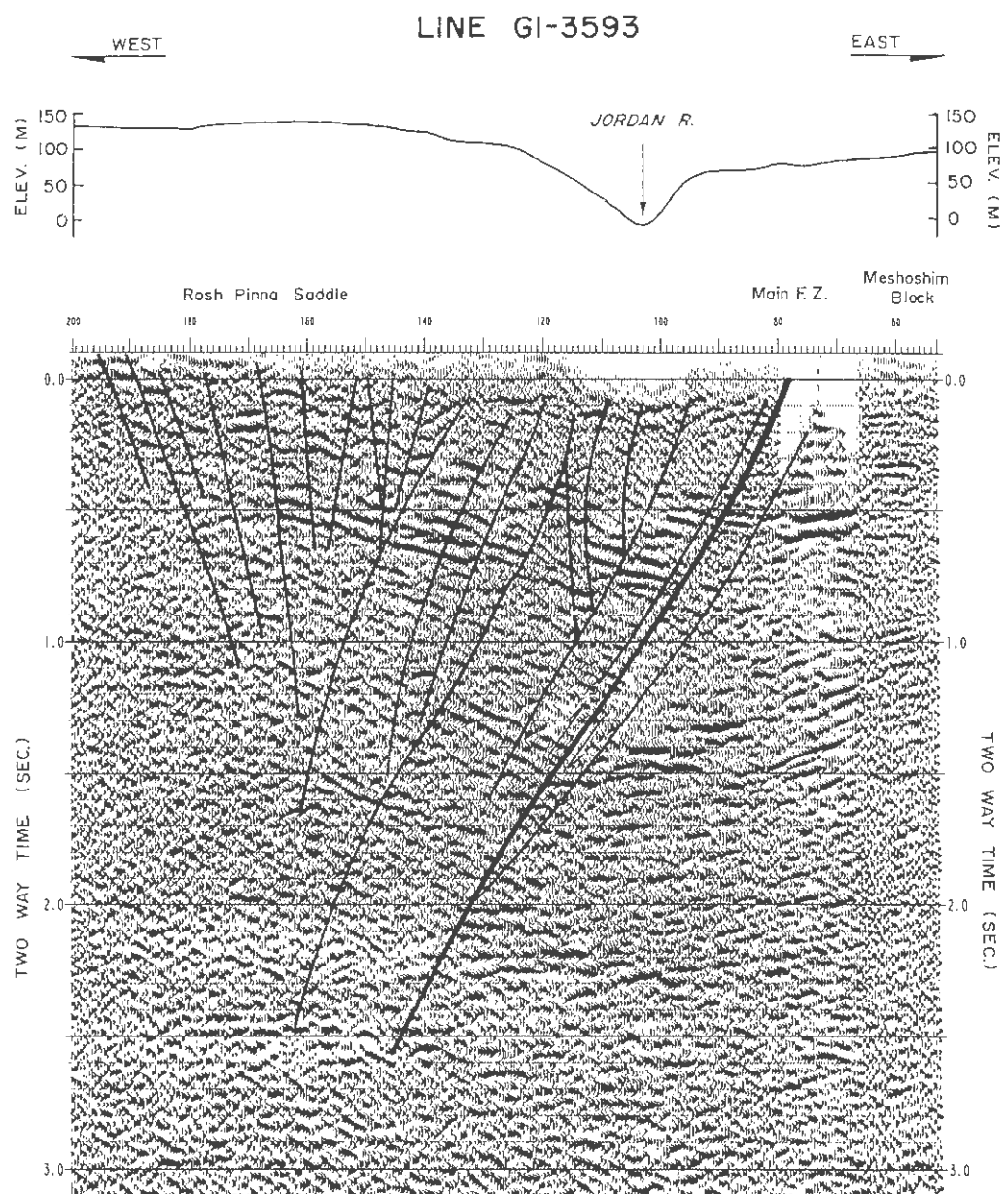
מחופ בונר ניתן לצפות ביחסיות המבנה והגופ העיקריות: במדרח – המורדות של דרום רמת הגולן, בדרום – המורפולוגיה האופיינית לבקע ים המלח, ממערב – מבנה הבלוקים של הגליל מפודיה ועד הר בנשׁוּן, ובצפונו – בלוק בורזים ורמת יהודיה (ציור 2).

האומטירה הבולטת של שדריו הבקע העיקריים באזורי הבנרת תואמת היוזוצרות תחת תנאי מתיחה באזורי זה. איאומטירה מדוייקת וגיל היוזוצרות האגן לא ברורים עדין די הרבה.

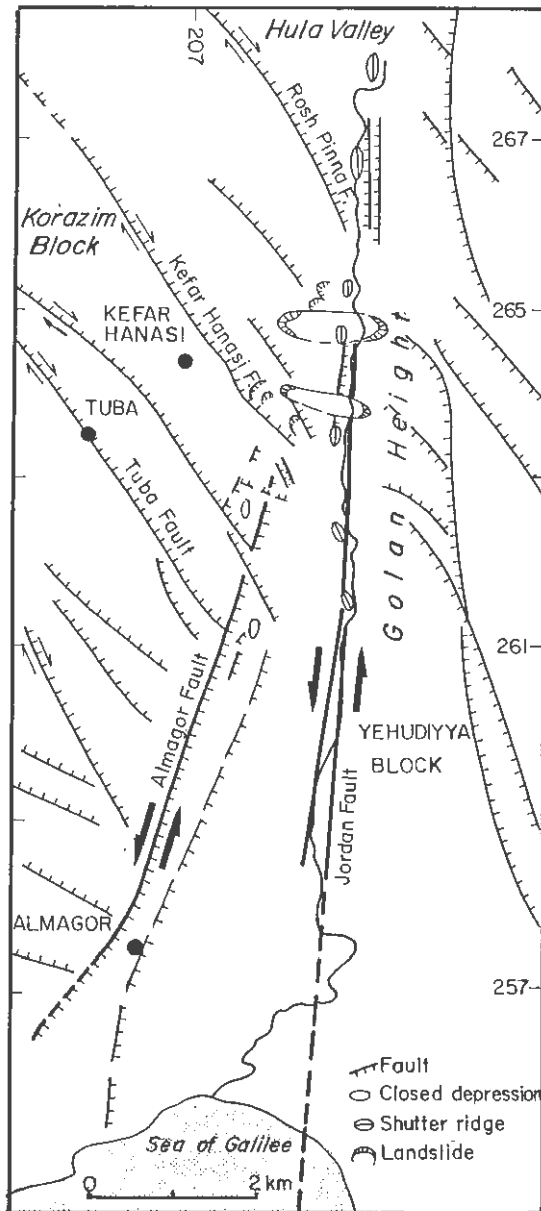
עיקר עניינה של תצפית זו הוא מבט צפונה אל רמת בורזים ורמת יהודיה. רמת בורזים הינה טטרוקטורה מוגבהת יחסית להר בנען שמערב והגולן ממדרח (Freund, 1978; Garfunkel, 1981). אלמנט מורפולוגי בולט בנוף הוא אפיק הירדן המפיד בין בלוק בורזים ובלוק יהודיה ואשר לאורכו עובר קו השבר העיקרי של בקע ים המלח. בלוק יהודיה המתrossoם באורה מתונה ממדרח נמור טופוגרפיה מרמת בורזים, ומוגבל ממדרח על ידי העתק שיח עלי. במדרח רמת בורזים ניתן להבחין במדרגה מורפולוגית המגדירה את מיקומו של העתק אלמגור (ቢיליצקי, 1988).



ציור 3. חתך מזרחה-מערב מרמת הגולן לבלוק בורזים המראה את גילו הבלתיו. ואת העתקי הירדן ואלמגור (Heimann and Ron, in prep. (a)).



ציור 4. חתך רפלקטורי סייסמי בכוון מזרח מערב מרמת הגולן לבולוק כורזים באיזור בפר הנשייה המראת את העתק הירדן ואת מרובת החתכים המשנית המבטאת את המעוות הפנימי בבולוק כורזים (Rotstein and Bartov, in press).



ציור 5. השברים העיקריים והמרכיביים המורפומטוגרפיים לאורך שבריו הירדן
אלמגור Heimann and Ron, in prep.(a), partly modified
. (after Harash and Bar, 1988)

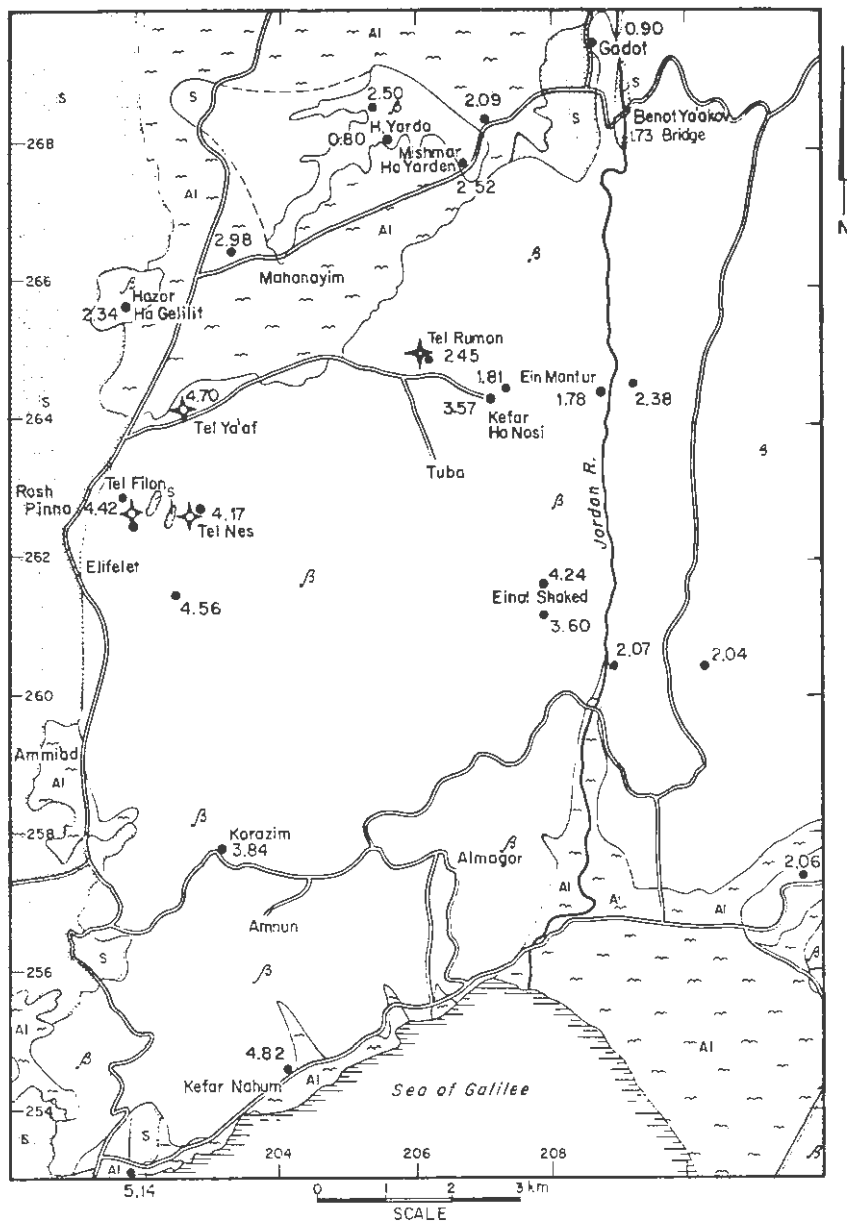
מיוקמו של העתק הבקע הראשי לאוריך הירדן נתמך על ידי מספר האפיות: עדויות אומורפולוגיות, גיל הבזלות ששונה משנה צידי קו השבר (ziegler 3), שלושה קווי רפלקטיה סייסמיות המראים את מיקום העתק הראשי (Rotstein and Bartov, *in press*) (ziegler 4) ובן את מיקום העתק אלמג'ור (ziegler 4) (ziegler 5). וכן פעילות סייסמית של רעידות אדמה המוגבלת לקו זה. העתק אלמג'ור עצמו (ziegler 5) מאופיין על ידי מדרגה מודרנטוניה ואזרדים בלתי מנוקזים. בירונו של העתק אלמג'ור הוא °020± ולבן חנווה שמאליה עלייו מבתיבה משטר לחיצה בבלוק בורדיים (Heimann and Ron, *in prep.* (a).

2) ח. רפид (ג.צ. 2092/2627)

בלוק בורדיים מבוסה ברוב שטחו על ידי בזלות שטוחות אילים הוא מ-1.5 ועד 0.8 מיליון שנה (ziegler 6) (ziegler et al., 1987). בלוק זה עבר מעוזות פנימיים על ידי שבירה אינטנסיבית. מיפוי מפורט של השברים ותיאור המבנה נעשה על ידי ביליצקי (1988). מתחFIELD זר ניתן לראות בנוף את מיקומו של העתק אלמג'ור (שטוואר על ידי 1988 Harash and Bar, 1988) ואת הביטוי המורפולוגי שלו. באפון בלוק בורדיים נצפית מערכת שבירה שבירונה צפון-מערב המבטאת את המועות הפנימי של בלוק בורדיים (ziegler 5). שבירה זו עדויות גם מתחת לקרקע (chtein Rotstein and Bartov, *in press*). פגנווח קו הרפלקטיה (ziegler 4) מראה שורה של בלוקים ברוחב של כמה מאות מטרים במבנה flower המתפצלים בnderה מהעתק הראשי ויזרים מבנה של מערכת שבירה משנה בירונו NW עם רביב של חנווה הפוכה (Rotstein and Bartov, *in press*). על יד אפיק הירדן, באזורי בו מתפצל העתק אלמג'ור מהעתק הירדן, ניתן לראות "צלקות" האופייניות לאליות קרקע (ziegler 5). Harash and Bar (1988) מציעים שאליות אלו הן עדויות התומכות במיקום מוקד רעידת אדמה מתחת לאזורי זה.

3) מצפה גדור (ג.צ. 2101/2690)

המבנהים של עמק החולה, בלוק בורדיים והגליל המזרחי נצפים היבט מנוקודה זו. בלוק בורדיים הבנוי בזלות מגליים שונים (ziegler 6, 7) שבורד על ידי מערכות שברים שבירונות חלקן הדרומי למנרב-צפון-מערב ובחלק הצפוני לצפון-מערב. מתוך לימוד חתכים סייסמיים הוצע שהשברים בירונו צפון-מערב הם בעלי רביב של חנווה הפוכה (ziegler Rotstein and Bartov, *in prep.* (a) זה Heimann and Ron, *in prep.*) מצביות press). מדידות פלאומגנטיות ((a) בירונו °12.4±5.9. ניתוח קינטטי על רוטציה בשער של °12.4 בירונו העשון. ניתוח קינטטי המבוסס על הרוטציה מחייב חנווה ימנית בסדר גודל של מספר מאות מטרים לאורך כל אחד מהשברים. הרוטציה והשבירה הפוכה מעידים על התקاصرות בלוק בורדיים בירונו צפון-דרום (ziegler 8).



LEGEND

Soil	[AI]	Lava cane
Basalt	[β]	Road
Sedimentary rocks	[S]	Sampling site & its age

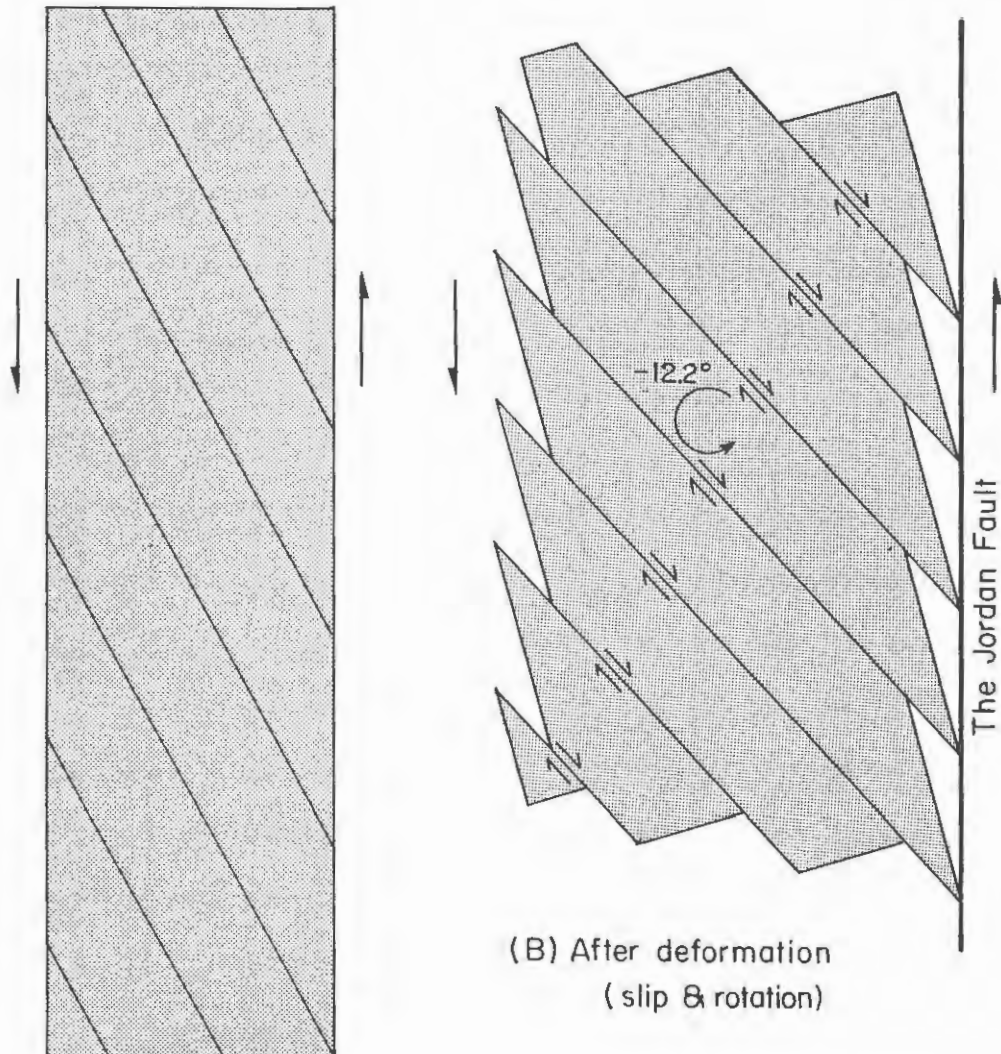
ציור 6. מפת אילוי הבזולות בבלוק כורדים ובסולי רמת יהודיה
. (updated and revised after Heimann et. al, 1987)

~ ~ Sediments

v v Volcanic Rocks

Conglomerate

7. חתך סטרטיגרפי מובליל של יחידות הслע החשופות בבלוק כורזים על פי נתוני איל (K-Ar) ופלואומגנטיزم ((b). Heimann and Ron, in prep.)



(A) Initial configuration

ציור 8. שחזור גיאומטרי של המעוות הפנימי בבלוק בודדים
. (Heimann and Ron, in prep. (a))

שעוזר הדוטציה נמדד בטלטים שטוחות אילם מ-9.3 מ.ש. ועד פחת מליון שנה, וב哐אן שהמעוזות צעריך מיליון שנה. מוצע שהගורם העיקרי למיעוזות הפנימי של בלוק כורדים הוא תנועה אופקית שמאלית לאורך העתק אלמגור בזווית לביוון תנועת הלוחות ולבן נוצר דביב של לחיצה בבלוק זה. לפיכך גיל העתק אלמגור צעריך אף הוא מיליון שנה בדומה לאייל המעוזות הפנימי (a) (Heimann and Ron, *in prep.*) .

עמק החוליה הינו דומם גרבן המוגבל בצדיו המזרחי בשברי השולטים של הגולן, ובצדיו המערבי בשבר קריית שמונה. לעומת דרום מעתנה אופקי של השבר המערבי מקו אחד לאזור שבירה (*fault zone*) הבנוי ממספר משבבות שבדים. אבולות השבירה המפרידים בין מבנה החליצה של בלוק כורדים ומבנה המתייחה של עמק החוליה אינם ברורים. בצדון עמק החוליה, באזורי מעיין ברוך, ישנן עדויות לשבירה נורמלית צערירה מיליון שנה בביוון מזרח מערב (היימן, 1985; 1987).

עמק החוליה החל להיווצר לפני ארבעה מיליון שנה ו直达 על סמך קביעת גילים דדיוגניים של בזלות (בשיטת $\text{Ar}^{39}/\text{Ar}^{40}$) מקידוח נורתה 3 (Heimann and Steinitz, *in press*) .

4) אילת השחר (ג.א. 2697/2049)

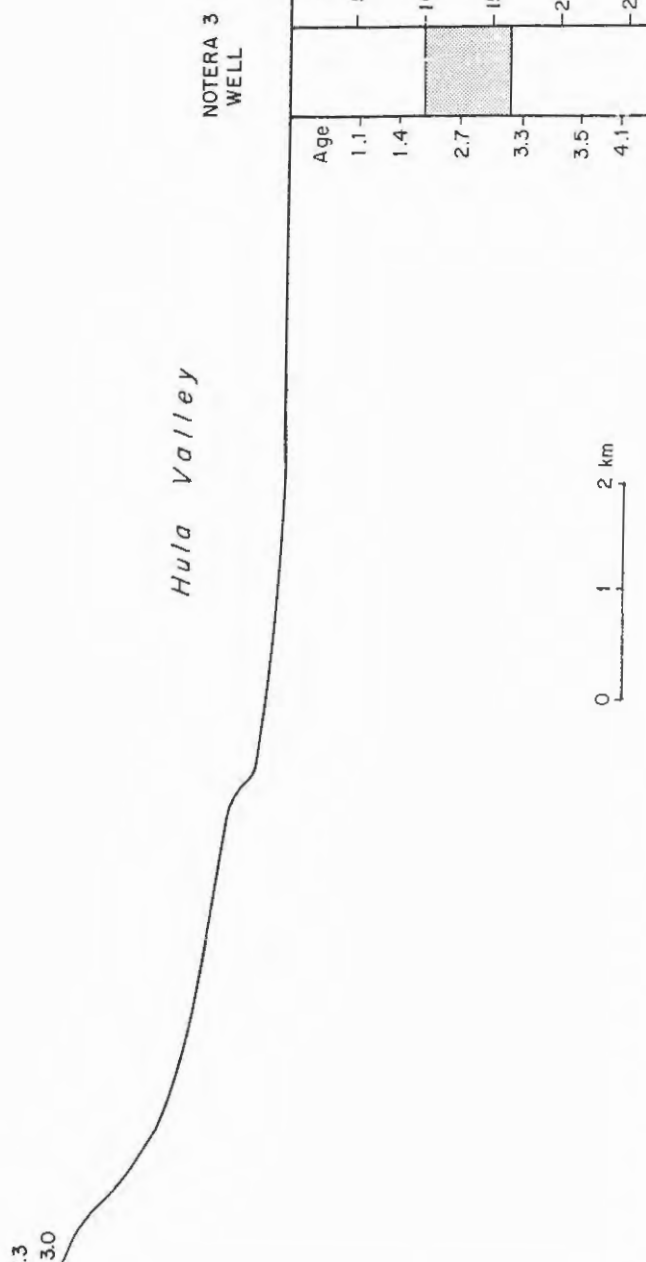
איילת השחר נמצאת בפינתו הצפון מערבית של בלוק כורדים וஸולי עמק החוליה. במחצית איילת השחר נחשף חתך הכלול סדימנטים ובזלות (צירודים 9, 10). בסיס החתך בניו מקידוחו, חרסיות וחווואר מכילו מלגופסיס. מעליו חתך עבה ורצוף של בזלות אותו מכסה אופק של שני מטראים של קוונגולומרט וחווואר מצורת חזורה.

חתך זה וארכעה נוספים בבלוק כורדים נבחנו תוך שימוש באיזוברונולוגיה ($\text{Ar}-\text{K}$) ופלואומגנטיות. תוצאות החתכים השוניים מוגאות בצדור 10 ומהם (בנוסף לנחוני שדה) נבנה החתך המובלל של בלוק כורדים (צדור 7). הסדימנטים הנחשפים בסיס מחצית איילת השחר הם מגיל של שלושה מיליון שנה ועד בה לא נמצא מחסוף של סדימנטים מגיל זה בעמק החוליה ובסביבותיו. סדימנטים בני איל דומה נמצאו בקדוח נורתה 3 בעומק של כ-1600 מ' (צדור 9) (צדור 9) (Heimann and Steinitz, *in press*).

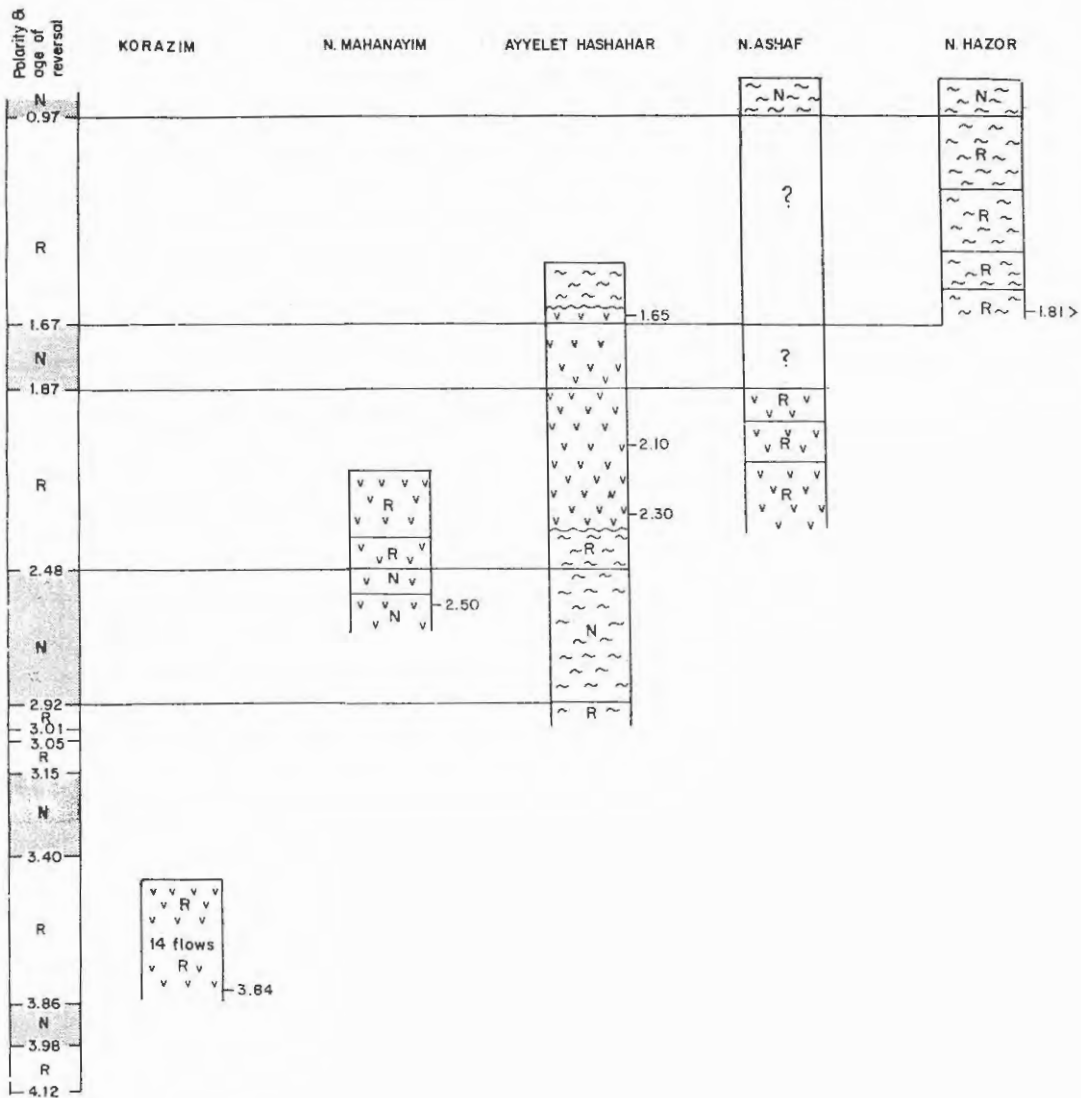
את אזור המחצית חוצה שבר המשמיד את תצורת חזור אל מול סדרת הבזלות מגיל 1.6-2.3 מיליון שנה. שבר זה הוא אחד מהשבדים בביוון צפון מערב החוצים את בלוק כורדים.

- NNE -
2075 / 2814

T HASHAHAR



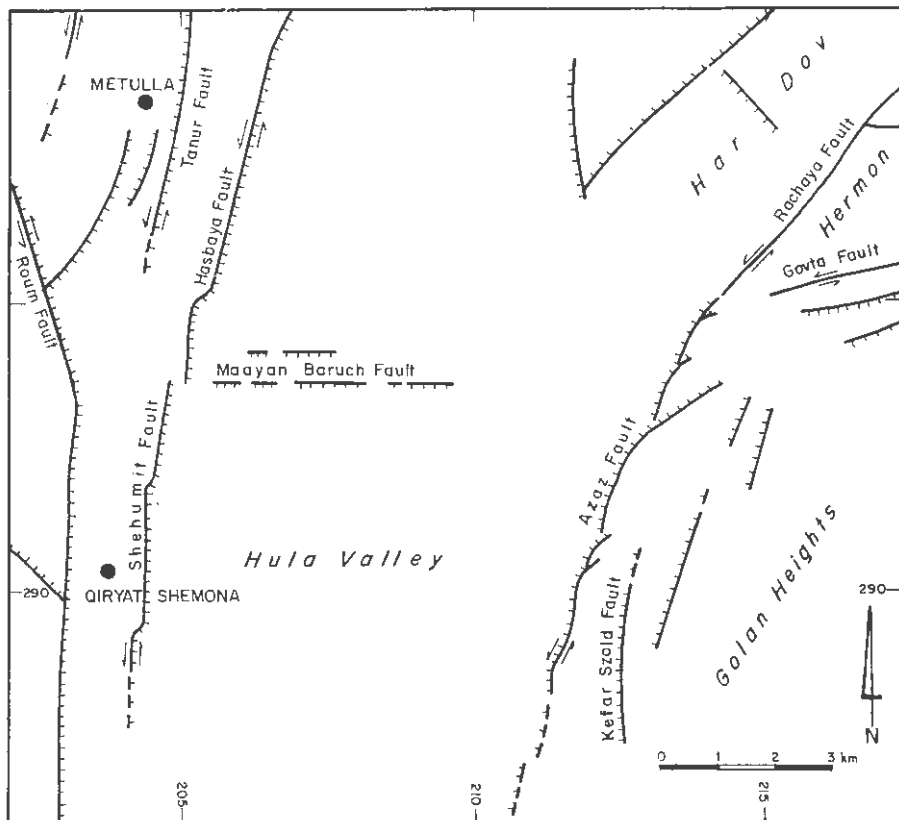
הוּא 3. רוחב מאיילת השוד קידוח גזורה . (prep.) (b) Heimann and Ron, in)



ציוויל 10. ברונוסטראטיאגרפיה ומאנטוסטראטיאגרפיה של חמישה חתכים בבלוק בודזים (Heimann and Ron, 1989).

5) אבעת אנפה (נ.א. 2102/2877)

מערכת שברים בכיוון צפון-דרום מהוות את האבול המערבי של הגולן. שבר שמיר, שביוונו לצפון-מזרח (ציר 2), מתפצל מהמערכת הראשית באזורי קיבוץ שמיר. לשבר זה זריקה מכסימאלית בקרבת עמק החולה, הוהלבת ומצטמצמת לצפון מזרח. הפעילות העיקרית של השבר קדומה לשני מיליון שנה וזו שום שבזלת מגיל זה מכסה את השבר. הופעה דומה של התפרצויות שבר לצפון-מזרח ניתן לשבר שיריח-עלי ובשבר שייאון (ציר 2). Heimann and Steinitz, 1988. האבעת אנפה בנוריה מבצתה צעריה שאילה 0.3 מ.ש. מחסوفي הבזלת באבעת מודכבים במספר זרים מסיביים עזובדה המבטלת את האפשרות שהזו תל מלactivo. הטופוגרפיה החיוובית חומרת לאפשרות שאגענת אנפה היא מבנה לחיצתי (push-up) בדומה לאבעות נוספות מצפון לה (ראה תחנת כפר סאלד).



. (Heimann and Ron, 1987) ציר 11. דגם השבירה בצפון עמק החולה

6) בפר סאלד (ג.צ. 2112/2893)

בקודזה זו נצפה בשבר בפר סאלד ובשבר עוז. שבר בפר סאלד (ציור 11) בא לידי ביטוי במצב היוצר הפרש גובה של 220 מ'. גיל הבזלוות משנה צידי השבר הוא 0.4 מ.ש. (M. Sh. Heimann and Steinitz, 1988) ולפיכך ברור שהשבר צער להן. קצב התנועה הוגדרו אקלים המינימלי (בהתבהה שהשבר פעיל מאז זרימת הבזלת ועד היום) הוא 0.55 מ"מ/ שנה, בדומה לנતוני השתפלות שנמדדו במרכז החוליה (Kafri et al., 1983; Heimann and Steinitz, in press).

שורת האבעות לאורך שבר עוז (ציור 12), שהדרומית שבהן היא תל אנפה, נאפית היבט מנוקדת התכפיות שליד קיובאך בפר סאלד. היוצרים האבעות נובעת משבירה אופקית שמאלית לאורך קטעי שברים המושטים בדרוג ימני. בתוצאה מכך נוצרו מבני לחיצה (up-push) (ציורים 12, 11). קיומם של שכעים בלתי מנוקזים וגיל הבזלוות הנחשפות באבעות (הצעיר ביותר - 0.3 מ.ש.) מעידים כי שבר זה צעיר ביותר.

קו שבירה נוסף בעל מבנים דומים, שבר שחומית, נצפה בגבול המערבי של עמק החוליה (ציורים, 11, 12). דיוון מסכם על שברים אלו במדח ובערך נמצא אצל Ron Heimann and (1987).

7) דו (ג.צ. 2118/2935)

שבר עוז (ציור 12), שחלתו בדרום באבעת אנפה, נמשך צפונה דרך אבעת האם, אבעת עוז, רמת הבניאס הבנויה טרוודרטין וגבעת חמרה העשויה קוונגולומרט. אבעת אלו נוצרו אם הן בתוצאה מלחיצה לאורך שבר עוז כפי שהוצע בחתנת בפר סאלד.

המשכו של שבר עוז לצפון הוא שבר דשיא החוצה את החדרמוון. שבר זה מורכב מסגמנט דרומי (שבר שיואן) וממצוגני (שבר שביע) הנמצאים בדרוג שמימי. פרוינגד (1980) הציע שבר זה הוא שבר תנועה אופקית שמאלית עם הסטה של כ-1000 מ'. נראת שבתוצאה מפעילות על שבר עוז שגרמה להרמת האזור הופסקה שקיעת הטרוודרטין באזורי זה (חו Heimann and Sass, 1988) (על ידי א. קאופמן, מכון וייצמן) ונמצא שאיל חלקו העליון כ-26,000 שנות. נראת לפיכך שפעילות טקטונית התדרשה לאורך שבר עוז גם מאוחר לאיל זה.

גבעת חמרה ניתן לציפות טרוודרטין מזנח על גבי הקא"ל הפליזיטוקני של נחל שיואן כאשר שניהם נטוויים יחדיו כ-25°. שובדה זו מעידה על המשמעות הצעיר שיצר אבעה זו.

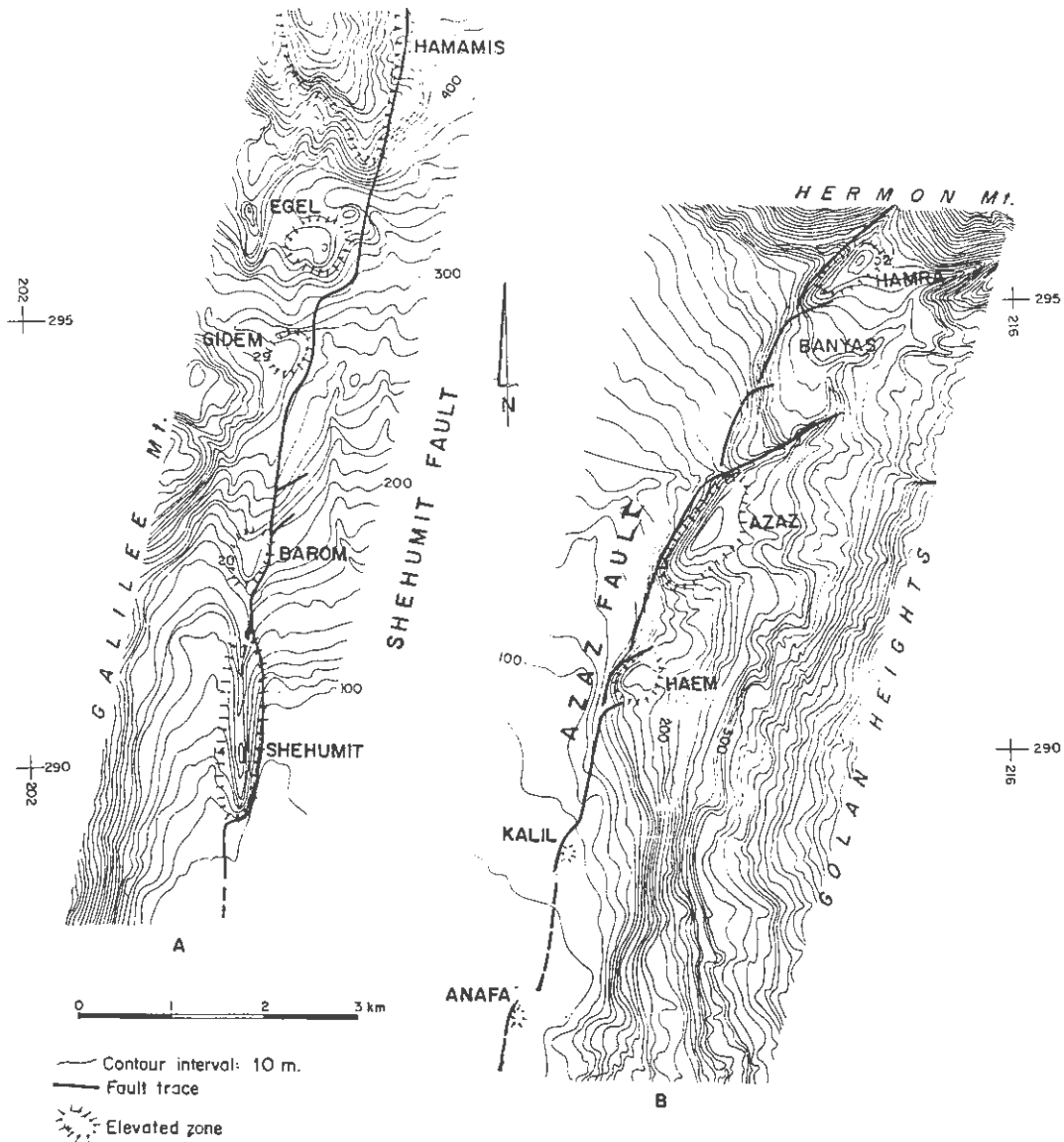


FIGURE 12. מבני כיפות לאורדר שברי עז ושהומית (Heimann and Ron, 1987)

(8) גבעת עג'ל (ג.צ. 2963/2056)

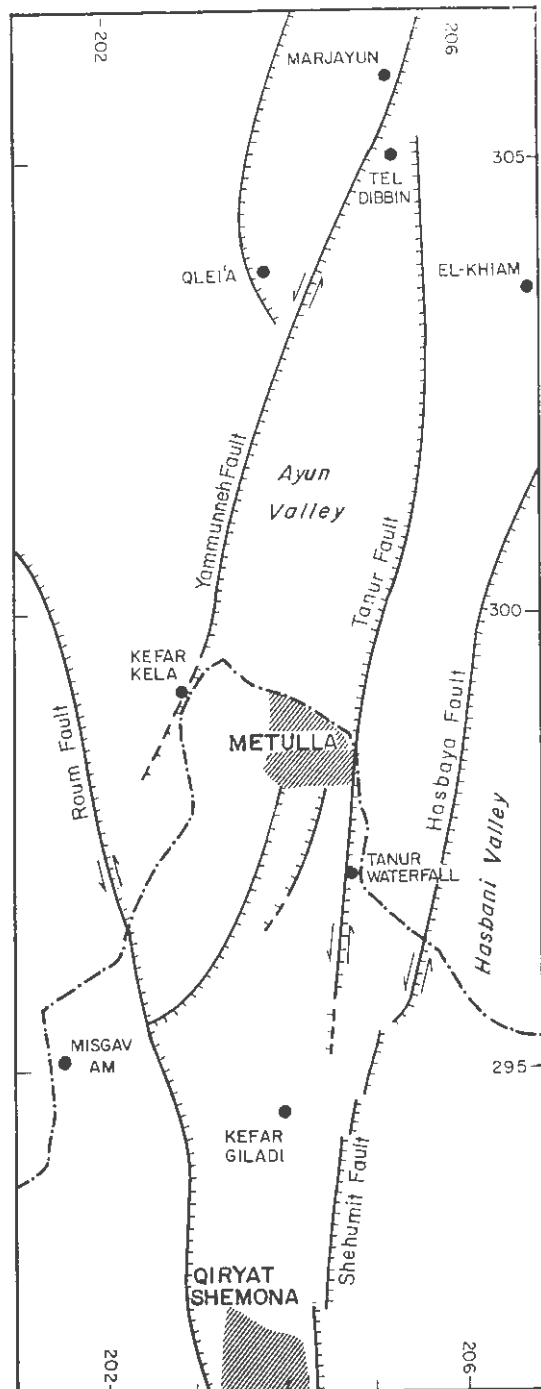
גבעת עג'ל היא אחת הגבעות הממוקמות לאורדר קו שבר שחומית במשמעות של עמק החולה (ציור 11) שנוצרו בתוצאה מדחיסה (cup-push) בדומה לגבעות של אורדר שבר עז (Heimann and Ron, 1987) (חנןות 5-7 וציורים 11, 12). שבר שחומית צעיר מגיל בזלת חצבי אותה הוא מסיט ומבחן שאילו צעיר מ-0.9 מ.ש... גבעת עג'ל בנוייה מקונגלומרט צעיר (קונגלומרט עג'ל, היימן, 1985) המכיל חלקיקים מהירודא, מהקרטיקון התחתון והשלישון, מהאוקון ומבצלות צעירות ועל כן הוא שונה מהותית מקונגלומרט התנור או בפר אלעדי, הבנויים מחלקים אאוקנים, עליהם הוציא בעדר לשירות אותו. מקור החלקיים לא ברור ויתכן שהוביל על ידי נהר הליטאני כאשר זה זרם דרומה אל עבר עמק החולה (היימן, 1985). לאורדרו של ביבש המערבית החוצה את נמצאו על גבי חלקיקים לבנים ובכיוון זהה ולפיכך ברור שהם נוצרו לאחר הייזצ'רות הקונגלומרט.

(9) מפל התנור (ג.צ. 2972/2047)

מפל התנור, מדרום למטרלה, ממוקם על גבי שבר התנור המהווה את חלקו הדרומי ביותר של שבר ימונה. שבר ימונה יוצר את עמק עיון, ומשר אל הבקעה לבנון ומגיע לדרום טורקיה. מספר שברים חוצים את האזור שבין מטולה לכפר אלעדי (ציור 13) שהוא אזור של דחיסה עם תופעות מעוזות רבות. בנקודת התצפית שמעל למפל התנור נבחין בكونגלומרט התנור (Glikson, 1966) הבונה את האזור והיווצר את קיר השבר. יחידות سنוגניות (חזרת תקיה)-הובאו אל מול קא"ל התנור הפיאוגני בשיקר בתוצאה מתנוועה אופקית ולא רק בתוצאה מתנוועה וורטיקאלית לאורדר השבר. לאורדר תזואי ההליבה מפל התנור למגרש החניתה נמצאה בתופעות מעוזות הנובעות בחלקן מדרוטציות של בלוקים קטנים.

(10) מטולה ועמק עיון - חיפוי מהר צפיה (ג.צ. 2978/2036)

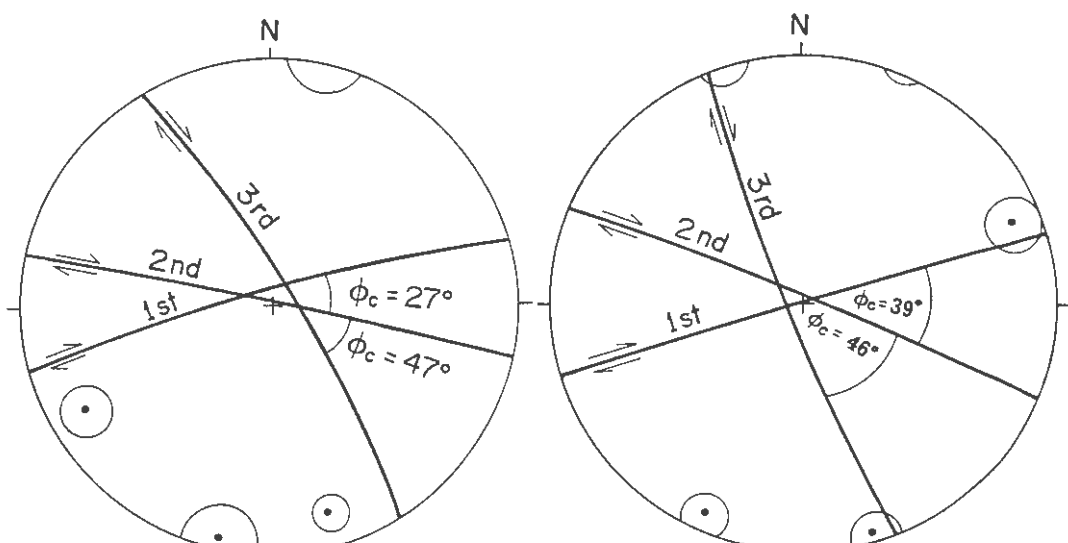
עמק עיון הממוקם מצפון למטולה נוצר כמבנה מתיחה בין שבר התנור לשבר ימונה המדורגים ביניהם בדרוג שמלי (ציור 13). לעמק עיון מבנה משולש הנושא מאיר-הקללה בין שני קטני השבר וזאת בכלל שיינוי בינו לבין שבר הטרנספורם לצפון-מזרח (ציורים 1, 2). שברי השולדים סביב הבקעה בדרורים פרט לאזור הדרום מערבי שם השבירה אינה מוגדרת על ידי שבר בודד. תופעה דומה זו נפתחה גם בדרום מערב עמק החולה.
מהר צפיה ניתן לצפות בחלקו הדרומי של שבר רום, באזורי בקעת החצבי נעה שעבור שבר חצביה ובמבנה האנטיקליינלי של החדרמוון אותו חוצים שברי דשיא וסדרה (ציור 2).



ציור 13. דגם השבירה באזורי קריית שמונה, מטולה ותמך ג'ין (נתוני
חלקיים על פי Dubertret, 1954; Glikson, 1966).

11) מחצבת מג'דל שמס (ג.א. 2206/2962)

באתר זה ניתן ללמוד על אופי המעוות הפנימי של שולי הלוחות הסמובים להעתק הימוניה. הביטויו לשימוש זה בחרמון הוא התקצרות בביוון צפוני - דרום במעטות של כ-50% (Ron, 1987). באתר זה ניתן לדרות מספר רב ביותר של מישורי שבירה בכיוונים שונים עם סימני חילקה אופקיים המאפיינים את המעוות הפנימי. תופעה זו אופיינית למושגים רבים בחרמון ובהר דב. מדידת ביוזנים של כ-300 העתקים הרachte שרווד העתקים הם ימניים (ציוויל המסודרים בשלוש מערכות שכיוונם המוצע הוא °254, °293, °339 (ציוויל 14). ביזון המערבת האחידונה תואם את שדה הממצאים בו התפתח בקע ים המלח (Eyal and Reches, 1983) ועל כן נראה כי זו המערבת הצפירה מבין שלוש המערבות. המנגנון המוצע לעוותות הוא גזירה פנימית על מערכות שבירה חזזה אופקית ימנית (ציוויל 16) ורוטציה של בלוקים בשלוש מערכות שבירה שהתרחשו זו לאחר זו (ציוויל 17). עדויות אלו יש להוסיף את התוצאות הפלואומגנטיות המדאות רוטציה של °61 נגד ביוזון השעון, והותמונות לבן ברוטציה של השברים ולא ברוטציה של שדה הממצאים. על מנת לבסס טענה זו יש לפתח את יחסיו השדה בין המערכות (ראה תחנת גובה אטיר"ב).



NA-J4
MEAN PLANES OF 1ST 2ND AND 3RD
POPULATION OF RIGHT LATERAL SSP

HERMON
MEAN PLANES OF 1ST 2ND AND 3RD
POPULATION OF RIGHT LATERAL SSP

ציוויל 15. הביזון המוצע של שלוש מערכות השבירה הימניות בנזונה אטיב (Ron et al., in prep.).

ציוויל 14. הביזון המוצע של שלוש מערכות השבירה הימניות בחרמון (Ron et al., in prep.).

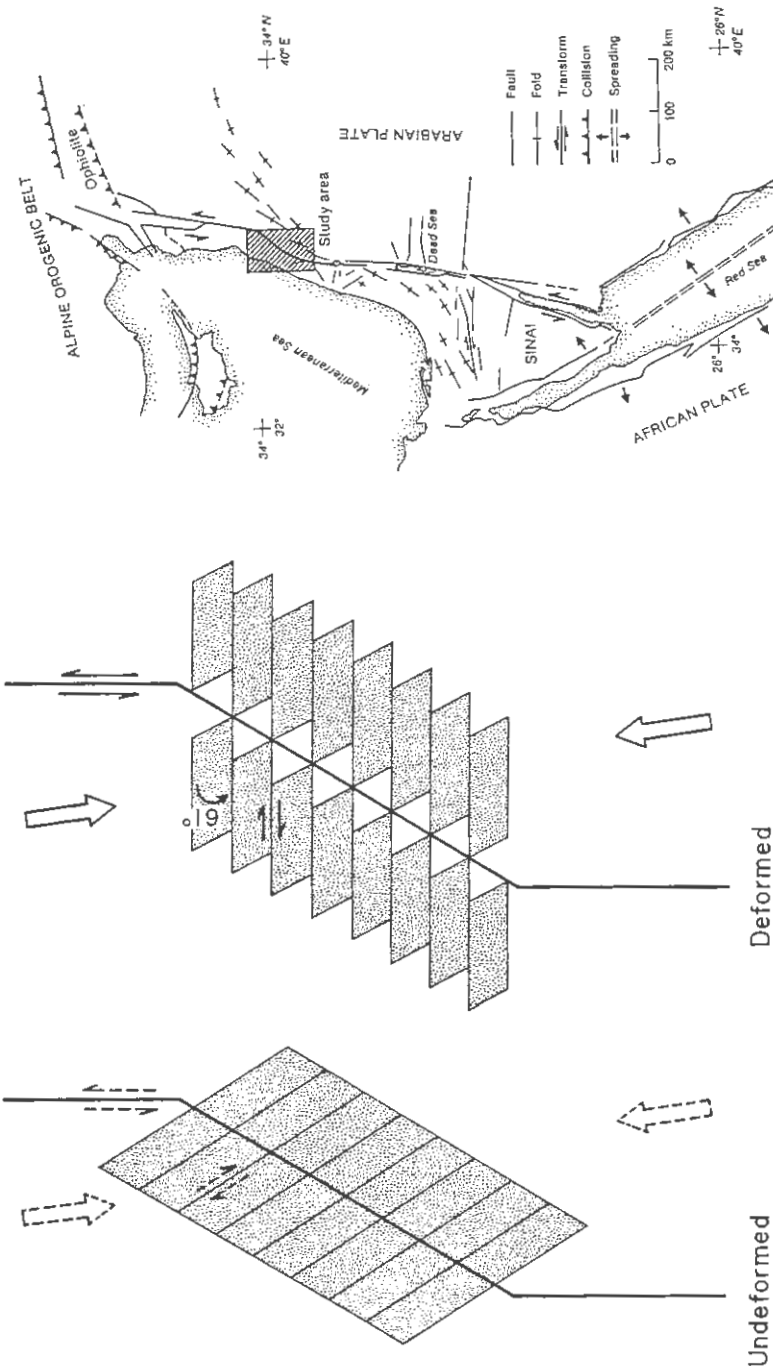
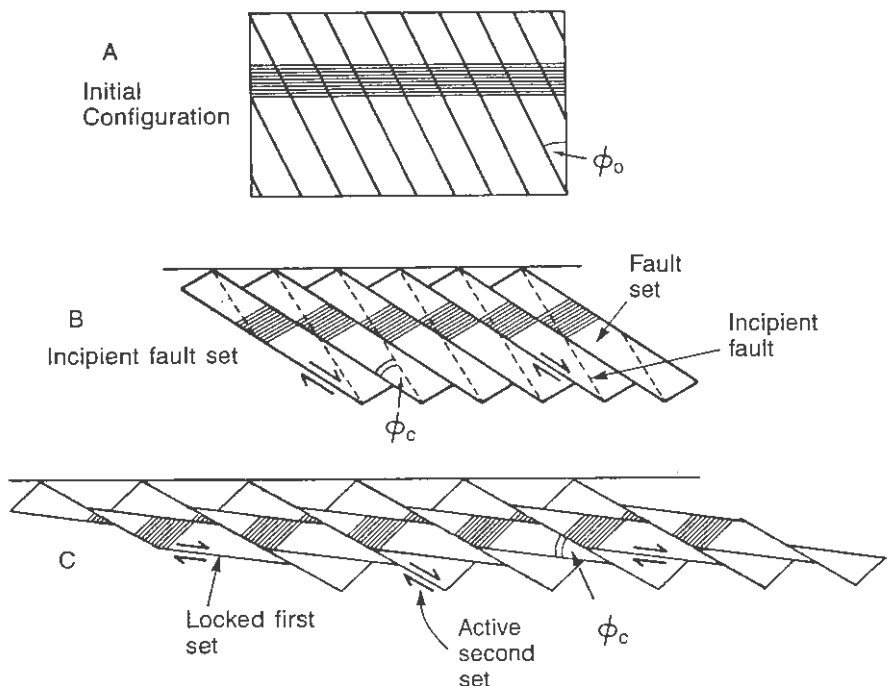


FIGURE 9. שיחזור גיאומטרי וקינטמי של מנות שולי הלווחה בסמוך לשבר מגנה על פי נתוני פלאומגנטיים (Ron, 1987).



ציור 17. מודל קינטמי ומברני של סיבוב בלוקים במערכות שבירה מורכבות (Nur et al., 1986).

12) נוה אטי"ב (ג.א. 2187/2959)

משמעות זה, בניו מסלעי גא ייחידת 4ל, ובו עדויות המבוססות את האיל היחסי של השברים המאפיינים את המעוות הפנימי בחדרמן (ציור 17). יחסיו החיתוך בין שלוש מערכות השבירה מראים שביוון המערבבת העתיקה הוא 255° , ביוון המערבבת השנייה – 282° וביוון המערבבת השלישית, המתארמה לשדה המאמצים של הבקע, הוא 329° . לפיכך האומטריה של המערכות, יחסיו האיל שביןיהן והנתוני הפלואומגנטיים תומכים בכך שהאזור עבר מעות פנימי על ידי מגנן שבירה אופקית ורוטציה של בלוקים על ידי מערכות פנימי מורכבות (Ron et al., in prep.).

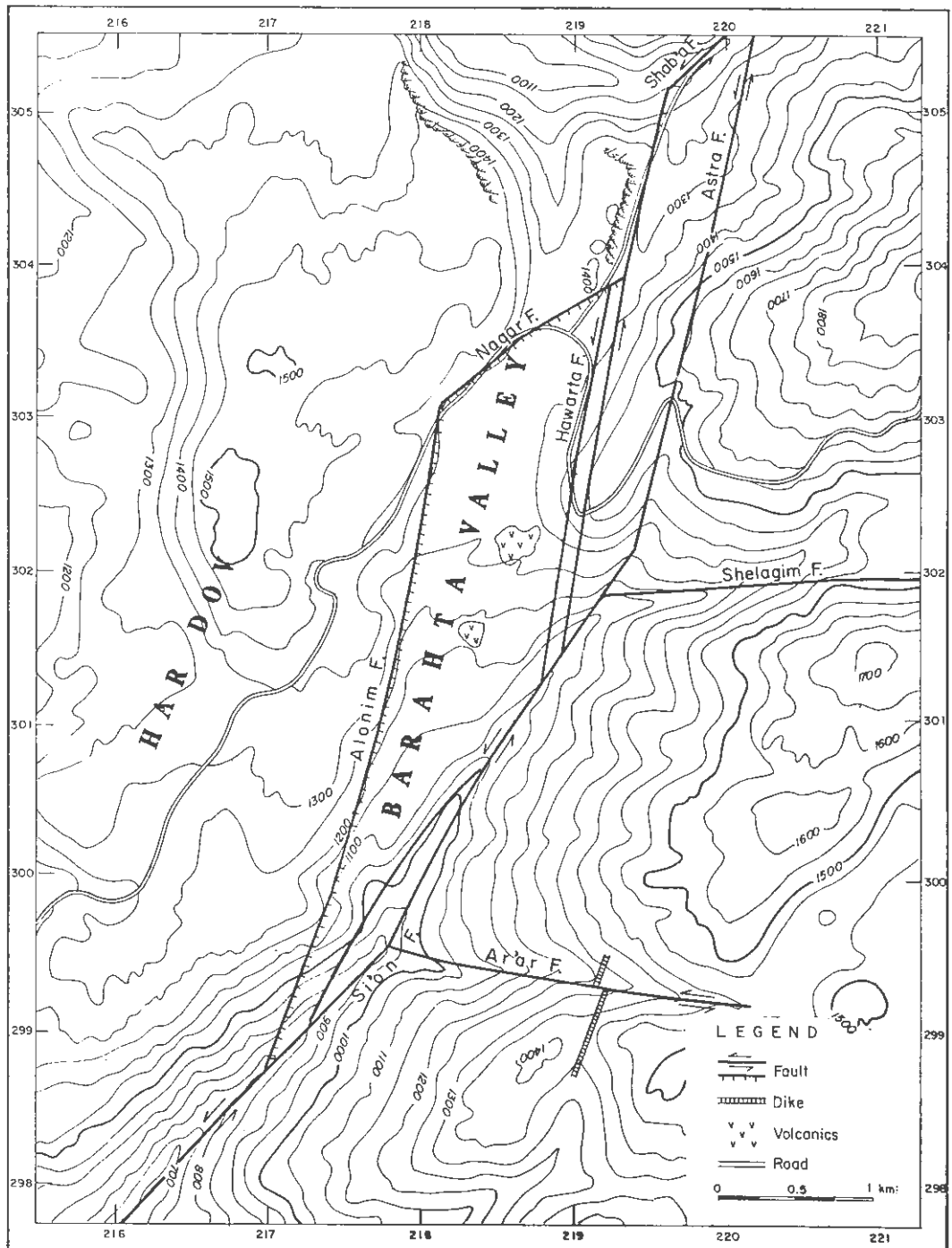
(13) מזרעת ברחתא (ג.צ. 2191/3023)

שבר רשייא מהויה את המשכו של שבר עזז ותואча את החרמון בביילון NNE (צ'יר 11). באזור החרמון שבר זה מודבק משני סייגנטים, הדרומי — שבר שייאון והצפוני — שבר שבעא, המסודרים בדרכו שמאלי ללא חיפוי (צ'ירדים 2,18). על פי שיקולים מודרפולוגיים ולפי הסטה קא"ל שייאון הפליויסטוקני הציעו פרויינד (1980) והיימן (1985) כי לאורך שבר שייאון הייתה הסטה שמאלית בשעור של כ-1000 מ'. עומק מזרעת ברחתא מהויה דוגמת גדרון הממוקם באזור הדרכו שבין שבר שייאון לשבר שבעא.

עומק זה מוקף מרבדעת עברי שבראים (צ'יר 18): מדרום-מזרח שבר שייאון שהוא שבר אופקי עם מרכיב אנכית של כ-300 מ' (באזור ברחתא). שבר אלוניים ממערב ושביר נקי מצפון הם שברים נורמלים בעיקדם. מזרחה מופיעים מספר שברים מקבילים, כאשר הראשונים שבהם — שברי אסטרה וחווורתא, הינם שברים אלבסוניים עם מרכיב משמנותרי של תנועה אופקית. חישובים קינמטיים שלם ביד זידר (Eyal et al., 1986, 1989) מראים על דמיון אנטי בין השניהם.

(14) תאפיית מאזור מפגש אבולות ישראל-לבנון - סוריה

מצפיה זו מערבה ניתן לדאות את שבר שבעא שהוא החלק הצפוני של שבר רשייא וכן את מיקומו העתק ימונה באזור אגם קרעון ואת מבנה רכסי הרי הלבנון.



ציור 18. מערבות השבירה העיקריות באזוז ברכבתה, היוצרות מבנה מתיחה
מגווין (Heimann et al., 1989).

References

- Belitzky, S., 1988. Tectonics of the Korazim Saddle. M.Sc. Thesis, The Hebrew Univ. Jerusalem (in Hebrew), 94p.
- Dubertret, L., 1954. Carte géologique du Liban, 1:200000, Travaux Publics.
- Eyal, Y., Reches, Z., 1983. Tectonic analysis of the Dead Sea Rift region since the Late-Cretaceous based on mesostructures. *Tectonics*, Vol. 2, pp. 167-185.
- Eyal, Y., Eyal, M., Bartov, Y., Steinitz, G., Folkman, Y., 1986. The origin of the Bir Zreir Rhomb-Shaped Graben, eastern Sinai. *Tectonics*, Vol. 5, pp. 267-277.
- Freund, R., 1978. Judean Hills and Galilee, regional synthesis of sedimentary basins. Guidebook to the 10th international congress on sedimentology, Jerusalem, pp. 1-31.
- Freund, R., 1980. Creation processes of Hermon and Lebanon mountains. In: Mt. Hermon: Nature and Landscape. Shmida, A., Livne, M. (eds.), pp. 28-32.
- Freund, R., Garfunkel, Z., Zak, I., Goldberg, M., Weissbrod, T., Derin, B., 1970. The shear along the Dead Sea Rift. Phil. Trans. R. Soc. London, Ser., Vol. A267, pp. 107-130.
- Freund, R., Garfunkel, Z., 1976. Guidebook to the Dead Sea Rift. Dept. of Geol., Hebrew Univ., Jerusalem, 27 p.
- Garfunkel, Z., 1981. Internal structure of the Dead Sea leaky transform (rift) in relation to plate kinematics. *Tectonophysics*, Vol. 80, pp. 81-108.
- Glikson, Y.A., 1966. The lacustrine Neogene in the Kefar Gil'adi area, northern Jordan Valley. *Isr. Jour. of Earth Sci.*, Vol. 15, pp. 85-100.

Harash, A., Bar, Y., 1988. Faults, Landslides and seismic hazards along the Jordan River gorge northern Israel. Engineering Geology, Vol. 25, pp. 1-15.

Heimann, A., 1985. The geology of the Banyas Plateau and the northern Hula Valley. M.Sc. Thesis, Hebrew Univ. (in Hebrew), 154 p.

Heimann, A., Mor, D., Steinitz, G., 1987. K-Ar dating of the Ramat Korazim basalts, Dead Sea Rift. Geol. Soc., of Israel Annu., Meet. pp. 54-56.

Heimann, A., Ron, H., 1987. Young faults in the Hula Pull-Apart Basin, central Dead Sea Transform. Tectonophysics, Vol. 141, pp. 117-124.

Heimann, A., Steinitz, G., 1988. K-Ar ages of basalts from the western slopes of the Golan Heights. Geol. Surv. of Isr. Curr. Res., Vol. 6, pp. 29-32.

Heimann, A., Eyal, Y., Eyal, M., 1989. Barahta rhomb graben, Mt._ Hermon - an example of extension in a compressional region. Geol. Soc. of Israel Annu. Meet.

Heimann, A., Ron, A., 1989. The stratigraphy and deformation of Korazim block: geochronologic and paleomagnetic evidence. Geol. Soc. of Israel Annu. Meet.

Heimann, A., Sass, E., in press. Travertines in the northern Hula Valley, Israel. Sedimentology.

Heimann, A., Steinitz, G., in press. $^{40}\text{Ar}/^{39}\text{Ar}$ total gas ages of basalts from Notera #3 well, Hula Valley, Dead Sea Rift: stratigraphic and tectonic implications. Isr. Jour. of Earth Sci.

Heimann, A., Ron, H., in prep.(a). The deformation of Korazim block, Dead Sea Rift: geochronologic and paleomagnetic evidence. Tectonics.

Heimann, A., Ron, H., in prep.(b). The stratigraphy of Korazim block, Dead Sea Rift: geochronologic and paleomagnetic evidence. *Earth and Planet. Sci. Lett.*

Horowitz, A., 1973. Development of the Hula Basin, Israel. *Isr. Jour. of Earth Sci.*, Vol. 22; pp. 107-139.

Joffe, S., Garfunkel, Z., 1987. Plate kinematic of the circum Red Sea - a re-evaluation. *Tectonophysics*, Vol. 141, pp. 5-22.

Kafri, U., Kaufman, A., Magaritz, M., 1983. The rate of Pleistocene subsidence and sedimentation in the Hula Basin as compared with those of other time spans in other Israeli tectonic regions. *Earth Planet. Sci. Lett.*, Vol. 65, pp. 126-132.

Nur, A., Ron, H., Scotti, O., 1986. Fault mechanics and the kinematics of block rotation. *Geology*, Vol. 14, pp. 746-749.

Picard, L., 1965. The Quaternary in the Northern Jordan Valley. *Proc. of the Isr. Acad. of Sci. and Human.*, Vol. 1, pp. 1-34.

Ron, H., 1987. Deformation along the Yammunneh: the restraining bend of the Dead Sea Transform: paleomagnetic data and kinematic implications. *Tectonics*, Vol. 6, pp. 653-666.

Ron, H., Eyal, Y., Nur, A., in prep. Multiple strike slip fault sets: a case study from the Dead Sea Transform. *Tectonics*.

Rotstein, R., Bartov, Y., in press. Seismic reflection across a convergent continental transform: an example from the Dead Sea Rift in northern Israel. *Jour. of Geophy. Res.*

Schulman, N., Bartov, Y., 1978. Tectonics and sedimentation along the Dead Sea Rift. Guidebook to the 10th international congress on sedimentology, Jerusalem, pp. 37-94.

נויטור תנוועות קром כאזור הרויפט
(רשות אודטית כפר הנשייה)

יעקב קראץ, המכון האולוגי

מבוא

הערכות קצב התנוועה לאורך הביקע, המובאות בספרות, נבדלות בצורה שטחונית וקיימים פער בין השיעורים המבוססים על עדויות אולוגיות (הסתה מדודה/ גיל האלמנט המושט הצעיר ביותר), לבין תוצאות נתוח תכניות סיסומולוגיות. רצואה איפוא קביעת שיינור וקצב התזוזות במידידה ושירה. התפתחות טכנולוגיות שדה וחיל ב廣告זיה אפשרה ביום להגיע לדיקוק וטוווח גבויים במידודות חזרות של הפרשי גבה, מרחק וכוכוון בין נקודות קבוע. ההבדלים בין הערכיהם המדודים, מיוחסים לתזוזות קром שהלו בתקופה שבין מחזוריו מדידה עוקבים. הנחה זו נcona בתנאי שסולקו כל שגיאות מדידה ואוטרו האפקטים האוטוכנויים והגאופיזיים המשניים.

מערכת קינמטית באזור גבול בין כוחות טקטוניים מוכתבת בכל נקודה על ידי מרכיב גיאונטרי המבשא את שדה התנוועה היחסית, הקצווה פחות או יותר, של כוחות, ועל ידי מרכיב מקומי, המבשא את שדה המעוות המשנה למרחב וזמן, תוך הוצרות אלמנטים סטרוקטורליים, רוצחיה והתאמה לתקנים אומתריים וסטויכיומטריים. מוקובל להניח שעוצמת המרכיב המקומי גדולה במיוחד בשולי מעסיף. מערך המדודה באזור הביקע חיוב איפוא לככל רשות צפופה ויחסית באזור השבירה הראשית ומהלכי קשירה לאזוריים מרוחקים יותר, חפשיים עד כמה שאפשר מהפרעות מקומיות ונשלשים על ידי מרכיב גיאונטרי של התנוועה.

מיוקם הרשת באזורי כפר הנשייא-חוות מרים גולן, (شرطוט 1), רחוק מלהיות אידאלי למטרה זו, אך אזור זה מאפשר את אפשרות הטובה ביותר בין האילוצים השונים, היכולים לבנה אגלוואי; תנאי גישה; ראות ישירה בין שני עברי השבר המשוער; מרחק בין נקודות משנה עברי השבר; וחסיפה, יציבותו ותנאי בסוס. הרשת בנוייה 12 תחנות, המסודרות ב 4 שורות בנויות 3 תחנות, שתי שורות בכל גדה. בדרך זו נוצרים שלשה פוליגונים מאורכים בכיוון צפון-דרום, ומאפשרת השוואת שינועים אפשריים בכל גדה, וביניהן. הרשת מאפשרת גם התווית קווים פנימיים להערכת תזוזה אפשרית על לינאמנטים החשודים כשבירים משניים. לינאמנטים אלה, (شرطוט 2), עוברים בצלות מונוטוניות ומגמות ושיעורי הסטה עליהם אינם ברורים. מיפורים בידי חוקרים שונים נעשו על יסוד תרשומות מורפולוגית בלבד, וגיל פעלותם האפשרית האחורה נתון בויכוח.

כל תחנת מדידה בנוייה מכלונס בקוטר 0.3 מ המוחדר לעומק 12 מ לפחות. ראש הכלונס, בגבה פני השטח, נושא את סימני המדידה ופתח צינור הטילטמטר, ומוגן על ידי פלטה עגולה בקוטר 2 מ המשמש בסיס להעמדת מכשור (شرطוט 3).

סיכום מדידות

עד כה נערכו המדידות הבאות: 1. מדידות כווניים בין כל תחנות הרשת, 2. מדידות מרוחקים בין כל תחנות הרשת תוך שימוש בטילטורומטר ובഗואדיםטר, 3. מדידות איזון מדויק לאורך הפוליגון המערבי והפוליגון המזרחי, וכאורך קו מפותל המחבר ביניהם, 4. מדידות חוזרות עם טילטמטר על מנת לגלוות אם הכלונס הושט בשל אפקט אוטכני מקומי. כמו כן נערכו ניסויים ראשוניים בהפעלת מקלטי GPS.

הדיווקים שהושגו מבטיחים אפשרות גילוי תזוזות אופקיות ואנכויות בסדר גודל של מספר מילימטרים. עם כתיבת דברים אלה מתחילה יכול מרחק חדש המבטיח דיווקים טובים יותר וטוחה גבה יותר, ומתחילה יכול מערכת GPS.

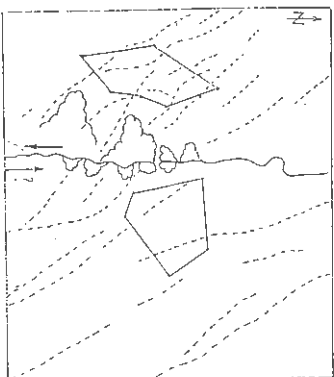
פיתוח

עם כניסה מיישור חדש לפעולה توרחב הרשת מזרחית ומערבה לעבר אזוריים בכתם מופרעים יחסית. כפוף לתנאי ראות וביסוס, יכולת הרשת יהי באזור הר כנען -עכברה ובאזור נטור-בזק (טור חיצית שבר שייר עלי). המרחקים בין נקודות אלו וקצת רשת כפר הנשיא ימדדו דרך נקודות מעבר טור שימושי מידי מרחק ובס. בנוסף לכך תוקמנה נקודות מדידת GPS במרחקים גדולים יותר, באזורי מנרה, רמתא, גבעת יוֹאָב ופוריה. קונפיגורציה זו אמורה לאפשר איתור של מרכיבי תזוזות הקروم באזור.

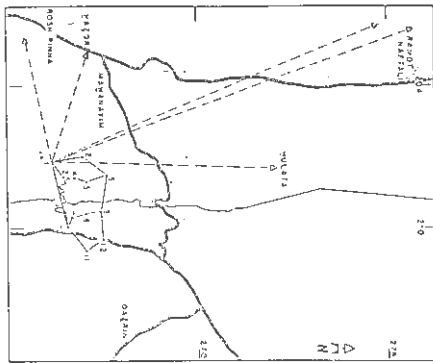
LINEMENTS IN KFAR HANASSI AREA

Suspected fracture

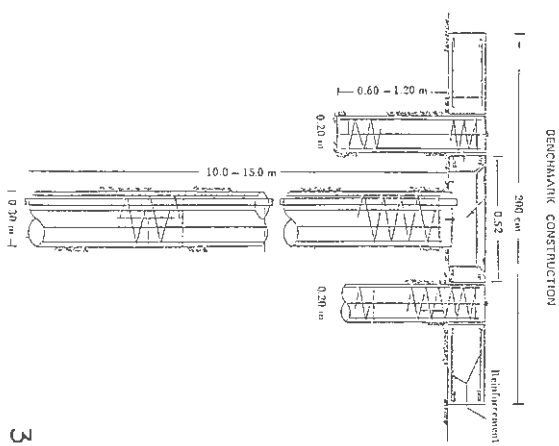
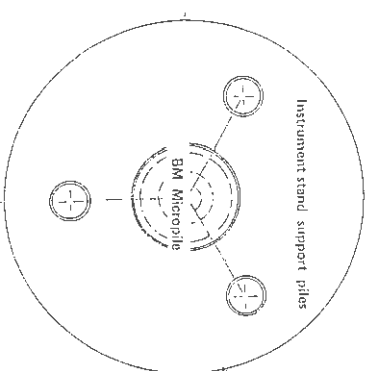
Landslide scars



2.



1.



3.

משה גולדברג ומנתם ראב, המכון הגיאולוגי

מבוא

הטוח המומפה שבתחום ישראל בינוי מן היחידות הליטוסטרטיגרפיות 4 ג, 5 ג, 6 ג, 7 ג שהוגדרו ע"י DUBERTREY (1963) ב-1960. ראה ציור מס' 2. היחידה אלו משתרעות על טווח גילאי של מילניון אחד אוקספורדי אין העליון. קימת קורלציה בין טיפוסי הסלע בתפקיד העליון של החתק בחרמון, ובינו החלק העליון של חבורת ערד ברגוב ובצפונו סיני, וכןתו להזות את היחידה הטלו שמיישו למיפוי שם, עם אלו של חרמון כשללו (ראה ציור 2): החלק העליון של תצורת זוהר קורלטיבי עם החלק העליון של היחידה 4 ג תצורת כידוד קורלטיבית עם היחידה 5 ג תצורת חלוצה קורלטיבית עם היחידה 6 ג ניתן להזות באופנו כללי - אף כי לא בודאות - את המשכה של היחידה 4 ג, את 3 ג ואת 2 ג עם תצורת חיפה חמוכרת מהת הרכע בגליל ובצפונו ישראל.

1. תצורת חיפה

התצורה בינוי רומה כולה - לחוץ אסף אופק חרסיות ופצלים גיריים בחציה העליון - מקרבו נתנים מרביתם גיריים, הרבה ביוםיקרייטים, ומיעוטם דולומיטים לרבות שניים. מספר שכבות קלקלרניטיות ולעתים אוליטיות פזורות בחתק. חלקה של תצורת חיפה שהינו קורלטיבי עם 4 ג של דוברטרא מגע לכ-625 מ' בעובי. חלק זה, הבונה את רובם של מחשופי הירוחה בחרמון שבתחום ישראל חלק - בעיקר על בסיס מורפולוגי - לשישה פרטם בני מיופיו: התיכון פרט מיופה שלגים שעוביו מגע לכ-170 מ'. התיכון פרט בולען שעוביו מגע לכ-95 מ'. העליון פרט מעלה גולני שעוביו מגע לכ-358 מ'.

1.1. פרט מיופה שלגים

הפרט בינוי מגיררים, בעיקר מיקריטיים עד ביוםיקרייטים, במקומות הם ספיקוליטיים או נקוליטיים ופלואידליים. במרכז החתק מספר שכבות דולומיט וכן צור בתרכיזים, עדשות ו שכבות דקotas. בחתק נצפו גם מספר אופקים של "מרבדי-אצות". מרביתם של סלעי הפרט מרובדים בשכבות מסיביות ויוצרים נור מצוקי.

1.2. פרט בולען

בינוי מגיררים, בעיקר מיקריטיים עד ביוםיקרייטים, במקומות הם ספיקוליטיים או נקוליטיים ופלואידליים. בחלק העליון של הפרט הופעה של נבירות. מרביתם של סלעי הפרט מרובדים בשכבות דקotas - עד בינווניות - ריבוד.

1.3. פרט מעלה גולני

הפרט בינוי בעלי מגיררים, מיקריטיים עד ביוםיקרייטים, במקומות הגיררים הם קלקלרניטיים, ספיקוליטיים ו/או סקלטליים, בחלק פלאידליים או נקוליטיים בחלקם איטרקלסטיים. שליש החתקו נפוצות מאד תופעות נבירה. בשליש העליון מספר שכבות ודולומיט וכן של צור בתרכיזים ובעדשות. בשליש התיכון מעט פצלים וגיררים. מרבית סלעי הפרט מרובדים בשכבות בינווניות - עד עבותה - ריבוד. סידוך ושבירות קטנות נפוצאים מאד סלעי הפרט. בחלקו העליון של הפרט תופעות קרסטיות עמווקות רבות, חלקו מפותחות לדוליניות שבמקומות לבולענים רחבי ידיים. בליהקה קרסטית נפוצה על פני מרביתו של השטח. אינטראזיות בזלתיות חמתייחסות לפזה הולקנית של הקרטיקון התיכון המוקדם חזורות לסלעי הפרט ונפוצות מאד, לרבות בולוויות מאד ומופיעות על פני השטח כחרסיות. הגיררים המרטיטיים שבഗאג הפרט עוביים בהדרגה לחרסיות הגיררים של עזרה כידוד. החלק העליון בוורח של הפרט עשיר ביותר באמוניטים גדולים, בלמניטים נפוצים כאן או שם.

2. תצורת בידוד

התצורה המגיעה לכ-155 מ' בעובייה, בנויה בעיקרה פצלים חרסיתיים ומכילה אופקים דקים של גיר.

בשליש התהנתנו פצלים אפוריים כהים ובהירים, במרקומות חומיים (לעתים עם כתמי לימוןיטיים), רובם גיריים, מיועטם סילטיים בכתמיות משתנות. כמו כן מצויים מעט דרגשי גיר ודולומיט. במרקמות, עלשות לימוןיטיות המכילות לעיתים אמונייטים במרקזן. הפלטים, וקצתם ליגניטיים, בקשטים קטנים עד צעירים וקצתם פיריטיים. חלק התהנתן עשיר באמונייטים קטנים עד צעירים וגם פיריטיים.

לרב. כמו כן יש כאן שכבת רוגענים, שבולולים, מעט צדפים וקיופדיים. נפוצים גם שרידי צומח, עצמות בעלי חוליות – כנראה זוחלים, וסדקן בוץ.

בשליש תחביבו אופיניים חילופים סדריים בין דרגשי גיר אפוריים צהובים בעובי 20-10 ס"מ לביאו שכבות פצלים אפוריים חומיים שעוביים 30-60 ס"מ. נפוצים כאן אמונייטים גדולים עד ביגוניניים, רוגענים, קיפודיים וצדפים. רב הגיריים הם אי-נטרביוספריטיים והם עשויים גם במתהטי ספוגים. החלש העליון בנווי פצלים אפוריים כהים הטלאים בכתמי צהובים-חומיים. דרגשים אדומים קשים פזורים לאורכו. בחלק העליון מופיעים רוגענים חומיים ושכיחים בו אמונייטים גדולים וביגוניניים, צדפים ושבולולים גנסטים וכן שריד צומח.

אי-נטרוביוספריטיות בזלתיות המתאפיינת לפחות הולוקנית של הקרטיקון התהנתן המוקדם הדורות לסלעי החצורה במספר מקומות ליד מג'דל שמס ומצודת נمزוד. כפי שכבר צוין לעיל המעבר מצורת חיפה (פרט מעלה גולני) לצורת בידוד הינו הדרגתי. באשר להלך העליון של תצורת בידוד, הרי זה ידוע בנגב ובצפון סיני כעובר לטראלית ומתחבב עם שם החלק התהנתן של תצורת באר שבע ובנראתה אף עם תצורת חלוצה (GOLDBERG AND FRIEDMAN, 1974).

3. תצורת באר שבע

התצורה שעובייה כ-100 מ', בנויה בעיקרה גירים אפוריים, בהירים לבנבנים, מהם ביום-קריטיים – קצטם שעירים במתחי ספוגים עד שנייתן לכנותם ספיקוליטיט – ומהם אי-נטרביוספריטיים. הסלעים משוכבים היטב, בחלק העליון הגיר מסיבי וובלט בנווי ובחלק התהנתן מתחלפים רבדי גיר שעוביים 30-10 ס"מ עם רבדים דקים יותר של פצלים אפוריים כהים.

בחלק התהנתן של התצורה מובהנים הרבה מבני גליות וחתימות. אמונייטים ו"מאובני עקבות" כגון צואופיקוס נפוצים בחלק זה.

בחלק העליון של התצורה נפוצים מאד סטרומטופורואידים ובמרקמות גם אלמוגים, רוגענים, אצות גיריים במספר רב וב嗣יך או נקליטים המגיעים לכ-15 מ' בקטרם. בולטים בנווחותם הם שבר קיפודי חיים, בעיקר דרבנות, של בלנווצידריידים דמיי האגס שכינויים היה "בן היהודים" ושהיו ידועים כבר מתקופת הצלבנים בכותם המagi ובסגולות המרפא שלהם... .

בנוספי כמה שנאמר כבר לעיל על המעברים הלטראליים שהחלקה התהנתן של התצורה הרי שתכונה זו הובנה גם בגבולות העליון עם תצורת חלוצה.

4. תצורת חלוצה

התצורה המגיעה כ-120 מ' בעובייה, בנויה גירים צהובים חומיים ולבנבנים, רובם אוואוליטיים ופסו-ידואוואוליטיים, בחילופין עם גירים ביום-קריטיים ובמרקמות אי-נטרביוספריטיים. במחצית העליונה בעיקר, שכיחותם גם חסימות חומיות גיריות נוספות ביחס, לרבות חילופין עם דרגשים דקים של גיריים אוואוליטיים. בගיריים האוואוליטיים נפוצות תופעות של ריבוד צולב ולעתים מצויים גלוונים.

שרידי קיפודיים, אצות (בעיקר אונקליטים) ומתחי ספוגים נפוצים לרבות. אמונייטים הובחנו בעיקר בחלק העליון.

סימני מטמורפוזה של מגע שנגירה כנראה ע"י קלוחוי הבזלת של הקרטיקון התהנתן מובהנים במרקמות. את התבליט המכוורם שנוצר ע"י בלית וסחיפה חלקיה העליונית של התצורה מלאים קילוחוי בזלתות וטופים משוכבים המתאפיינים לפחות הולוקנית של הקרטיקון התהנתן המוקדם.

ההיסטוריה גיאולוגית

במשך היורא התיכון היה שטח החרמוו חלק מאגן השקעה מריני גדול מימדים שהשתרע כנראה על פני כל הלבנט. אגן השקעה זה היה רדוד למדוי וכל תנוצת הרמה מוקומית קטנה גרמה בו מיידית לשינויים בסביבת השקעה ולשינויים פציאליים שנעו ממשטר מריני שקט, נמוך - אנרגיה מקומות עם עשור רב של תופעות נבירה, ועד משטר מריני גבוה - אנרגיה שהניב ושבץ של שרוטונות של אואלייטים, ריבוד צולב, סדימנטים אינטראקלאסטיים שונים ואלמוגים מושבתיים ובודדים. מצב זה של אגן השקעה, שערר (עם הפרעות קוצרות מועך כמו אלו שגרמו ליצירת מרדי האצotta) במשך מרביתן של מקופות התבוניאו והקלובייאו התהתו (מצורות חיפה וזוהר), השתנה לקראת הקלובייאו העליון – אוקטפורדייאו (מצורתםCID) וכן צרו תנאי אגן סגור שבו היתה צירקולציה קתנה מאד ונרבדו הפליטים של תצורתCID, שרציפותם מופרעת לפרקם ע"י הרבדת דרגשי הבניינים הגיריים. לקראת האוקטפורדייאו התיכון והעליון (מצורת באר שבע וחלוצה), מתפתחים תנאיים פטוח, במקומות רבים גבוה – אנרגיה, ומורבדים הגיריים הקלקלרניטיים והאיינטראקלאסטיים.

הרמה כללית של אゾרנו בתקופת הקרטיקון התהתו המוקדם, גרמה לחותפות נור ארוזיבי שאט התבלייט שלו, החתוור בסלעי תצורות חלווצה ואך באר-שבע, מלאים קילוחי הבזלתות והטופים מן התהפרצויות הווולקניות השונות.

ספרות

- גולדברג מ. 1969: הערות לליטוסטרטיגרפיה של היורא בחרמוו. החברה הגיאולוגית הישראלית, כנס רמת הגולן.
- גולדברג מ. 1970: הליטוסטרטיגרפיה של חבורת ערד (יורא) בנגב הצפוני. עבודה דוקטור, האוניברסיטה העברית בירושלים.
- גולדברג מ. 1980: הגיאולוגיה של היורה בחרמוו. בתוך "חרמוו-טבע ונוף" בעריכת א. שמידע ו.ם. לבנה. הוצאת מכון המאוחד ע"מ 90-78.
- דרין ב. 1969: הערות לביסטרטיגרפיה של היורא בחרמוו. החברה הגיאולוגית הישראלית, כנס רמת הגולן.
- דרין ב. 1975: היורא של מרכז וצפון ישראל. עבודה דוקטור, האוניברסיטה העברית בירושלים.

Dubertret, L. 1960: Carte Géologique Au 50,000 e, Feuille de L'Hermon (Rachaya Sud). République Libanaise, Ministere des Travaux Publics. Beyrouth 1948, 1956, 1960.

Dubertret, L. 1963: Léxique stratigraphique International, Fasc. 10c, PP10-153.

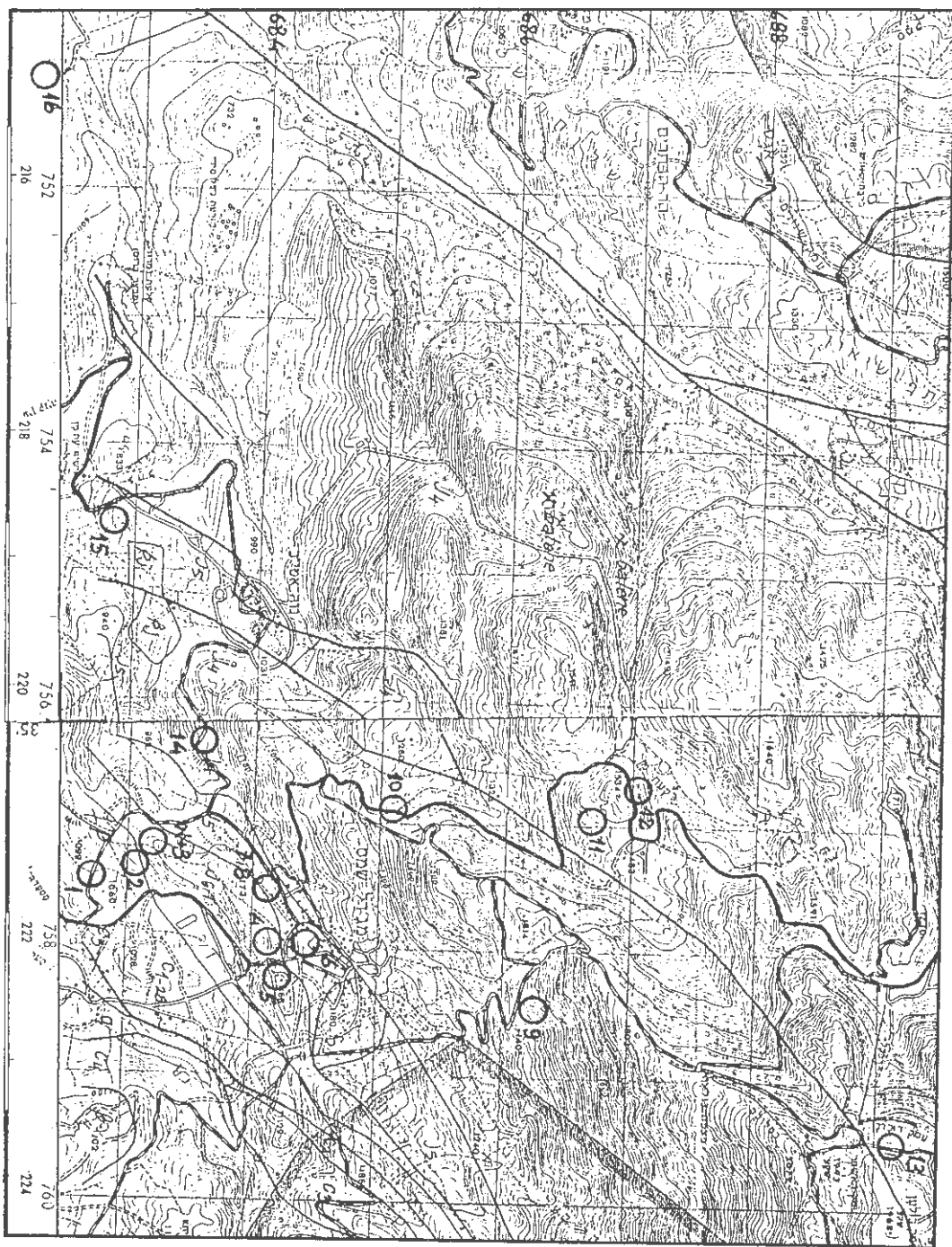
Goldberg, M., Friedman, G. M., 1974: Paleoenvironments and Paleogeographic evolution of the Jurassic System in southern Israel, Isr. Geol. Surv., Bull. 61, 44p.

Razvalyaev, A. V. 1966: The Geological map of Syria, 1:200,000. Explanatory notes. Syrian Arab Republic, Dept. of Geological and Mineral Research.

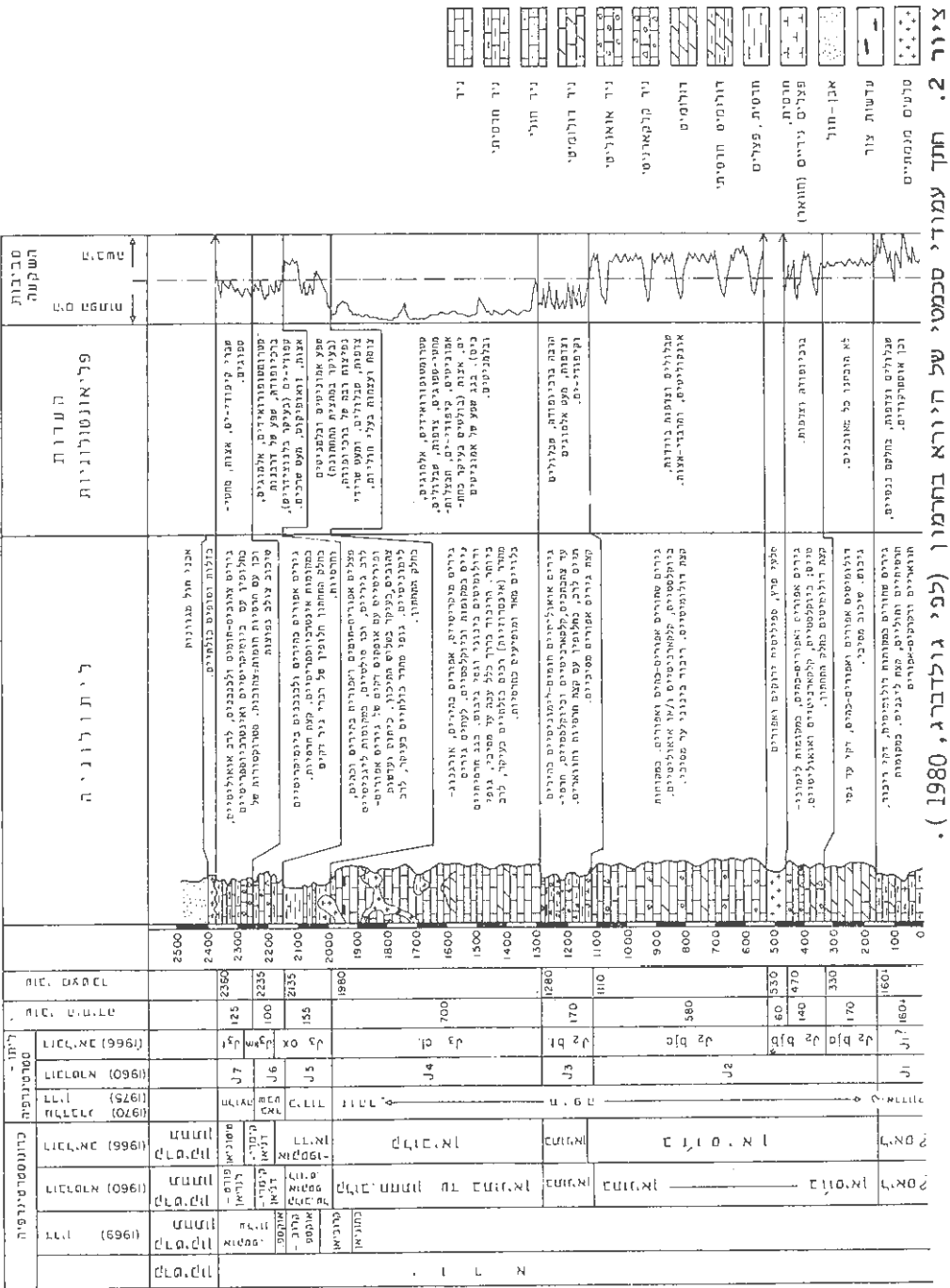
תכנית חסימה

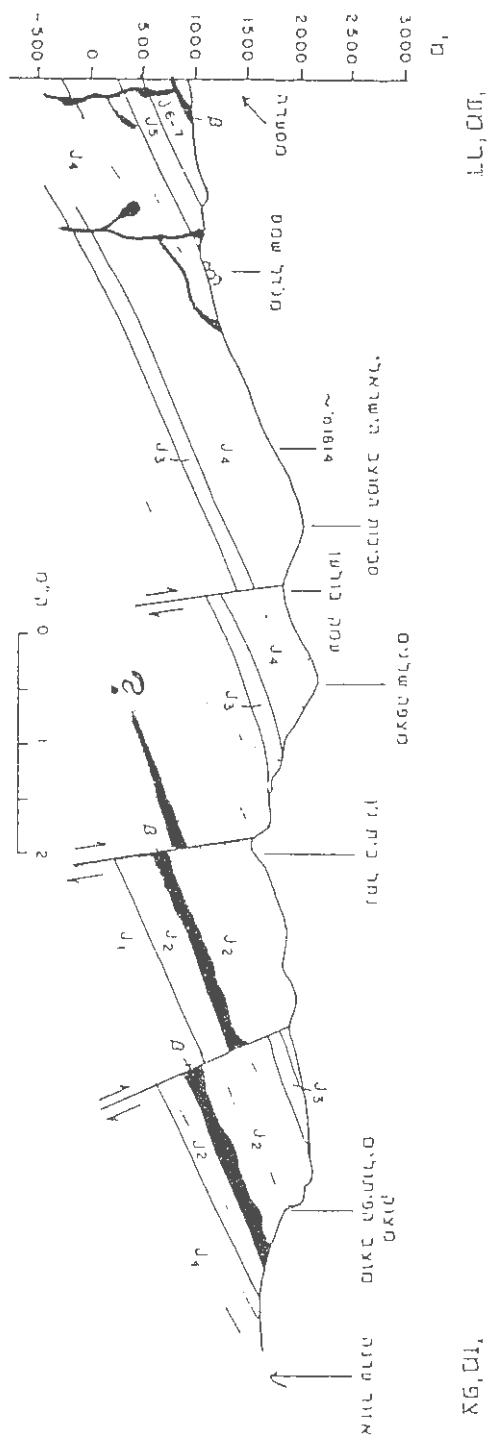
- יציאה מרמות אחורית ארכוית הבוקר. נסיעה בת כשעה לכוון מערבה. הסירות יתנהל לרוב לפ' סדר סטרטיגרפי יורד, בוחנות שלחלהן (ציורים 1 - 3).
1. מגע סלעים וולקניים - תצורת חלוצה (7c). המגע עצמו איינו חשוב, אך לפי יחסיו השדה מונחים הבזלות וחסלעים הפירוקלסטיים על גבי תצורת חלוצה.
2. תצורת חלוצה (7c) - חלק עליון. חילופין של דרגשי גיר אוואוליטי עם חרסיות מאובנים. שים לב לתופעות הריבוד הצלוב בגיר האוואוליטי. נפוצים אוונגוליטים ושרבי מאובנים אחרים.
3. תצורת חלוצה (7c) - חלק תחתון. גיר אצוט, שוניתי במרקומות.
4. תצורת באר שבע (6c) - חלק עליון. גיר ביומיקרייטי וקלארכניטי עשיר באוצרות גיריות, סטרומטופורואידים ואלמוגים. נפוצים דרבנות קיפודיים (BALANOCIDARIS) ומעט זרועניים.
5. תצורת צידוד (5c) - חלק עליון. פצלים חרסיתיים, אפורים כהים, עם דרגשי ביניים קשים, אדומים. בפצלים, שרידי צומח ואמונייטים.
6. תצורת צידוד (5c) - חלק תיכון. חילופין של פצלים גיריים אפורים-חומיים, עם דרגשי גיר קלארכניטי, אפרפר עד צהוב, עשיר מאובנים (אמוניטים, צדפים, מהטי ספוגים). דרגשי הגיר בולטים בנור.
7. תצורת צידוד (5c) - חלק תחתון. פצלים חרסיתיים, גיריים, אפורים כהים, במרקומות פיריטיים, עם מרכיבים וודשות לימיוניטיים מרובדים במקביל לשיכוב. שפע של אמונייטים קטנים ומעט בלמניטיים, במרקומות שרידי צומח. מספר דרגשי גיר ודולומיט, במרקומות עם סדיי בוץ (MUD CRACKS).
8. תצורת צורה (4c) - אג התצורה. גיר חרסיתי רך, אפרפר, עם שפע של אמונייטים גדולים, בלמניטים ומעט זרועניים. שים לב מעבר החורגתתי אל הפצלים הכהים של תצורת צידוד שלعال. ביחסך, גיר מיקריטי קשה, לבנבן - אפרפר, טיפוסי להצורה.
- * 9. תצורת חיפה (4c) - חילופין בזלתיות בחלק העליון של התצורה. מעברים הדרגתיים מבזלת טריה לבזלת בלוית וכלה בחרסית שתפתחה בחחסך ההליך הבלתי. בין החרסית לבזלת, גושי גיר אפוי שיישי, שכנראה נקרועו משולי החדרה.
10. תצורת חיפה (4c) - חלק עליון, תופעות מינרליזציה. עורקים צפופים של דולומיט גבישי לבן בתוך דולומיט סוכרי צהוב. כ-200 מ' דרומה, ליד הכביש, סימני החלקה (SLICKENSIDE) אפקים.
11. תצורת חיפה (4c) - חילופין בזלתיות ברסק קליפות וגרגרי חול קרבונטי, במרקומות מדולמטים. הנבריות ממולאות לרוב ברסק קליפות וגרגרי חול קרבונטי, במרקומות מדולמטים.
12. מבט מהכביש על בקעת מנו ובריכת מנו - שהוא דולינינה המנקזת בתת הקרקע את הקעה.
- * 13. מבט מאזור הרכבל העליון על עמק בולען.
14. תצורת חיפה (4c) - חלק עליון. עדשת דולומיטי קשה, סוכרי, בתוך גיר תצורת חיפה.
15. תצורת צידוד (5c) - סלעי מחדר בזלתיים בתוך פצלי התצורה. במרקומות, מובלעות של גיר קלוי.
16. תצורת חיפה (4c) - מערות הבנייאס. תופעות קרסט בتوزן הגיר הביומיקרייטי.

* מותנה באישור כניסה לשטח.



צייר 1. מפה מיקום תחנות בסיר.





3. צייר. 3. חנק לרווח מבנה החדרמו מאזר מסעה לאיזור אראה (לפי גולדברג, 1980).

שנויין פגיאס זתוגנות קדשו בחברות יהודית וחלכלה על משמר מי התהוו

"בגלאיל אזרחי"

אורן בפלי

מקום חגיון לודז'י, ירושלים

בעט

הסיוור מתקד בהרוי נפהלי, צפונו מזרח הגליל וככל רחובו 14 מתנות
תפירות (תרשים 1)

מטרת הסיוור – תחיקות. אחר שנויין הפגיאס האמורות בتوزר שבורת יהודת
ואחר הגיאומטריה שליהם. שנויין אלה ונסויין ענובי הנלוויים של התצורות
ה��ו, הבונגו את החזות יהודת חלק תחתון, נייחנים סכמתית ותרשים
מס' 2.

באזור מרגליות חתר זה מצומצם כאשר פרט כמן של תצורת יגוז מצומצם
דרשתית ומונת באז' התאמה על תצורת צלמון ואילו תצורת כפירה חטרה.
פרט כמן מלא חבלית קדום של בלוקים נטוויים ועוביו "קופץ" מבлок
אחד לשני (תרשים מס' 3). מאב זה מעיך שההשתקים חגבליים את
בלוקים הבוניים את המתולול שגען קריית שמונה היו פעילים כבר רתקופה
קדמה להשquetת פרט כמן, ופעילותם התואשה בתקופות צעירות יותר.

שנויין פגיאליים נקרים חליים גם בחלקת העליון של שבורת יהודת בה
חולות התעבויות וחמדקיות של איזור דיר ana וסחניין. האחת על
רעותה. שנויין הפגיאס חליים בדרך כלל בזמידות לכוון השתקה גדולים

ונציריים, דבר חמוץ על כן שפנילוטם החלטה כבר ותקורת ההשערה של התכורות הנ"ל, מחייב זו נחמת גם ע"י עובדת קיומו של מופעת זפורמציה (או התאמות יקמותים) סינסידינתרית העמידה מל אי שקט שקטוני בחקופת ההשערה

תצורת דיר חנא מזוודה, כמקומות אחרים אקויקלוד המפריד בין האקויפר התומון (כפורה + כמן + ברכה) לאקויפר המליון (סחני + בינה) – של תבורת יהודת.

عقب שנויי הפאים באזוריים בהם מתקגת תצורת דיר חנא או נעלמת לחולין נוצר רצף דולומייטי מסיבי לאוגר כל החדר, בו מרובות תופעות הסרוק ותופעות הקרסט הנשלחות ע"י סדוק והמסה. אזורי אלה מהווים מעין "מרזבות" hidrologיות פאופיניות ע"י מובילות גזואה כמו ת הו אשר בסיסם מופיעים רוב המunities הגדוליות במתול ההשתקים (עינן, אוזו, אוזוזים) (תרשים מס' 4).

תמונה מס' 1

תיפוי על מתול של קרן גפתלי ליד עין עין. חצר דולומייטי רצוף מצורת יגור בפסים ועד לנצח טהניין בגן החדר באוזר בקעת יתמור. אוזר דולומייט יגור בפסים המשמש "מרזבה" hidrologית ומוצא למיפוי עיןן.

תמונה מס' 2

מבר מערבה לכיוון דרום גפתלי וקרן גפתלי. בסיס החדר בתצורת כפירה וגדן בתצורת טהניין. מצורת דיר חנא מופיעה כאפק זך בשובי של כ-20 מ' המתקדק לכיוון קרן גפתלי.

תחנה מס' 6

עין תאן. במתלול ממערב וחשפה-צורה יגורה ובמקרה החדר אמצעי רצף דולומיטי עד לתצורות טחניין ובינה מפפון לייפה. רצף זה יוצר "מרזבה" חידרולוגית המנוקעת בסיסית ע"י עין האון.

תחנה מס' 4

עמין אוזים. מבט על המתלול במערב. רצף דולומיטי החל בתצורת יגורה בסיסית החדר ועד לתצורות סחניין בחלקו העליון. בסיסית ה"מרזבה" המת�בלת — עין אוזים. בקצתה העליון, באורך מטר פאר נצפו תופעות קרסטיות (תחנה מס' 11).

תחנה מס' 5

מבט ממזרח ובעה שטמית על המתלול שבין קדרית שמונה למרגלות (תרשים מס' 3). ניתן להבחין בתצורות מגיל קדטיקון תחתון ומעליהן את תלקה התהתקון של חבורות יהודה המונחת עליהן כאו התאמה (ניתן להבחין בשכבות המונחות ב-OVERLAP על חבלית קדום של בלוקים נצויים כאשר העוביים של פרט כמו "קופאים" בלוק אחד למשנהו).

תחנה מס' 6

עליה בכויש כפר גלעדי מרגליות. במעלה החדר מעלה תצורות צלמון, כפירה, ואיגוד מונחת תזרות דיר הן בטובי ניכר.

תחנה מס' 7

תצפית על פרט ראש הנקרה של תצורת דיר חנא. הטרט מאופיין (ע"י דפורמציות סיננס) ימנדריות הבאות לידי בפיו כאו התאמות וקמטים.

תחנה מס' 8

תספיה מצודה חוגין, מרגליות. תפורת יגורה מקומת קומות חזק כאשר ביזון ציר קומות מקביל למקש. עובי פרט כmoon בקשת זה מצומצם.

תחנה מס' 9

תספיה בקרבת צומת מרגליות משגב עם. קוידון רأس חנקרה מונח באו התאמה של TABLET של פרט ברכבה.

תחנה מס' 10

הקטש שבין אנדית למפה פאר. ניתן לחובין מעבר פאיולי והפתיחה של דולומיט טניין לפני דרום על השבון פרט ראש חנקרה.

תחנה מס' 11

אזרז מצפה פאר. מעבר פאיולי חריש תוך כדי הבדיקה פרט ראש החנקרה ותעבות תצורת טניין על חשבונה. מעבר תופעות קרסט, זיקפים ובטייפים. "מרזבה" זו כאמור מנוקדת בבסיסה ע"י עין אוזניים. (תחנה 4).

תחנה מס' 12

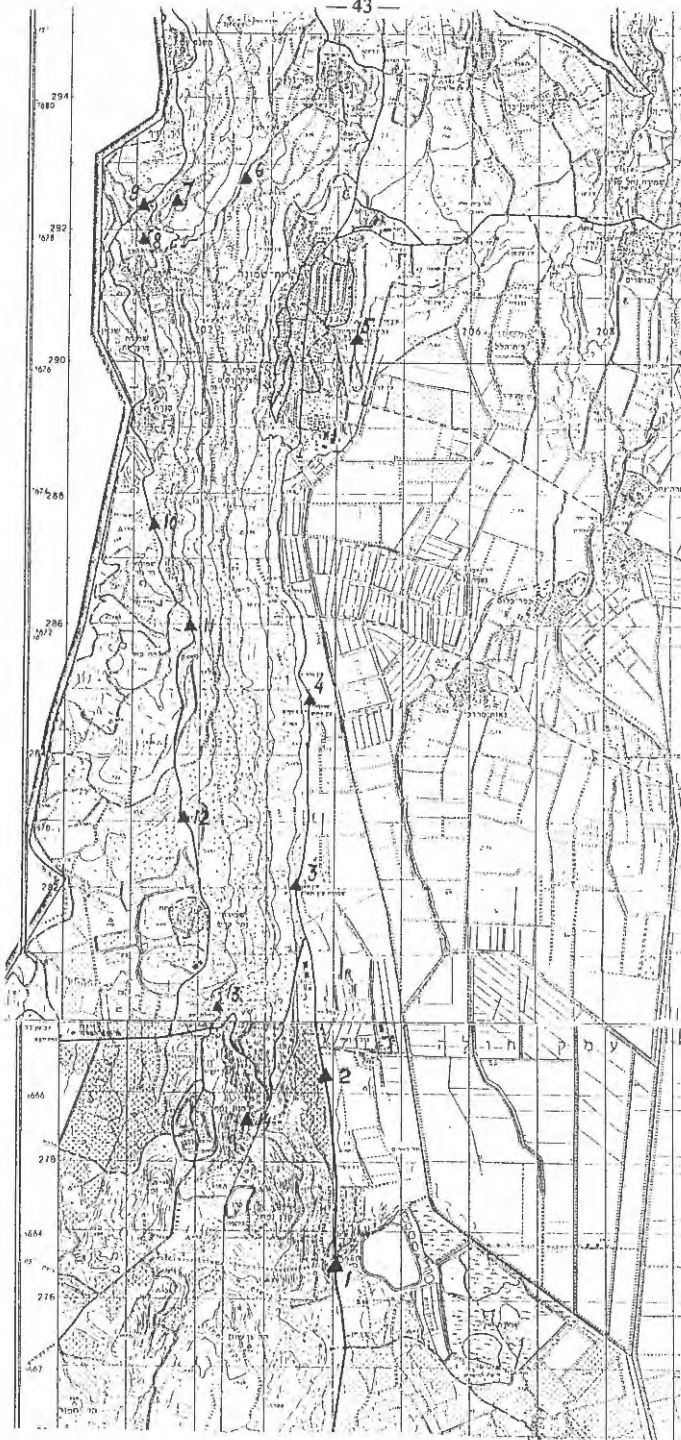
מצפון ליפתח בקרבת הכביש חתומות על חילים קרסטיים, הנשלמת ע"י מערכות סדוק עכיבורן צפון מזרח וצפון מערב. תופעות קרסט אלה מצויות בקו מזרח מערב על "מרזבה" Dolomiticarenanokdut במזרח ע"י עין תא ובערחה תופעות אי התאמה חריפות וחבלית קדום בו מונחים קונגלומרטים ויאזגניטים בא. התאמת על תזורת בר כוכבא האונחת בא התאמת על תבורת הר חצופים חמלאת TABLET על חבורת יהודית ומרזב על מערכות קרסט קדרונות.

תמונה מס' 13

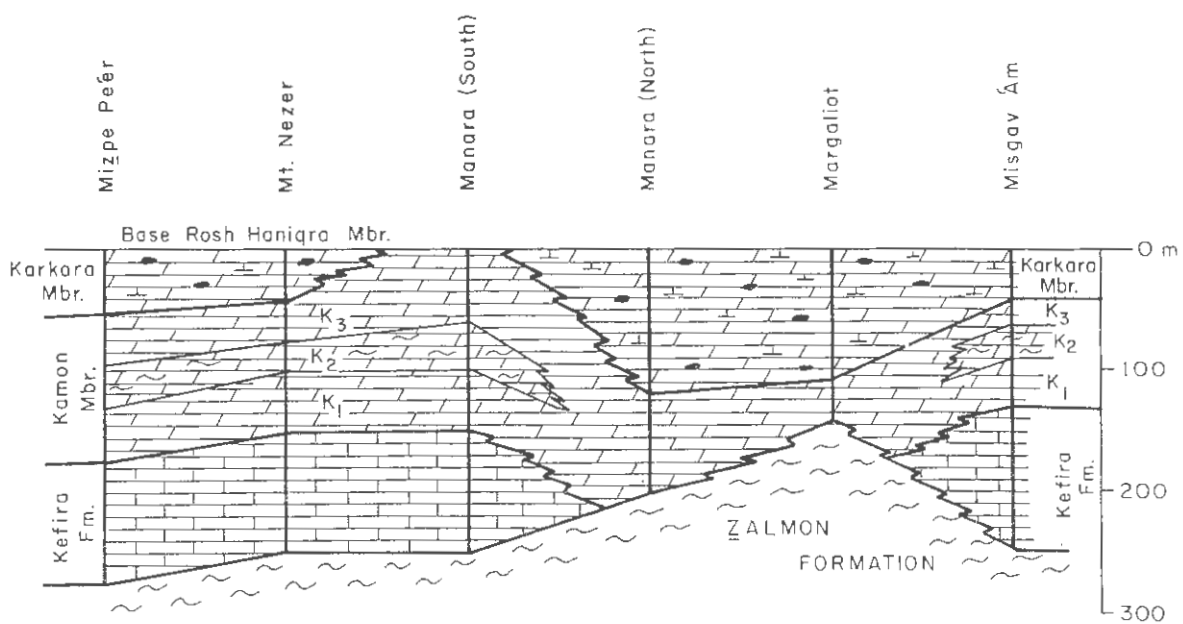
מבט-פנורמת כה (נבי יושע) על נחל קוֹשׁ וינפתה. מצורת דיר חנא מונחת על גג מצורת יג'ור (מתוך בזורה הריבת מזרחה לכיוון בקעת קדש).

תמונה מס' 14

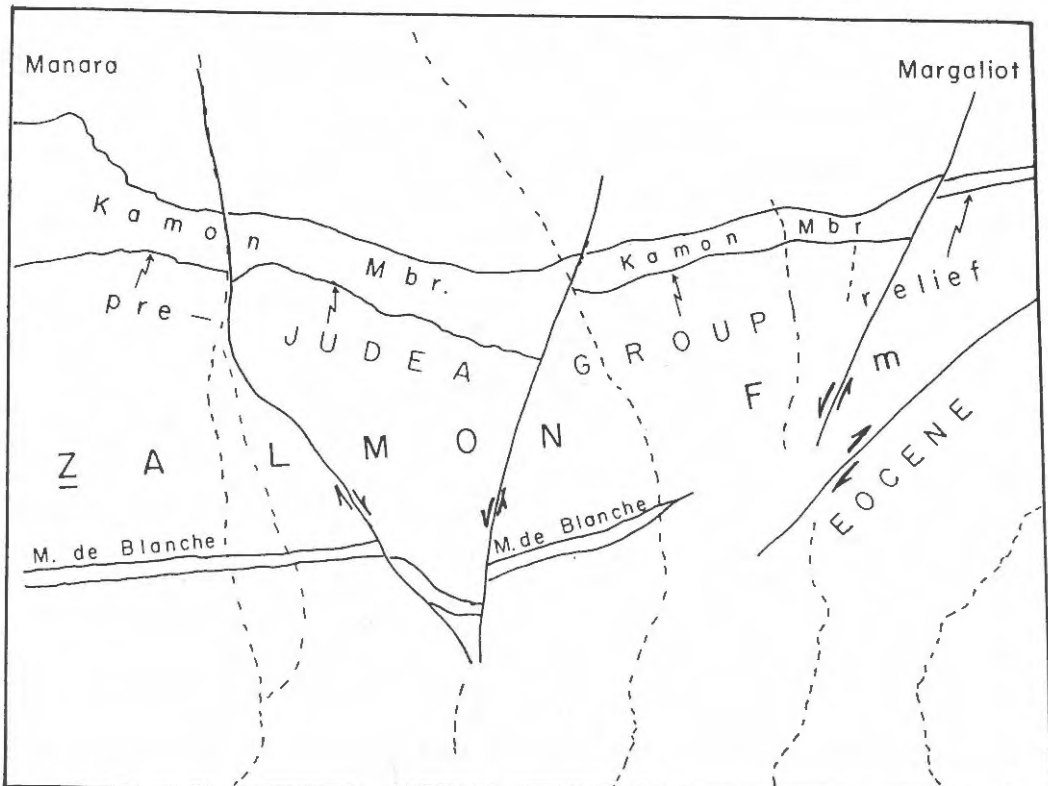
בירידה פנורמת כה לעמך החולה במצורת כרכרה תופעות של קמורות סינסידימנטריים צפופים וחריפים. ציר. הקומות ניצב לכיוון חבקע



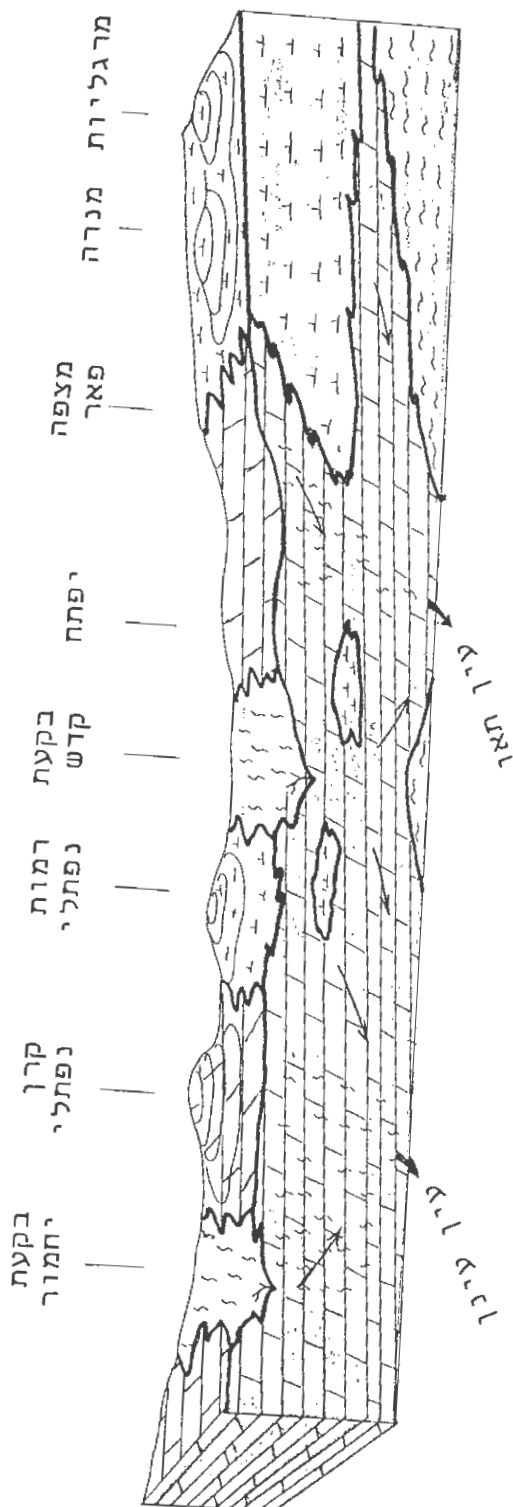
תרשים 1. מפת מפתח



תרשים 2. שנורמי פצרים ועובי בחברות יהודת חלק תחתון, הרי נפתלי.



תרשים 3. שנורר עובי של פרט כמורן על גביה תבליט בלווקים קדום.
המתלול שמעל קרית שמונה.



תרשים 4. טרנספורמציה ותבונת מאובנים. הר נפל. שורי פציאם, הרוואצ'יות "מרזובות" לוכומיטור, בקענות

שולוי הבקע מדרום לבית שאן ומזרח הגלבוע

יעקב מירנן, גבי שביב, יוסי חזר וברבו לנג – המכון הגיאולוגי.

מטרות הסיוור הן הצגת הנושאים הבאים:

1. ליתוסטרטיגרפיה של חבורת טבריה עם הדגשה על הייחידות הולקניות המתווארות המשולבות בחתר.
 2. התפתחות המבנה של צפון מזרח השומרון, על פי היחסים בין חבורות יהודה, הר הצופים, עבדת וטבריה.
 3. ליתוסטרטיגרפיה של חבורת עבדת ומבנה מזרח הגלבוע, והצגת תופעות גלישיה של גושים אאוקניטים על גבי חבורת הר הצופים.
- מסלול הסיוור כולל תחנות מסדמת א-טליב (13 ק"מ מדרום לנחל בזק) דרך איזור מרמא פיאד, ואדי מליח, רוויה ומרגלות הגלבוע (ציור 1).

(1) ליתוסטרטיגרפיה של חבורות טבריה וים המלח (ציור 5)

השילוב של בדיקות גיל דינוגניטות של כ-20 גופים וולקניטים ודיאקיטים בחבורת טבריה מהאזור שמהלכו דרכ' בית שאן עד מרמא פיאד ולימוד יחס' שדה מאפשרعيידון החלוקה הסטרטיגרפית של החתר מגיל נאוגן-קוווטרן (חבורת טבריה וים המלח) ומהודל הפלואגיאוגרפיה של האזור. החתר בנוי ברובו מסלע משקע דטריטריים גסיטים – דקים ובו משולבים מספר קילוחי בצלת וסלעים פירוקלסטיים. הוא מונח באירוע אירוזיבית וזרותית על סלעים מחבורות כורנוב, יהודה, הר הצופים וعبدת (ציור 6) ובвро הכלול עוללה על 500 מטר. קביעות גיל דינוגניטות של גופים מגמטיים סייעו רבות לתאור ה斯特טיגרפי המובא בזיה.

צורות הורדים ובהזלת תחתונה

באיזור שולוי הגלבוע משולבים בתצורת הורדים שפכי בזלת תחתונה שבילם משתנה בין 10.3 – 17.5 מיליון שנה. הבזלת מטיפוס אלקלאי – אורלייבין דקט גביש, ומוקהה כנראה בדיאקיטים כמו אלה הנחשפים לאורך מתלול הגלבוע. צורת הורדים מגיעה באיזור מרמא פיאד לעובי העולה על 200 מ' ומחלקת שם לשישה פרטיטים:

קורנגולומרט תחתון – בניו محلוקים בעלי מילון ועיגוליות גראוניים מחבורות כורנוב ויהודה, מלוד היטוב ובעובי עד 20 מ'.

הפרט האגמי – בניו מסדרה בעובי שבין 150 – 30 מ' של חילופי סילט קרבונטי, דולומיט, קירטון חווארי ועדשות גבס, במקומות חלק מהחתר גיררי (תצלום 5).

קורנגולומרט עליון – עובי 50 – 20 מ' והוא מכיל לעיתים עדשות או שכבות דקות של סילט אדום. מחסوفي הקורנגולומרט נפוצים באיזור מרמא פיאד והוא מכיל חלוקיטים מחבורות כורנוב – عبدال ומעט חלוקיטים מהקורנגולומרט תחתון. גיל תצורת הורדים מיקון תיכון.

תצורת בירה ובחזלת התיכונה

בתצורת בירה נכללים באזורי מרמה פיאר סדרימנטים אגמיים - גירריום, סיליטים וחרסיות עם מעט שכבות קונגלומרט וגיררי ארגונוקוליטים. עובי התצורה 130 מ' וגיליה מיוקן עליון. מחשופי התצורה מצויים באזורי הסירור עד מרגלות הגלבוע. במחצצת הפירוקלסטיים של רוויה (תחנה 7) מונח חתך חווארי בעובי כמטר על היחידה הולוקנית (צירור 8).

שני שפכי בזלת מופיעים בחתך במרמה פיאר וגילם בין 5.8-6.4 מיליון שנה (צירור 5), וגילים דומים נקבעו לסלעים הולוקנריים בסדת א-טליב (תחנה 1) ובמחצצת הפירוקלסטיים ברוויה (תחנה 7).

תצורת גשר

תצורת גשר בינוי רצף של סלעים גירריים עם שכבות ביניים חוואריות קירטוניות ושכבות קונגלומרט עם לייכון קירטוני. בגג החתך חוואר וקרטון עם אפקטי גיר קשה המכיל דפוסי MELANIA.

החשוף היחידי באזורי נמצא ממערב למרמה פיאר (צירור 7), עובי התצורה 110 מ' והוא מונחת באירוע התאמה על תצורת בירה (צירור 5).

בזלת הכיסוי

מכסה באזורי תבליט ארוזיזיבי של תצורות בירה, גשר ובחורת עבדת גילה בין 4.5-5.2 מיליון שנה, זמחשופים שלא נמצאים למרגולות הגלבוע בשיפולי מתולול אבינדב (תחנה 8).

קונגלומרט ואדי מליח

ברוגה את המפלס המישורי הנרחב של דרום בקעת בית שאן ומונח באירוע התאמה על תצורת בירה. עוביו כ-40 מ' באזורי ואדי אל-מלח התהתקו.

תצורת סمرا

מופיעה כקונגלומרט חורי הבונה טרסות בגובה טופוגרפי עד 160-מ' ביחס לפני הים (צלום 3), בשולי בקעת הירדן מדרום למרמה פיאר.

תצורת הלשון

מונחת באירוע התאמה על היחידות הקודמות ומגיעה לגובה טופוגרפי שאינו עולה על 180-מ' ביחס לפני הים.

העתקה

באזור הסירור מזוהרות שלוש מערכות העתקים. מערכת אחת בכיוון צפון מערב. על מערכת זו נמנים העתקים הגדולים המבתרים את השומרון לשורה של הורסתים וגרבניטים, והעתק הגלבוע. שעור ההעתקה מאות מטרים. הפעילות על מערכת העתקים זו החלה משך הרבדת תצורת הורדים ונמשכה גם מאוחר יותר.

מערכת העתקים השנייה בכיוון צפון - צפון מערב. העתקים בני מערכת זו מופיעים בשולי בקע הירדן ובמזרחה הגלבוע, (תחנה מס' 4) שיורט

ההעתקה עד 200 מ' וփיעולות הימה בזמן הרבדת תצורה בירה. למרגלות מתולול אבינדר מבשה בזלת חכיסוי העתק ממארכת זו. מערכת ההעתקים השלישית בכורן צפון - דרום. העתקים בניי מערכת זו מופיעים בשולי הבקע ובשוליו הגלבוע. גיל ההעתקה מאוחר מבן חכיסוי ושיעורה על העתקים בודדים עד מאות מטרים (תמונה 8).

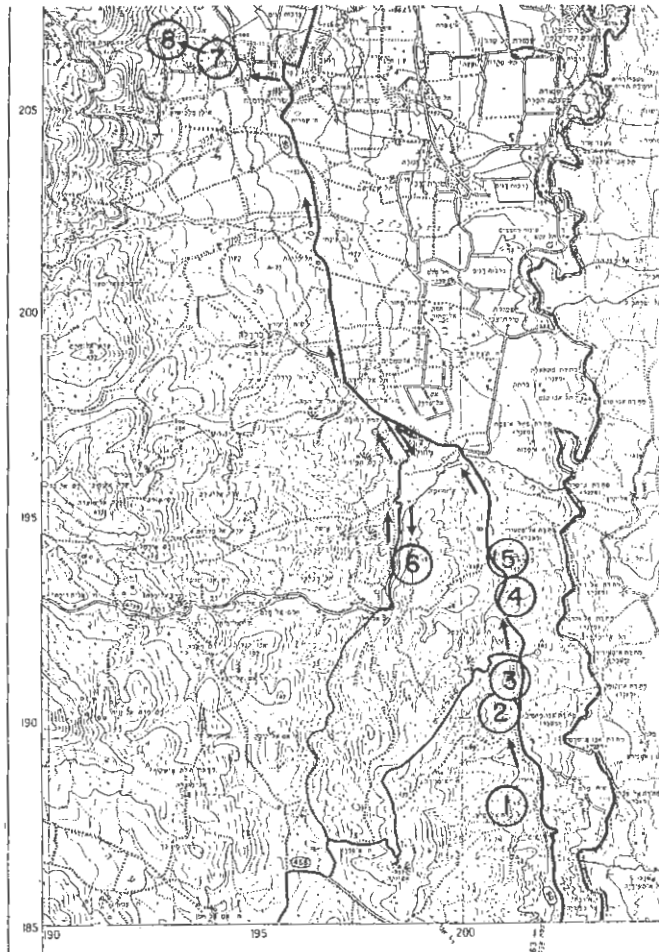
(2) התפתחות המבנה של צפון מזרח השומרון על פי היחסים בין

חברות יהודה, הר הזרפים עבות וטבריה.

נושא זה מוצג בתמונה מס' 2 - גבעת ארבע החברות - ראה להלן,
בציור 4 ותצלום 4.

(3) לייטוסטרטיגרפיה של חבורת עברת ומבנה מזרח הגלבוע

הנושא מוצג בתמונה מס' 8 - במצפיה על מתולול אבינדר - ראה
להלן, צירורים 9, 10 ותצלום 6.



ציור 1 - מפת אזור סיור ב-7, מסלול הסרור והתחנות.

תחנה מס' 1

سدת א - טלייב - נ.צ.מ. *2012/1878

הנושא המוצג בתחנה : העתקה נאוגנית ופעילות וולקנית במצר השומרון:
הר געש בזלתתי באגן שבור של צורת הורדוס.

האתר נמצא 2 ק"מ ממערב לירדן באגן המזרחי של קמר הפריעה. החבורות הנחשפות באזורי: יהודה, הר הצופים, ובבדת, כולן מכוסות בחלקו על ידי תצורת הורדוס ונטיות מזרחית. למרגלות הגבעה, בסמוך לכביש הבקעה, נחשפים דרגשי קוונגולומרט של צורת טמרה, הנטויים קלות מזרחית (תצלום 3). העתק נורמלי בכוון צ' 20 מעלות מע' הנטוי 50 מעלות לכוון מע' דר'—מע' חוצה את האתר.

העתק מהוועת את גבולו המזרחי של אגן מורפוטרוני ששטחו 400X800 מ', המכיל חתך צורת הורדוס בעובי 90 מ' לפחות. החתך מורכב מירכוב מיחידה סיליטית אדמדמה בעובי 60 מ' וממחתה ומליה שכבות קוונגולומרט דקota. מעל לקוונגולומרט העליון מונח חתך של סלעים וולקניים הבנוי בעיקר משכבי בזלת עם מעט סקוריה בחלק התיכון (תצלומים 1, 2). הוא מדק בצדקה מעובי של 30 מ' ומסתיים במישור העתקה מזרחית. משוחף קטן של בזלת, בקורס מטרים אחדים, נמצא מזרחית להעתק על הגוש המורם (צירורים 2, 3).

על פי הליותולוגיה והטפואה של הסלעים הוולקניים מוצע שמדובר בהר געש קטן שנראה ניזון דרכ' מישור העתקה. חלקו העליון של הר הגעש הוסר ונ顯ת להראות את מיקום צינור ההזנה והתרחבותו לשפכי הלבה התתוגנים. גילה הרדיוגני של הבזלת כפי שהתקבל מבדיקת שני מדגמים משני צדי העתק 0.1 + 5.5 מ"ש. גיל זה דומה לגיל החתך הפירוקלסטי במחזבה ברווזיה שנראה בהמשך הטויר.

הצروف של העתקה נורמלית עם החתך הוולקני – סדיומנטרי מאפשר קביעה שהשלבים הבאים בהתקחות האיזור לאחר הטהה של חבורת עבדת:

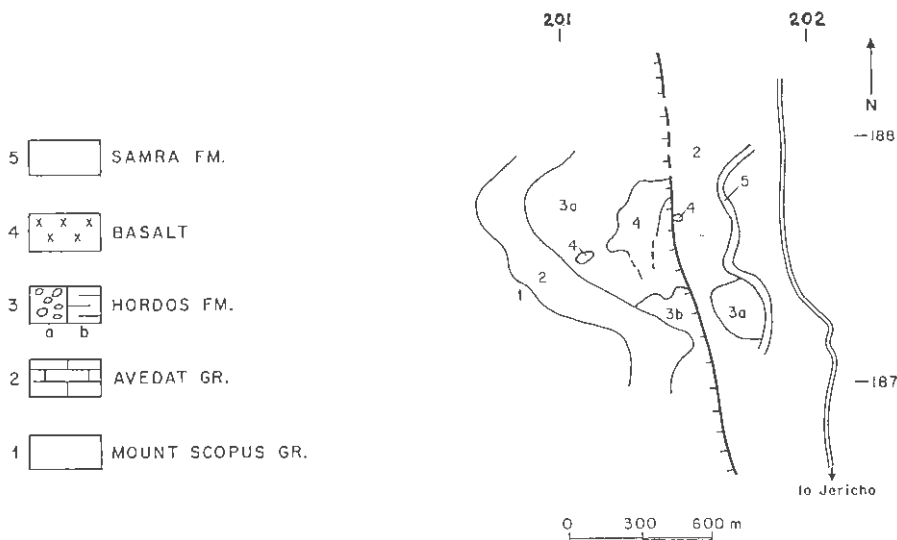
1. הרבדה של קוונגולומרט תחתון, טילטים אדומיים וקוונגולומרט עליון (צורת הורדוס) באירועה על TABLET מורפוטרוני.

2. העתקה נורמלית בכוון מע'—צ'—מע' במיקון ואירועה של חתך צורת הורדוס מהגוש המזרחי שלהם.

3. התפרצויות סקוריה ובלatta והצברותן בעיקר על הגוש המזרחי המורד.

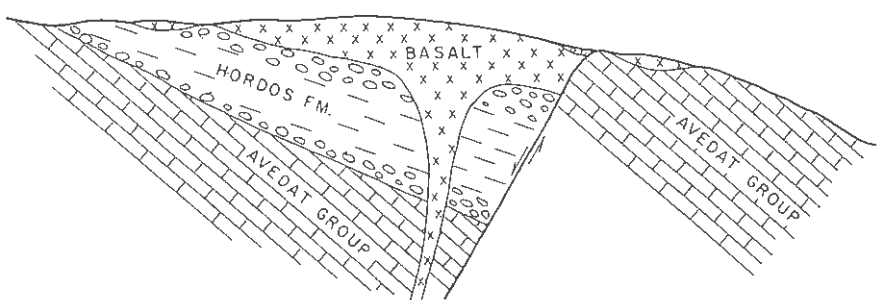
4. הטהה קלה מזרחית של השטח ומהמשך ארוזיה.

* טירור תחנה מס' 1 נמשך כ-2.5 שעות וכרכוך בטירוף על גבעה בגובה 150 מ'.



ציור 2 – מפה גיאולוגית של אזור סרת אל-מלחיב.

— W — — E —

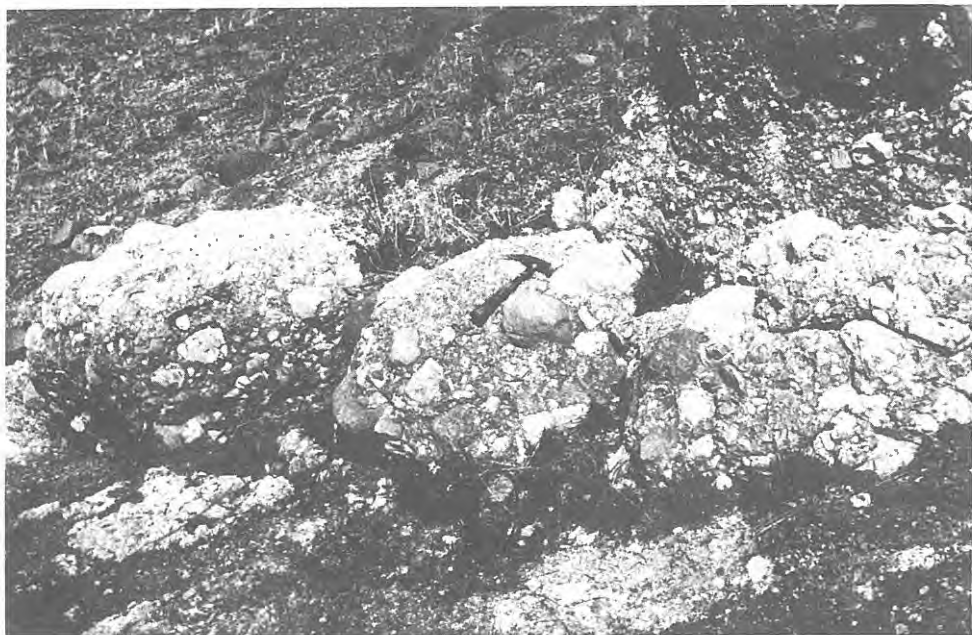


ציור 3 – חתך רוחב סכמטי המראה את היחס בין

היחידות הסדרמנטריות לוולקניות.



תצלום 1 - מבט מדרומ מערב על "הר הגעש השבור".
1. העתק בכיוון צפון צפון מערב. 2. חתך וולקני עבה
מערב להעתק. 3. חתך וולקני דק מזרחה להעתק. 4.
צורת הורדוס. 5. גושי קוונגולומרט אפוי של צורת
הורדוס. 6. חבורת עבדת. 7. צורת הלשון.



תצלום 2 - גושי קוונגלומרט אפורי של צורות הורדות
במגע עם בסיס החתר הווולקני.



תצלום 3 - החץ מצביע על דרגשים של צורת סמרה
במדרון המזרחי של סדרת א-טליב.

תמונה מס' 2

תצלית על "גבעת ארבע החברות" נ.צ.מ. 19010/20096

"גבעת ארבע החברות" שמצוון לואדי אום חרובה מהוות אתר חשוב להבנת התפתחות אנטיקליינוריות הפריעת. על מרחק אפקט קצר נחשפים החלק העליון של חבורת יהורה, חבורת הר הצופים שככל עביה מטרים ספורים, חבורת עבדה וחבורת טבריה. היחסים בין ארבע החברות הינם של אי התאמות ארכזיביות ודו-יתירות (צירור 4 ותצלום 4).

שחזר הנטיות הסטרוקטורליות מצבי על כך שהקימות הרגינולרי החל בהטיה בת 8-13 מעלות של האיזור הנזכר לכיוון מזרח דרום מזרח. הקימות לווה בתנועות העתקה לא גדרות והתרחש בין טורון לעליון לסנטון מתחthon. פזת קימות נוספת התרחש באזורן התיכון המוקדם, לפני הרבדת סלעי חבורת עברת הנחשפים כירום. נתיחת גג חבורת יהורה היתה כבר אז במקומות מעל 30 מעלות לכיוון מזרח דרום מזרח. בין האורך העליון למישון מתחthon פזת קימות נוספת הביאה להטיה בשיעור של 20 מעלות ויוטר של סלעי חבורת עברת לכיוון מזרח.

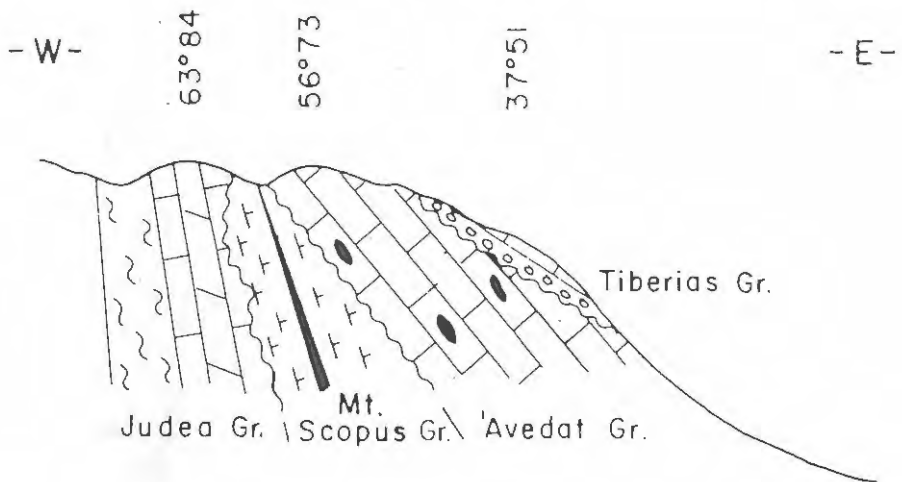
סלעי חבורת יהורה הגיעו בעקבות פזת קימות זו לנטייה מצטברת של 50 מעלות ויוטר.

שכבות קונגלומרט וגיר נאוגניים מתוצרת הורדוס (חבורת טבריה) המונחות בגבعة ארבע החברות באירוע החאה על חבורת עברת עברו הטיה בשיעור 37 מעלה לכיוון צפון מזרח.

החתך המצומצם של חבורת הדר הצופים בצירוף קריטריוניים פאוניסטיים וליתולוגיים שורנים מצביעים על הרבדה ביום רדוד ביותר. חוף הים הסנווני ליחך, איפוא, את השיפולים המזרחיים של גבעת ארבע החברות. המסקנה מכך שחלקו העליון של אגן אנטיקליינוריום הפריעת, שהיה נתוי כבר בסנטון בשיעור 13-8 מעילות הזדקר כייבשה מעל לים הסנווני. הערכה זהירה מעלה כי רחבה של רצועת היישה באיזור ציר הקמר הגיעה ל-10 ק"מ.



צלום 4 - גבעת ארבע החבורות. לזריהוי החבורות העזר בציור 4.



ציירוגר 4 - חתך רוחב סכמטי בגבעת ארבע החבורות עם צירוגר הנטיות של כל אחת מהחבורות.

LEGEND

◎ ◎	encolites
↖ ↗	plant remains
ff	fish remains
◎	gastropods of fresh-brackish water
— <	gypsum
— —	clay
.....	siltstone
██████	olivine basalt
████	flint
土壤	chalk
~ ~	marl
~~~~	dolomite
.....	limestone
.....	sandstone

Ql - Lisan Fm.

Qs - Samra Fm.

P_{Bc} - Cover Basalt Fm.

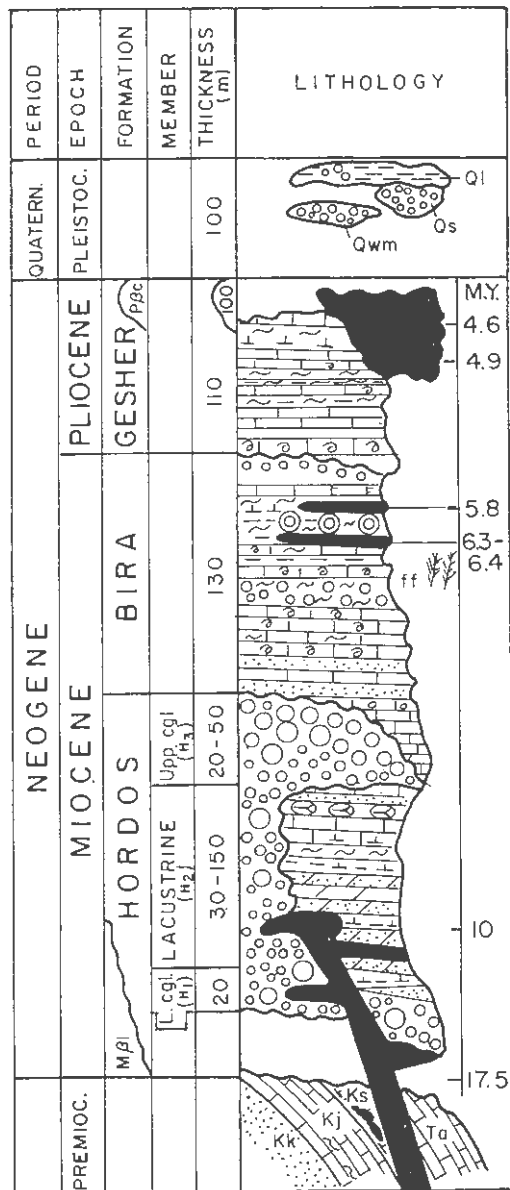
M_{BL} - Lower Basalt Fm.

Ta - Avedat Gr.

Ks - Mount Scopus Gr.

Kj - Judea Gr.

Kk - Kurnub Gr.

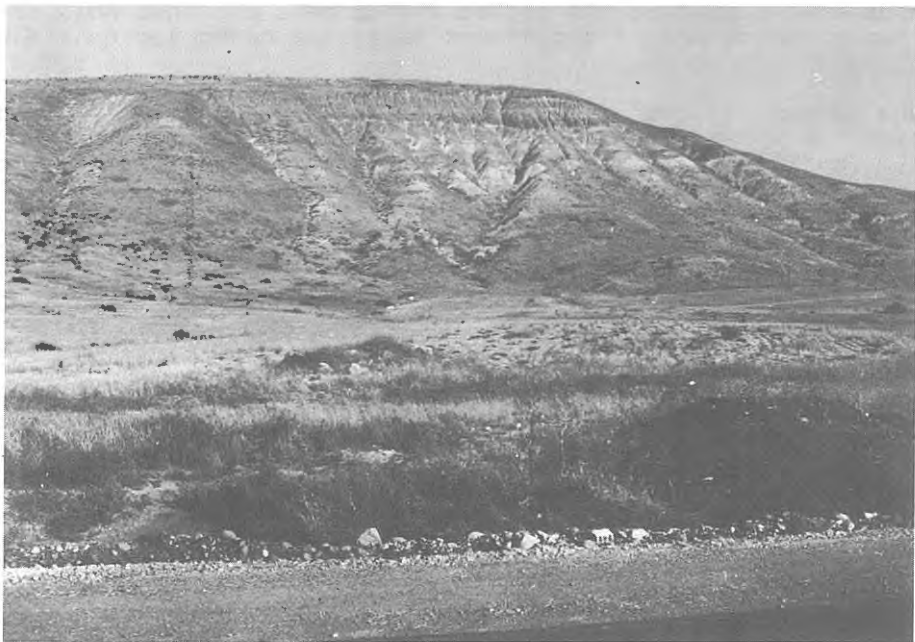


ציור 5 - חתך عمורי מוגדל של חבורות טבריה וים המלח באזוזן מרמא פיאד  
- בית שאן.

תחנה מס' 3

ראוס בירוד - נ.צ. 2010/1910

בתחנה זו נצפה מכבייש הבקעה מערבה אל מחשופים יפים של הפרט האגמי של תצורת הורדים שעליו חופה שכבה קונגלומרט דקה - הקונגלומרט העליון של התצורה (תצלום 5). עובי הפרט כאן כ-100 מטר ובולטים בו הגורונים האדמדמים והלבנים האפינניים של שכבות סילט עם מעט שכבות ביניים דולומיטיות וקרטוניות.



תצלום 5 - הפרט האגמי והקונגלומרט העליון של תצורת הורדים במדרונות המזרחי של רואס בירוד (תחנה 3).

תחנות מס' 4 - 5

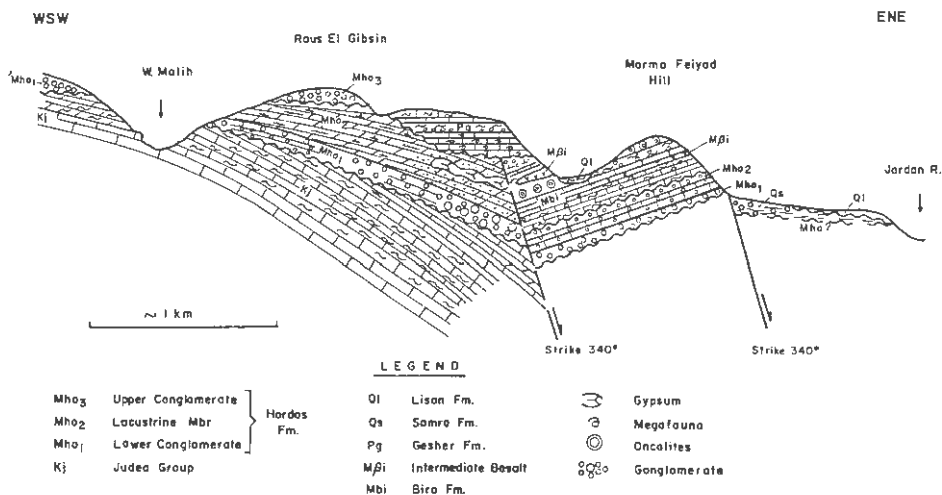
מרמא פיאר, נ.צ.מ. 2010/1935

תחנה מס' 4 ממוקמת מעט דרומית למרמא פיאר ומטרתה תצפית על הבלוק הנטורי מערבה ותוצרות בירה וגשר הנחשפות בו (צירורים 5, 6, 7).  
תחנה מס' 5 נמצאת בכינויה למוצב שבפסגת מרמא פיאר ומשמשת לתצפית מערבה על "מפרץ" תצורת גשר - החושף חתך גיררי דרגשי עם שכבות ביןיהם חווואריות - קרטוניות דקות בגבעה שמערב לבביש הבקעה.

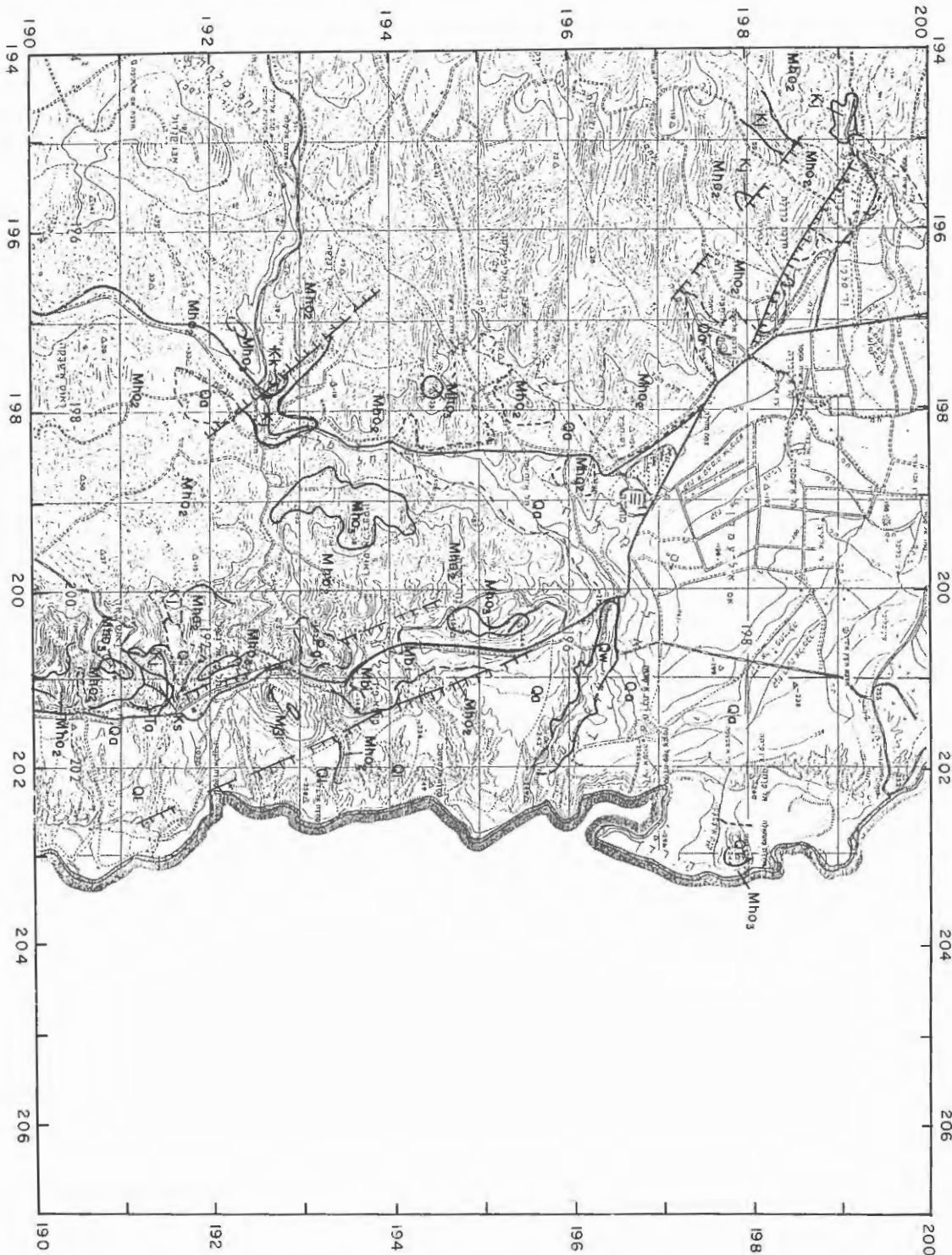
העובי הכללי של תצורת בירה בבלוק מרמא פיאר 130 מ', ומשולבים בה קילוחי בזלת אחד מהם נראה בבירור במדרון הדרומי (תצפית תחנה מס' 4) ומחשוף נורסף קטן בחלקת העליון של התצורה בסמוך למגע עם תצורת גשר - מערבה לבביש.

במקום בו עובר בביש הבקעה למרגלות מרמא פיאר ממש - נבדוק מחשוף תצורת בירה הבנוי חווואר עם גיר ארגנוליטים. במחשוף לפחות שני דרייקים בלויירים ביותר שלא ניתן לדגום בהם חומר טרי הדרוש לבירעת גילם.

תחנות מרמא פיאר בשילוב חתך הרוחב והמפה הגיאולוגית הסכמטיים (צירורים 6, 7) מציגים את הסטרטיגרפיה והמבנה של חלק זה של בקע הירדן שבו המחשופים הנרחבים והמלאים הדרומיים ביותר של חבורת טבריה באיזור.



ציור 6 - חתך רוחב סכמטי באיזור מרמא פיאר. במקרה ליתולוגי ראה ציור 5.



תחנה מס' 6

כביש עלייה לרותם (ראות גיבסן) 1940/1988

בחתק הנחשים בכביש העולה לדרום נבחן את הפרט האגמי ואת הקונגלומרט העליון של תצורת הורדוס על מגוון החלוקים המרכיבים אותו - החל מבני חול מחברות כורנוב וכלה בגיר חבורת עברת. לעיתים נמצאים חלקים שנגזרים מהקונגלומרט התהוון של תצורת הורדוס. ליכון הקונגלומרט סיליטי - קרבונטי עם גורנים אדמדמים. רותם נמצא בסמוך ל"ברך" ואדי מליח - המוקם בו מבצע הנחל תפניית בזווית ישורה צפונה. באזורי הביך מגביה העתק שכורונו צפון - מערב בלוך עתיק החושף אל מתחת מצוק הבלנש (גיר עין אל אסד) שגילו אפטיאן (צירור 7). מעל לבנש שכבות גיר וחווואר מתצורת טמורן ומעליהן באי התאמה - תצורת הורדוס. מתחנה 6 נążפה למרחק כ-1.5 ק"מ לכורו מערב צפון - מערב לגבעה הנקראת מונטרא-סק. בגבעה זו חתר מלא של תצורת הורדוס על שלשת פרטיו (קונגלומרט תהוון, הפרט האגמי וקונגלומרט עליון), אם כי כאן החתר דק הרבה יותר מזה שבארום בידוד (תחנה 3).

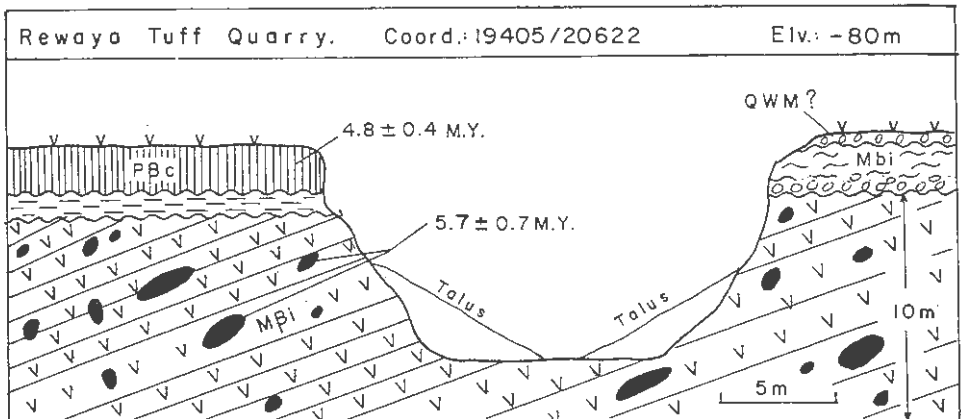
תחנה מס' 7

מחצבת הפירוקלסטיים ברויה - נ.צ.מ. 19405/20622

התחנה ממוקמת במחצבת פירוקלסטיים למרגלות הגלבוע המזרחי, בשולי נחל אבינגדב, סמוך למושב רוויה (ציוורים 1, 8). קוטר המחשוף כ-70 מ'. הפירוקלסטיים משוכבים ונטויים ובעומק 35 מטרות מכיל אפר, לפילי, בלוקים ופצצות וולקניות. החוובי המירבי המחשוף כ-20 מטר. הסדרה הפירוקלסטית גדועה בזלתה על ידי סדרמנטים חוואריים השינויים לתצורת בירה ובמערב על ידי קילוח בזלת מגיל בין קילוח הבזלת לפירוקלסטיים. בבחינה) ». אופק של קרקע פסילית מבידיל בין קילוח הבזלת לפירוקלסטיים. שש פצצות וולקניות תוארכו ונתקבל גיל של  $0.7 \pm 0.7$  מ.מ. אך כיוון הנטיות ושיעורן מצביעים מוקור התפרצונות הרוקלניט לא נמצא, אך כיוון הנטיות ושיעורן מצביעים על מוקור אפשרי בזלתה למרחק לא רב.

תצורת בירה - הtzורה מונחת באירוע התאמה זויהית על הפירוקלסטיים הנטויים. בסיס החתך נמצאת שכבה חלוקים אאוקניטים ממוגנים גרווע בקוטר 20-1 ס"מ ומעט חלוקי פירוקלסטיים. מעל החלוקים חוואר שבו המרכיב החרסיטי שולט. יתכן שבתקופת הצתרות חוואר בירה נמצא איזור רוויה באגן פנימי ולכך נראדו בו חרסיתות בתנאי אנרגיה נמוכה, בנגיגוד לאייזוריים אחרים, כמו חרבת מגדע, (בכורן צפון מערב) שהיו סמוכים לשולי האגן וביהם שכיחים יותר קונגלומרטים.

בזלת הקיסורי - זוהי בזלת קשה, מסובית, אלקלית אוליבינית, בעלת טכטורה גלומרופיריטית המתאפיינת על ידי מאספים של פנוקרייטים במטרייקם דק גביש. הפנוקרייטים של פלגיוקלז, אוליבין ואוגיט, והמטרייקם לרוב מראה טכטורה זרימה.



צירור 8 - חף רוחב בכורן מזרח - מערב במחצבת הפירוקלסטיים ברויה. למקרה סטרטיגרפי ראה צירור 5.

תחנה מס' 8

תצפית נחל אבינדב - נ.צ.מ. 19270/20675

בתצפית נחל אבינדב נחMARK בשלה נושאים: סטרטיגרפיה, העתקה וגלישות (ציורים 9, 10, תצלום 6).

**סטרטיגרפיה** - השיטופולים המזרחיים של גוש הגלבוע באזור נחל אבינדב בנויים סלעי חבורת הר הצופים. תצורות מנוחה, מישאש, וע'רב מוכבות מהאייזור אלא שהחומר דלה. חבורת עבדת בנזיה מאבני גיר ומעט קרטון, וחולקה ע"י חומר (1988) לשש יחידות:

**E1** - יחידה דרגשית ברובה ומזכוקית בחלקה העליון. המזוק העליון בולט ומאפיין את גג היחידה. הליתולוגיה של גיר לבן עם מעט צור המופיע כנדולות, באופקים דקים, לצורך סלקטיבי של מאובנים ובקורדרוצוליט. הגיר הינו ביוספאריטי בחילופין עם גיר מיקריטי עשיר בנומוליטים ואצודות. עובי היחידה כ-170 מ' וגיליה סוף אוקון תחתון - אוקון תיכון.

**E2** - היחידה משוכבת دق ויזכרת מדרון מתון בניגוד ליחידות המזוקיות מתחתה ומעליה. היא בנזיה גיר לבן ליתוגרפי עם מעט שכבות ונודולות דקות של צור. הגיר הינו מטיפוס SPARSE BIOMICRITE ומכיל שילוב פאונת פלאקטונית ומעט בנזונית. עובי היחידה בנחל אבינדב 110 מ' וגיליה אוקון תיכון.

**E3** - בסיס היחידה מזוק בולט המשמש אופק מנהה. היחידה בנזיה גיר לבן גבישי גס-ברינוני. הגיר השולט מטיפוס PACKED BIOSPARITE אם כי יש שכבות ביןיהם של ביומיקרט. עובי החתך הנחשף במלול אבינדב 56 מ'. בנחל בזק החתך מלא יותם ועוביו עולה על 100 מ'. גיל היחידה אוקון תיכון.

דיוקים בזלתים

במעלה נחל אבינדב (נ.צ. 1921/2065) ניתן לדאות שני דיוקים שכונים 290 מעלות. הדיוקים מטיפוס אלקלי אוליביני בזלת וهم ממוקמים באיזור המרכזי של סדרת הבלוקים המדורגים באיזור נחל אבינדב. קילוח בזלת הכספי בסמור נdag בשלה אתרומים שונים על גבי שתיהן מדרגות מורפולוגיות וממווצע 9 מדרגות העלה גיל של  $0.4 \pm 4.7$  מ"ש. גיל הדיוקים  $0.1 \pm 4.6$  מ"ש. דיוקים מעין אלו של נחל אבינדב יכולים היו לספק את החומר הבזלמי לקילוחי בזלת הכספי.

העתקה

בתצפית נחל אבינדב אנו נמצאים על העתק שכונו צפון-דרום המעיד בגדה הצפונית של הנחל בזלת כיסוי מול חבורת הר הצופים (ציור 10). בגדה הדרומית מועתקדים קילוחים של בזלת הכספי המונחים על קוונגולומרט של תצורת בירה בכמאה מטר. העתק זה יוצר מטלול מורפולוגי ברור מדרום לנחל אבינדב (תצלום 6).

במחצבה שבנחל אבינדב נמדד ע"י חומר שתי מערכות העתקים קטנים:

א. העתקים נורמליים שכונים צפון מערב.

ב. העתקי תזוזה אפקטיב: מערכת شمالית בכורן צפון-דרום ומערכת ימנית בכורן מזרח-מערב. לשתי מערכות אלה חישב חומר שני שדות אמיתיים:

C R E T A C E O U S	U P P E R C R E T A C E O U S		T E R T I A R Y		S Y S T E M	S E R I E S	S T A G E	S U B S T A G E	G R O U P	F O R M A T I O N	L I T H O L O G Y	R E M A R K S	M A P P I N G U N I T S
	S E N O N I A N	P A L.	P A L E O G E N E	E O C E N E									
C E N O M A N I A N ?	S E N O N I A N	P A L.	P A L E O G E N E	E O C E N E	T U R O N	M A A S T R.	L O W E R	M I D D L E	A V E D A T	TAQYE	e ₃	L A M I N A T E D, W H I T E, H A R D C H A L K C L I F F F O R M I N G L I M E S T O N E. B I O S P A R I T E R I C H I N H U M U L I T E S A N D C A L C A R O U S A L G A E.	e ₃
J U D E A	M T. S C O P U S	M I S H	M I S H	M I S H	1000	100						F I N L Y B E D D E D L I M E S T O N E. S P A S E B I O M I C R I T E B E A R I N G S O M E P I A N K T O N I C F O R M A S. R A N D H U M U L I T E S .	e ₂
D E I R H A N N A	S A K H N I N	B I N A	M E N U H A	G H A R E B	900	60						W E L L B E D D E D, C L I F F F O R M I N G, M A S S I V E L I M E S T O N E. S O M E C H A L K Y H O R I Z O N S. A L T E R N A T I O N S O F P A C K E D B I O M I C R I T E R I C H I N H U M U L I T E S A N D C A L C A R O U S A L G A E, W I T H S P A S E B I O M I C R I T E B E A R I N G B E N T H I C F A U N A .	e ₁
D E I R H A N N A	S A K H N I N	B I N A	M E N U H A	G H A R E B	800	0-80						G R E E N M A R L S A N D C L A Y S N O T E X P O S E D R E D D I S H M A R L S A N D C L A Y S	T H I
D E I R H A N N A	S A K H N I N	B I N A	M E N U H A	G H A R E B	700	180						Y E L L O W I S H M A R L	K u g
D E I R H A N N A	S A K H N I N	B I N A	M E N U H A	G H A R E B	600	30						S O F T W H I T E C H A L K	K s
D E I R H A N N A	S A K H N I N	B I N A	M E N U H A	G H A R E B	500	120						M A S S I V E C H E R T A N D C A L C A R O U S P H O S P A T E	K u m i
D E I R H A N N A	S A K H N I N	B I N A	M E N U H A	G H A R E B	400	3-25						S O F T W H I T E C H A L K	K u m
D E I R H A N N A	S A K H N I N	B I N A	M E N U H A	G H A R E B	300	150						N o r t h e r n G i l b o a : C a l c i t i c D o l o m i t e , D o l o m i t e , L i m e s t o n e . S o u t h e r n G i l b o a : L i m e s t o n e a n d C h a l k R i c h i n D i v e r s e B e n t h o n i c F a u n a .	K u b i
D E I R H A N N A	S A K H N I N	B I N A	M E N U H A	G H A R E B	25								
D E I R H A N N A	S A K H N I N	B I N A	M E N U H A	G H A R E B	85								
D E I R H A N N A	S A K H N I N	B I N A	M E N U H A	G H A R E B	100	200						W E L L B E D D E D D O L O M I T E	K u s o
D E I R H A N N A	S A K H N I N	B I N A	M E N U H A	G H A R E B	100	150						F I N E L Y C R Y S T A L L I N E, C A L C I T I C I N P L A C E S, D O L O M I T E B I O M I C R I T I C P O R O S I T Y .	K u s o
D E I R H A N N A	S A K H N I N	B I N A	M E N U H A	G H A R E B	100							M A S S I V E D O L O M I T E F I N E L Y T O V E R Y F I N E L Y C R Y S T A L L I N E D O L O M I T E . V U G P O R O S I T Y .	K u d h

**ציפור 9** - חתך עמומי מרכיב של חברות יהודיה, הר הצופים ועברת במצפה הגלבוע.

Kakhay-HaYarden



צלום 6 - מבט פנורמי על הגירה הצפונית של נחל אבינדר. ניתן להבחין בחברותה הדרומית ועבה, בבזלת הכיסוי ובגרושים אארכוניים. על חבורת הרכזופים צוויים אלוושים על חבורת הרכזופים. כל חבורת עיר,  $\beta$ , E1, E2, E3 - ירידות המיפויו של חבורת עיררת, MS - חבורת הצופים, PC - בזלת היסורי,  $\alpha$  - ריריק, S - גילשה.

א) לחיצה מירבנית אנכית ולחיצה מזערית אפקית בכיוון 151 מעLOT עברו העתקים הנורמליים.

ב) לחיצה מירבנית אפקית בכיוון 318 מעLOT ולחיצה מזערית אפקית בכיוון 49 מעLOT עברו המערכת הצמודה של העתקי התזוזה האפקית.

גלאישות  
גלאישות מטיפוס SLUMPS שכיחות במדרונות המזרחיים של הגלבוע. הגלישות ברובן של סלעי חבורת עברת המחלקיים על גבי סלעי חבורת הר האופים והצורה הורדוס. אוורך הגושים הгалוסים 1000-10-מ' ומה נמצאים על גבי מדרכנות בשיפוע 25 - 15 מעלות, שבמרבית המקורים עוצבו על ידי העתקים. הגלישה במדרון המזרחי של הגלבוע מצפון לנחל אבינגדב מיצגת היבט את המנגנון. הגוש הגלוש בגודל 1 א' 0.5 ק"מ והוא מכסה את חבורת הר האופים, את העתק אבינגדב ואף חלק מתצורות הורדוס ובזלת היסורי (ציור 10 ותצלום 6).

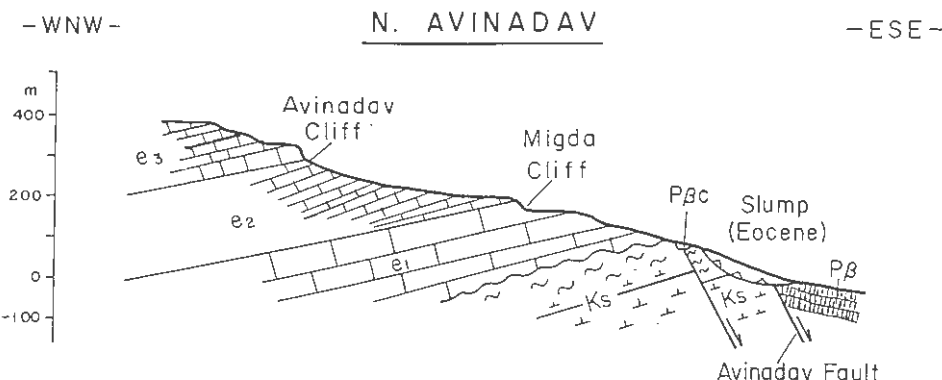
צروف של מספר גורמים במדרונות הגלבוע מביא לשכיחות הגבואה של הגלישות:

א. ליטוסטרטיגרפיה - גידדים מסיביים של חבורת עברת הר האופים על חתך קרטוני חרסיתי של חבורת הר האופים.

ב. נוכחות מישורי סיורוק ושבירה צפופים בסלעים הגולשים בניצב לכיוון המדרון.

ג. שיפורים טופוגרפיים תלולים.

התפתחות הגלישות ממתנת את השיפורים התלולים וממששת את התבלייט המורפולוגוני הקדום.



ציור 10 - חתך רוחב סכמטי בכיוון מזרח - מערב במtalol אבינגדב. למקרה סטרטיגרפי ראה ציור 9.

הנאגרו במלול-פורה.

בדרךת גבי שליב,

רכש.

במלול-פורה, ממערב לדרום הכנרת, נחשף החדר הנאוגני העבה והמלא ביותר המוכר בצפון הארץ. אזור זה, המהווה חלק מהשוליים המורמים של בקע ים-המלח היינו גם חלק משוליו הצפוניים של "האגן הפנימי של הגליל התיכון" (Picard, 1932; Shulman, 1962). הייחדות הסטרטיגרפיות הנחשפות לאוצר מלול-פורה הן: תצורת הורדוס המתאכנת בזרמים של הבזלת המתונגה; תצורת בירה; תצורת גשר ובצמת הכביש (תרשימים 1, 2).

החדר של תצורת הורדוס (תרשים 3), הנחשף בחלק הצפוני של מלול-פורה, מילא קער ("הקער של מגדל - ראש פינה"), שנוצר בשלב של קיימות מבני ה"קשת הסודית". התצורה מונחת בא-התאמה ארכוסיבית וזויתית קלה על סלעים עליוניים של חבורת יהודה ועל תצורת עין-זיתים, מחבורת הר הצופים. חלקו התיכון של החדר (בעובי של כ-420 מ') מורכב מסלעים קלסטיים דקים, בחלוףיו עם קרboneות של מים מתוקים ואופקי קוונגולומרט. הוא הורבד בסביבה נחלית-אגמית עם מקור השפה מרוחק.

חלקו העליון של תצורת הורדוס (בעובי של כ-200 מ') המורכב אף הוא מסלעים קלסטיים, מתער עם העליה בחדר בקונגולומרטים עד שאליה מהווים את עיקרו. אופי החלוקים והרכבים מעיד שמקור אספקתם היה מבנה מוזר, קרוב למדוי, בו היו חסופים סלעים של חבורת יהודה ושל חבורת עברת. חמש אינטראקציות של זרמי בזלת, בעובי 9 עד 40 מ' כל אחת, משולבות בחדר זה של החדר באזורי ואדי קסב (תרשימים 1, 3).

תיארכון הרדיומטרי של הבזלות (Shaliv and Steinitz, 1988) מאפשר קביעת זמני הרבודת תצורת הורדוס כאן מהחל מלפני למעלה מ-17 מ"ש ועד מאוחר מ-12.5 מ"ש.

דרומה יותר, לאורך מתולל-פורה, מתחבות האינטראקציות הבזלתיות על חשבון הסלעים הסדימנטריים שביניהם. בכוoco-הירדן מופיע חתך רציף של הבזלת התחתונה, שעוביו כ- 630 מ' וגובהו 15 עד 9 מ' (Shaliv and Steinitz, 1988).

תצורת בירה מונחת בא-התאמה זוויתית חריפה מעלה תצורת הוזדס, כשהיא גודעת אורה לכ- 110° צפון (תרשים 4) ועובייה כאן מגיע לכ- 120 מ' (Bentor, 1946). היא בנזיה בעיקר מחווארים דולומיטיים למינרלים, העשירים בחומר אורגני, שהורבדו בשולי עמק הירדן בסביבה אגמית מזרת (שולמן, 1962), ברקית עד היפרסילינית (Rosenfeld et al. 1981). היא מלאה Tabliyah שנוצר ב仄ת העתקה חריפה, המתבטאת בהופעה של קונגלומרט אום-סבונה בקרבת העתקים, מדרום לאזור הטויר (שולמן, 1962). גיל תצורת בירה נקבע לפי תיאור דיזומטרי של זרמי "הבזלת התיכונה" המופיעים בתוכה בכוoco-הירדן והינו 7 עד כ- 5.5 מ' (Shaliv and Steinitz, 1988).

הופעה של דרגש בנזיה מאוסטרואות (המגדירות סביבה אטנוארית), בקרבת בסיס התצורה בצפון מתולל-פוריה (תרשים 2) מצביעה על חדרה ימית שהגיעה לאזור זה לפני 6 עד 7 מ'. קומפלקס של אופק זה לאופק ציפות ימות, שנמצא מזרחה לתבור ובאזור כפר-יחזקל (שולמן, 1962) מעלה לבזלת התחתונה, אשר גילן קדום לכ- 2.5 מ' לפיו תיאור בזלת המונחת מעליים, מחזק את ההשערה שדרירתם הימית ממערב.

תצורת גשד מונחת בא-התאמה אדרוסיבית על גבי תצורת בירה (שולמן, 1962; ניסנאום, 1964) כשבינהן אופק דק של אבן חול גירית. עובי המירבי של התצורה כאן הוא 110 מ' (Bentor, 1946) והוא בנזיה מקירטון, גירים אוואלייטיים וסלעים קלסטיים המורכבים בעיקר מתוצרי בליה של סלעים וולקניים. היא הורבדה באגם של מים מתוקים (Picard, 1932; Bentor, 1946; Shulman, 1962).

נראה שתצורות בירה כיסתה ששחמים נרחבים בתחום האגן הנאוגני, מעמק-יזרעאל במערב ועד לבקע ים-המלח, ואילו תצורת גש, שנמצאה דק בשולי עמק-הירדן ובמרכזו עמק-חרוד, הורבדה לאחר שלב של שקיעה מאוחרת לתוכה תצורת בירה בבקע ים-המלח (שליב, בהכנה).

תמונה כללית המצטיירת לגבי התפתחותן של "האגן הנאוגני של הגליל-התחתון והעמקים" (שליבר, בהכנה), הינה של אגן שוכן שחל להייתה ולכBOR בתוכו בצלות שבות החל מלפני 16-15 מ"ש, במוקן התיICON. שקיUTנו של האגן, SCIUNNO מערבה צפון-מערב, ניצב לבני הקימות של ה"קשת הסורית" ואלכסונית לכיוון קע ים-המלח, לוותה (מאוחר ל-15 מ"ש) בהעתקה נורמלית חזקה, שיוצרה בחלקו המערבי את הגרבן של עמק-ישראל ויאלו במדרון התבטאה ביצירת בלוקים נטוויים לדרום, ביניהם הבלוק של מתול-פורה.

הרבדת סדימנטים הנחליים-אגמיים של תצורת הודדות, אשר חלקה התחתון קדם לאזרמי הבזלת-הקדומים ולתחילת העתקה, החלה מוקדם יותר מתחילה שקיעתו של אגן הגליל-התחתון והעמקים, כבר במוקן המוקדם. תחילתה מולא התבלייט שהוא קיימ מקודם ובהמשך הורבדו הסדימנטים על גבי מורפולוגיה שטוחה, על פני שטחים נרחבים בכל מזרח הארץ, אך לא במרכזו אגן זה שהתרMAL בצלות.

בעקבות שקיעה נספת של מרכז האגן במשר המוקן המאוחר, עם התהדרות פעילות העתקה, התאפשרה חDIRת הים מזרחה והצפת האגן כולם באגמים בהם הורבדו תצורות בירה וגהר. בתקופה זו ועד לתחילת הפליאוקן הימה שקיעה מהירה מאד בחלקו המזרחי של האגן המזרחי בתחום בקע ים-המלח, אשר התמלא בסדימנטים אגמיים-אוופורייטיים עבים. בראשית הפליאוקן הייתה פעילות וולקנית נרחבת והאזור כולם כוסה בזמרם בצלת היקסוי אשר חלקה התחתון מתאצט עם סדימנטים של תצורת גשר בתוך קע ים המלח ובאזורים מצומצמים בשוליו.

#### הטיור

נושא הטיור הינו הכרת החדר הסטרטיגרפי הנאוגני באזור מתול-פורה ויאלו וכן תופעות שבירה והטיה מקומיות, אשר תיארכן מהזוה אינדישור לתיארו שלבים בטקטוניקה שעיצבה את האגן הנאוגני של הגליל-התחתון והעמקים.

תמונה 1 – ליד מלון גני מנורה, (נ.צ. 2412/2022).

א. תצפית מחוץ הבניינית מערבה, לעבר החדר החשוף של צורת הורדוס, בקטע שבין הר-ברוניקיה בצפון לאדי-קסב (העובר ליד מלון גני מנורה) דרומית. בצפון דואים את שולי המחצבה בהר-ברוניקיהbove חשופות התצורות הקדרטיקזוניות סכזין, בעינה ועין זיתים, הנטויות לדרום. מעל ליחסות אלה מונחות שכבות של צורת הורדוס בא-התאמאה אדרסיבית וזוויתית קלה, שבו נטויות לדרום-דרום-מערב. חלקה התחתון של התצורה ("הפרט האגמי") הבונה את חלקו התחתון של המתול, מורכב משכבות של סילטים, אבני-חול קרboneיות, עם דרגשי ביניים דקים של גירים ליתוגרפיים וקונגלומרטים קתני חולקיים. הופעתה הכללית רכה וחשיפה ארוזה עקב גליות רבות. עובי החדר עד לזרם הבזלת התחתון, המופיע מתחת המתול באזור אדי-קסב, מושך בהתאם לנטיית השכבות בכ-350 מ'. בהמשך החדר של צורת הורדוס – שעוביו מכאן והלאה כ- 370 מ', מופיעים באזור זה עוד ארבעה זרמי בזלת (תרשים 2 ו-3). חלקו העליון של החדר (שלא ניתן להבחין בו) מאזור זרם הבזלת העליון מורכב בעיקר קונגלומרטים.

דרכמה מכאן הולכים ומתרבים זרמי הבזלת והסידמינאים שביניהם הולכים ומתרמשים בחדר, כך שכורך הכביש העולה לאכסנות הנוצר פוריה, החדר החשוף עד לתצורת בירה, כמעט כולם בצלתי (נבחין בקר בהמשך הסיר, כמפורט לעבר תמונה 3).

ב. ליד גדר מלון גני מנורה – תצפית אקרוב על משופף טרי של שכבות "הפרט האגמי" של צורת הורדוס, הכוולות סילטים ואבני-חול קרboneיות אדרסיות, גירים ליתוגרפיים, פוארים ומיקרוקונגלומרט.

תמונה 2 – מבט מזרחה על אזור הר-ברוניקה, (נ.צ. 2426/2012).

יוזג העתק SCI1111 נס-230, המודיע את הבלוק שמיצנו ומעמיד שכבות עליונות של צורות הורדוס, הכוולות את זרמי הבזלת השני והשלישי, מול שכבות של חבורת יהודה, (תרשים 4) כשזריקתו האנכית משתכמת בכ-300 מ' לפחות. הבלוק הירוד גדועה מצורת הורדוס על ידי צורת בירה כ-100 מ' מעל לגג זרם הבזלת השלישי, בעוד שבבלוק

העלוי, סמור להעתק, גודעת תצורת בירה שכבות קדומות לזרם הבזלת והתחтоן (ר' תרשימים 4).

תופעה מעניינת שהובחנה בבדיקה הקונגלומרטים כאן היא שחלקם התחтоן מורכב מחלוקים מעוגלים הייטב של סלעי חבורת יהודה ואילו חלקם העליון – מחלוקים מעוגלים הייטב של גיר מחבורת עבדת וחלוקי צור. היינו מצפים שדווקא בחלק התחתון יהיו חלוקים מסלעים עתיקים יותר. הסבר אפשרי לתופעה זו הוא בהספקת החלוקים ממזרחה כאשר כתוצאה מתנועת הפלטה המזדרחת צפונה, היה שינוי עם הזמן במקור החלוקים לאזורינו (שהיה אולי מהאגף הדרכומי של קמר החרמון ומאוחר יותר מהקער שמדרום לו).

ניתן ללמידה כאן (לפי תרשימים 4) על פיעולותו של העתק במספר שלבים:  
א. העתקה אנכית של 250 מ', לפחות, פרה הרבדת תצורת בירה, לפי השוני בעומק הגידוע משני עברי העתק. ימכן שחלק מההעתקה היה בזמן הרבדת תצורת הזורדים.  
ב. העתקה פוטט. תצורת בירה – לפי העתקת בסיס תצורת בירה, בכמה עשרות מטר.

**תחנה 3 – לאודר דרכ האקסגניה, בחצי ק"מ מצפון לאקסגניה הנושב,** (נ.צ. 2397/2017).  
משמעות של תצורת בירה בצד הדרק. משלש אופני לנצח, כולל חזוארים ירקרקים למינריים עד ורווזיים ששכנעו בסייעת אגדית מזוירת.

**תחנה 4 – אופק האוסטרואות בחלוקת התחтоן של תצורת בירה,** (נ.צ. 2424/2002).  
מבט מקרוב על אופק של אוסטרואות, בעובי של עד מטר אחד, המונח כאן מעל לאופק חלקים בתווך חתך חזוארי של תצורת בירה. אופק זה מהוווה עדות לחידרת הים עד לאוזור במיזוקן העליון (הרחבת דאה ברקע, לעיל). כיוון שהמשמעות מצומצם, אז המעניין מפיגועה בו!

**תחנה 5 – מחצבה באוזור טבחה,** (נ.צ. 2535/2002).  
כאן נחשף קונגלוומרט בעובי של כ-40 מ' הממלא TABLET על גבי סלעים של גיר בד-כוכבא מחבורת עבדת. חלקו התחתון של המחשוף מורכב מكون גלאומרט מלודק הייטב, של חלקים בלתי ממוניים. עיקד החלוקים נגזרו מגירים מגיל קרטיקון תחתון וחלקם

מאבני-חול האופיניות למצוות חתירה זהם מעוגלים היטב. מופיעים גם מעת חלוקי בצלת בלואה ביוטר וחלוקיים אדולרים, מזותמים, של גיר חבורת עבדת. תידון כאן ההשאה שמקור החלוקיים היה הקמר של המרמון, אשר היה בזמן הרבדת הקונגלומרט, קרוב לאזור, מזרח לבקע ים-המלח. זאת, כאשר האפריזות שкамר מרכז הכליל היוו מקור לחלוקיים אינה סבירה, לאור העובדה שלשי חבורת כורנוב לא נחשפו בו בתקופה ההיא וכן לפי ציוני הניקוז שהיו קיימים אז (גולני, 1957).

#### ספרות

ברטוב, י., 1964. תרגיל במיפוי יחידים. אזור חמיה טבריה. האונ' העב', ירושלים.

גולני, א., 1957. הגיאולוגיה של אזור מדר. עבודת מוסמך, האונ' העב', ירושלים.

ニיסנברג, א., 1964. הגיאוכימיה והפרטוגרפיה של תצורות פוריה ודגניה במצוק פוריה. עבודת מוסמך, האונ' העב', ירושלים.

שולם, נ., 1962. הגיאולוגיה של עמק הירדן המרכזי. עבודת דוקטור, האונ' העב', ירושלים.

שליב, ג., בדינה. שלבים בהתחנות הטקטונית והוולקנית של אגמים נאוגניים יבשתיים בצפון ישראל. עבודת דוקטור, האונ' העב', ירושלים.

Bentor, Y. K. , 1946. The hydrological conditions of the area Tiberias - Kinneret- Yavneel - Hadata - Kefar Kama - Lubiya, Unpublished report Palest. Water Co., 76 p.

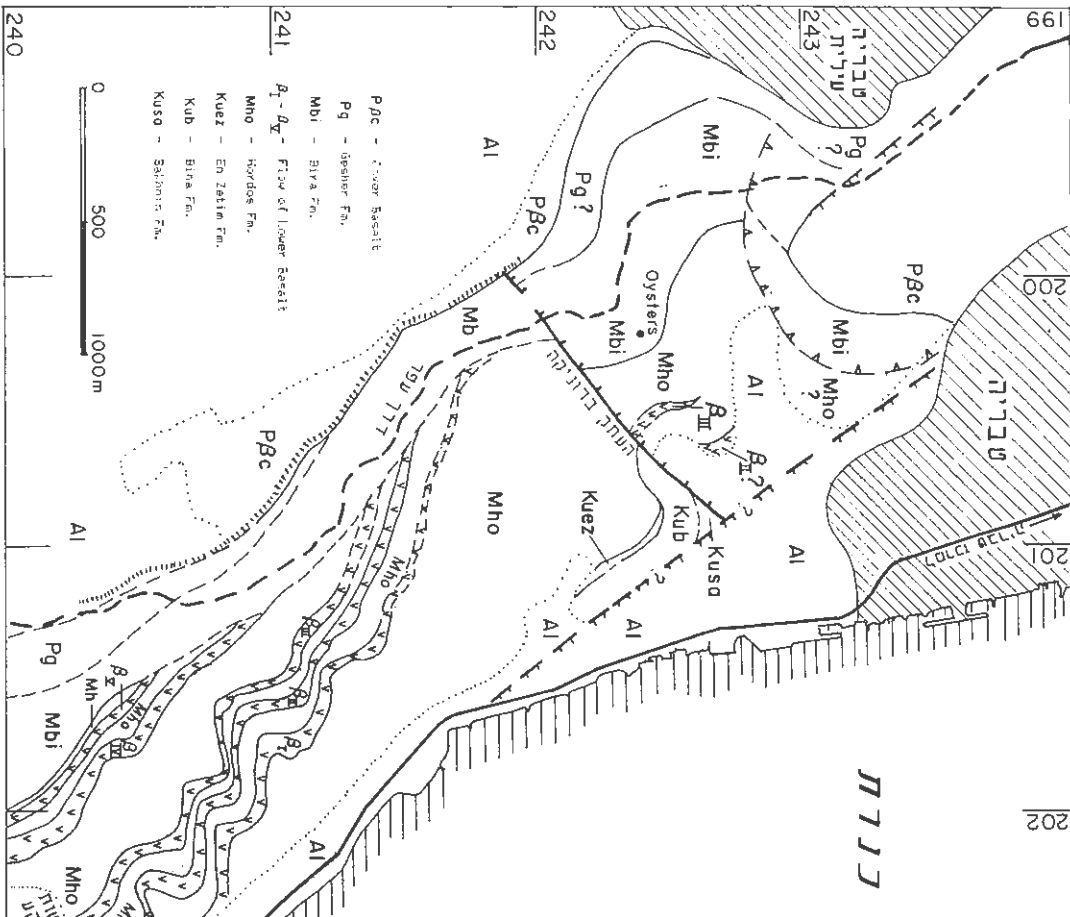
Picard, L., 1932. Zur Geologie des mittleren Jordantales. Zeitschr.  
Deutsch. Pal. ver., vol. 55, pp. 169-236.

Rosenfeld, A., Segev, A., Halbersberg, E., 1981. Ostracode Species and  
Paleosalinities of the Pliocene Bira and Gesher Formations. (North-  
western Jordan Valley). Isr. J. of Earth Sci., vol. 30, pp. 113-119.

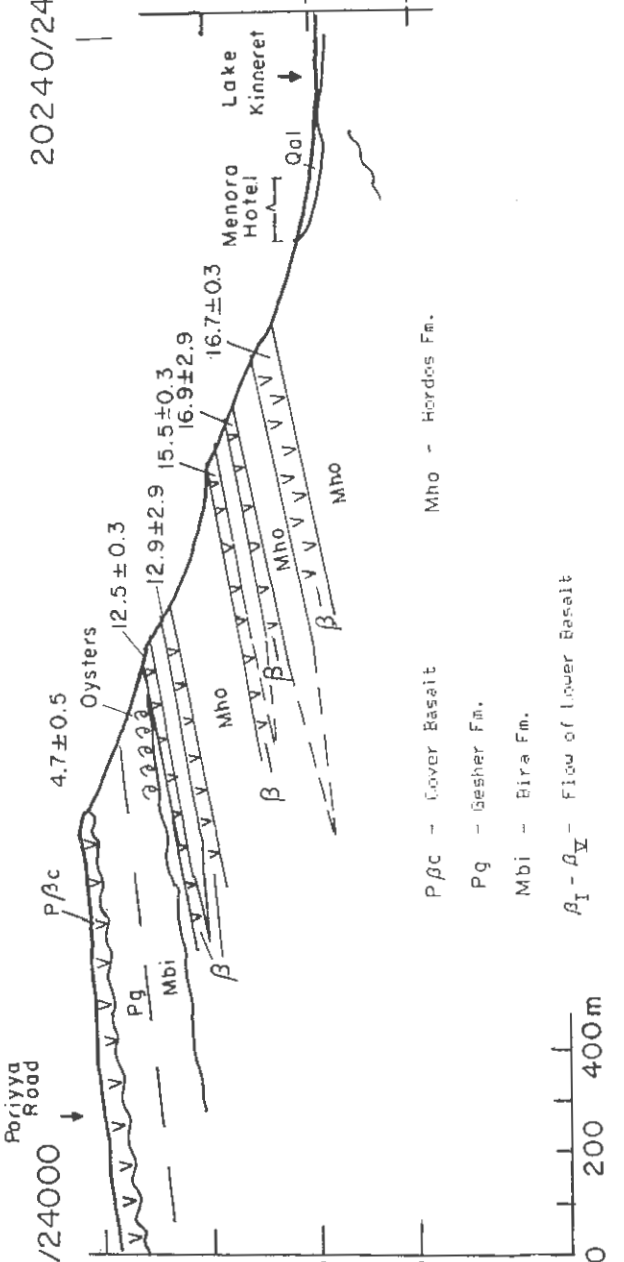
Shaliv, G., Steinitz, G., 1988. K-Ar Ages of Lower Basalt, Intermediate  
Basalt and Cover Basalt in Northern Israel. Curr. Res., Geol. Surv.  
of Isr., vol. 6, pp. 22-28.

Schulman, N., 1966. The Cross Faulted Structure of Tiberias. Isr. Jour. of  
Earth Sci., Vol. 15, pp. 165-169.

# ל ל ע

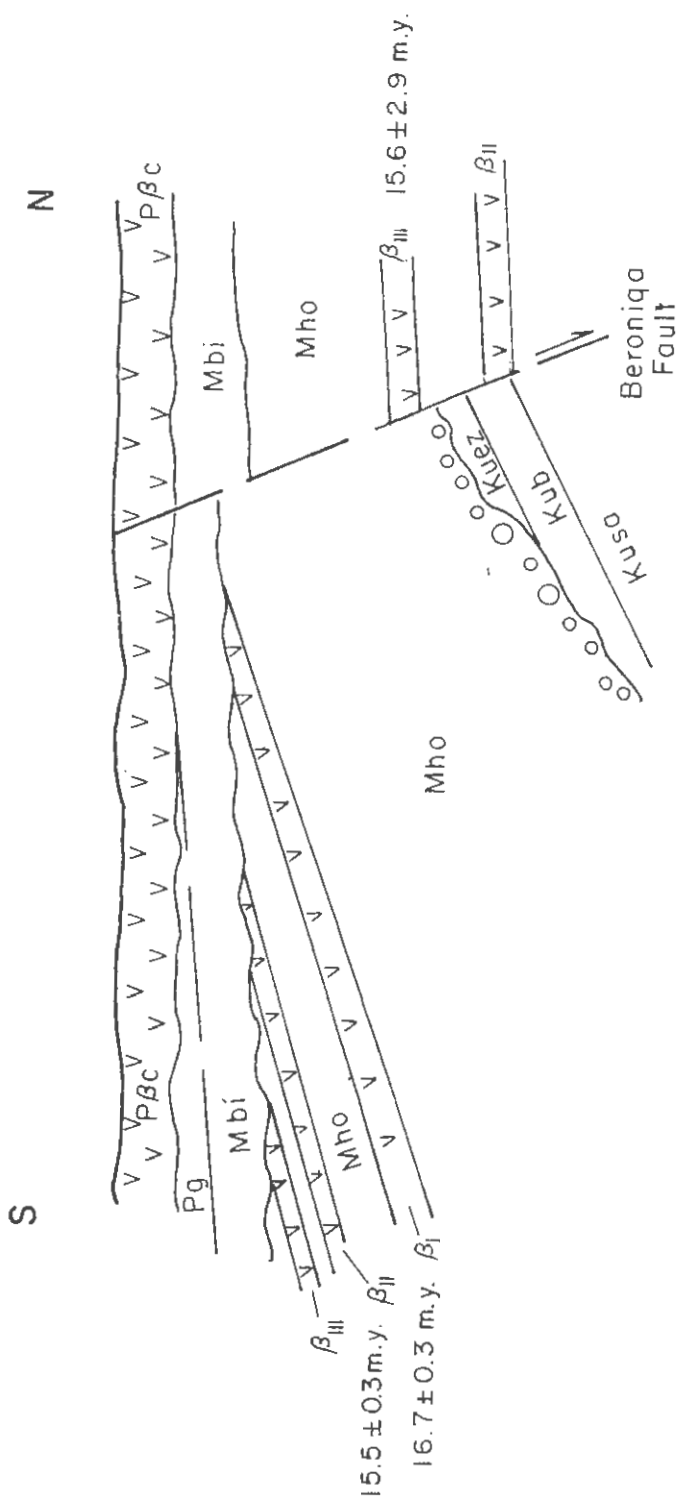


תרשים מס' 1:  
תמרה גיאולוגית, מפה גיאולוגית, אזור מלחול פוריה.  
(חלקה בעקבות בוטוב 1964 ו-SCHULMAN 1968)  
מקרה מס' 2: תרה תרשימים.



תלול, דן : תלול גיאומילני, מיל-עליל, תלול תקיה-ענין. אסלאם FR, מילון.

תרשימים 3: חישוב שטח תצורת הורדוז במתלול-פוריה.



תְּלַבְּשָׂה 4 : תְּמִימָן אֶכְעָנָה, כָּבוֹד מִזְרָחָ-פָּרָטָה, צָהָרָה יַמָּ-גְּדוּלָה וְקָדָם. (אַלְמָן דָּרָה בְּתַדְבִּיר)



Geological column diagram overlaid on the photograph:

P ₁ -P ₂	Mho - Cover Basalt
Pg	Kuez - Gasver Fm.
Mbi	Kub - En Zetis Fm.
P ₁ -P ₂	Kuso - Blina Fm.
	Kj - Sakyonin Fm.
	Kj - Juoba Group, undifferentiated

תַּחֲנוּן תְּמִימָה עַל הַר וְרוֹנֵה.

### טיור למרבצי הגבס בצפון מערב עמק הירדן

#### ו. מורג, קיבוץ גשר

שכבות הגבס באזורה צפון מערב עמק הירדן (גשר, מנחמה) מהוות את הפרט העיקרי של תצורת חואר בירה מגיל פליוקן (ראה ציור 1). הופעת הסלעים האוופוריטיים בחומר תצורה זו מסמלים את שלבי החרירה הימית הפליאוקנית.

על תצורת חואר בירה הורבדה תצורת גשר הבולטת בנוף בצדעה הבahir (ראה ציור 2). סלעי תצורת גשר, ברובם גירריים, שקוואו באגמים ברקירים, אגמים אלו הפכו מאוחר יותר למתוקים דבר המעיד על סיום החרירה הימית. במקביל להרבדת תצורות אלו התרחשה פעילות וולקנית עזה; זרמי הבזלת (הבזלת התיכונה INTERMEDIATE BASALT) קלחו בזמן הרבדת תצורת חואר בירה. הפעולות הוולקנית הגיעו לשיאה, עם סיום הרבדת תצורת גשר, בזרמי הלבה של בזלת הכסוי (COVER BASALT).

מספר צורות הופעה אופיניות לגבס מתוצרת חואר בירה:

#### 1. שתי שכבות הגבס:

א. גבס למינרי ורוד באסוציאציה עם חואראים ודרולומיט, (השכבה התחתונה).

ב. גבס גבישי, אפור כהה ; מטראיכס חריסתי, (השכבה העליונה).

2. שכבות ותרכיזי גבס בחילופין עם חרסיות וחואר.

3. גבס מסיבי, עם מאסף מנרגובי מיוחר, באסוציאציה עם חרסית ירוקה בתחתית השכבה ומעליה ובسمיכות לסליל בזולי.

אי הרציפות בהופעת שכבות הגבס נובעת מהעתקה אדרישה שהיתה באזורה זה בתקופה מאוחרת להשקעת הגבס וכן מאיכות מחשופים גרוועה.

בטיור זה נכיר את צורות ההופעה המיוחדות הללו וננסה להבין את המנגנונים שהביאו לייצרתם.

תחנה מס' 1

מחצבת דבריר, נ.צ. – 7389061400 נחל חgal

בתחנה זו אנו פורגים את הגבס בהופעתו השכיחה, בשתי שכבות:

– שכבה תחתונה – גבס למינרי, לוחי, ורוד, לבן, עובי 5-1 מ'.

– שכבה עליונה – גבס אבישי, סלניריטי, אפור כהה, גבישים גROLים (כ-10 ס"מ), המטראיכס חרסיטוי, בהיר; עובי השכבה 6-5.0 מ'.

המאפיין את התחנה זו אלו הם יחסית השדרה המיוחדים בין הגבס לסלעים האחרים, אשר יוצרים נוף מיוחד מיוחד באזורה זה.

בין שכבות הגבס מבחניים בדולומיט, צהוב עד לבן, קל מאוד, פורוזי, הגירוסקופי, בעובי של עד 10 מ', דולומיט זה (זוהה בשקף כבעל גבישים קטנים מאוד) הוא חלק מהיחידה האופורטיטית שבצורת חואר בירה. מבנהו המיוחד מעיד על תנאים נוחים להפתחות מהירה של הרבה מרכזי גידול לייחידת שטח בתקופה יחסית קצרה.

על לדולומיט רבודה שכבת הגבס ב' – אפור כהה, גבישים גROLים (10 ס"מ). הגבישים שקופים בעלי צורת גידול אידיאלית (TAIL SWOLOWS).

מעידם על תנאי השקעה וגידול נוחים מאוד.

על שכבה זו רבודות השכבות הגירניות של צורת גשר כפי שהוגדרו ע"י (שולמן 1962) ייחדות אלו מסווגות בזורה בולטות את. סיום המשטר הימי, ובאגן שכבת הגיר האואוליטי.

נוסף לכך אלו ניתן בתחום זו להתרשם מן הגלישות המרשימות של הייחידות הללו כפי שהוא מתבטא בשכבות הגבס המונחות בתחום הוואדי (נחל תלג).

בדרכו היורדת אל הכביש נבחין בהעתקה החריפה שעברו התצורות, (כמעט 90 מעלות) באזורה המהווה את השולטים המערביים של בקע הירדן.

תחנה מס' 2

מחצבת הגבש מנחמיה נ.צ. 73875/61620 נחל אנקור - (ציור 3)

התכורות הנחשפות באתר זה הן: תכורת חואר בירה, ותכורת גשר. הגבש שמתגלה לעינינו כאן, שונה בתכלית השינוי מהגבש שהכרנו בתחום הקודמת והוא מגיע כאן לעצמה של עד 30 מטר. הגבש מסיבי-אפור לבבן, כחלל וגבישי מאורכים (2-1 מ"מ). עימיו מופיעים מגנטיט (1-3 מ"מ) ומינרלים מיחדים (הידרוגרוסולר, דיוופסיד ואחרים) שהוגדרו ע"י ניסנbaum (1972 ET AL NISENBAUM).

בתחתית שכבת הגבש ובצורה לא רגולרית מופיעעה עדשת האנהידרייט - צבעו אפרפר, כחלל, הוא גבישי (3-1 מ"מ) וקשה; מגנטיט נמצא בהופעה לא מסודרת.

בחלק הרומי של המחצבה ניתן לראות את החרסית הירוקה עוטפת את הגבש מעל ומתחת.

בחלקו הצפוני של האתר זה מונח על גג הגבש סיל בזלת, שחורה, אדרמלה, עם גבישי-זאוליט לבנים, שייר לבקת תיכון (שולמן 1962).

מנגנון

לאחר הרבדת הגבש פעלו באיזור זרים הידרוטרמליים אשר בהגיון הגיעו עם הגבש גרמו לו להתחום וכתוואה מהחום הרב ששרד הוושקע מחדש אנהדריט ולא גבש (שגב 1979), מאוחר יותר בשל מגע רצוף עם מיר תחום עבר האנהדריט תהליך של רההידרטציה והփר לגבש.

עדות מסיימת למחשבה זו נצפתה ע"י שגב ומורגן 1979. כתוצאה ממחקר במחצבה נתגלתה מערכת המסה גדולה שפלטה אדי חום עוד זמן מה אחרי כן. והסבירה לכך הייתה רההידרטציה של האנהדריט שגרם לפלייטת החום. תצלום א.א. שנעשה באיזור זה באותו הזמן הראה כתמים בהירים אשראמתים הנחה זו.

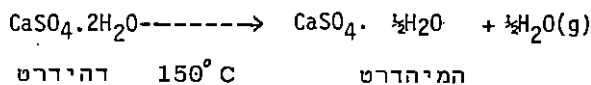
מחנה מס' 3

מפעלי הגבש

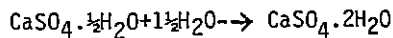
הפעל הגבס גשר מייצר יותר משלו שרים שנה מוצרים במרקון משטנה, בעיקר עבור ענף הבנייה בארץ.

משנת 1986 החל המפעל לייצר מוצריים על בסיס גבס לסקטוריים נוספים כגון התעשייה החקלאית, הסקטור הרפואי (קיובע שבריים, רפואיים, רפואת שיניים), דבקים ועוד. בשל היות המפעל יצרן מוצריים על בסיס מניל שבעי, ישנה חשיבות ראשונה במעלה לשלב יצירת המוצר הבסיסי.

לפיכך תהליך ייצור הגבס כמפורט (לאחר חטיבתו, דאה ציור 4) הוא הפיכתו מרדיידרט, לצורה הפעילה - המיררטן:



המיידרט, חומר לא יציב, אנרגטיית, כתוצאה מאיבוד המים הקשורים עם חשיפה מחדש למים חופשיים מתרחש אצלו התהיליך הבא:



שתי שיטות לשריפת הגבס:

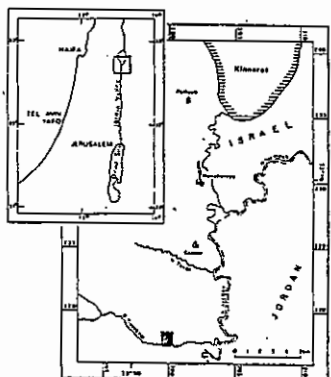
1. תנור סובב. בשיטה זו חסוך הגבש לאוריר החופשי ומוחומם באמצעות אש על פני המיכל הסובב. גבס זה נקרא גבס  $\beta$
  2. אוטוקלב. הרזאת המים בשיטה זו נעשית באווירה מבוקרת של חום ולחץ וזוatta מושגים ע"י חיים באמצעות קיטור. גבס  $\alpha$

שני תהליכיים אלו כותנים, המידרת אשר שונה בתכונותיו הבסיסיות והעיקרית שביבניהם היא החזק המכני. יוצר מוצרים על בסיס גבס (המידרת):

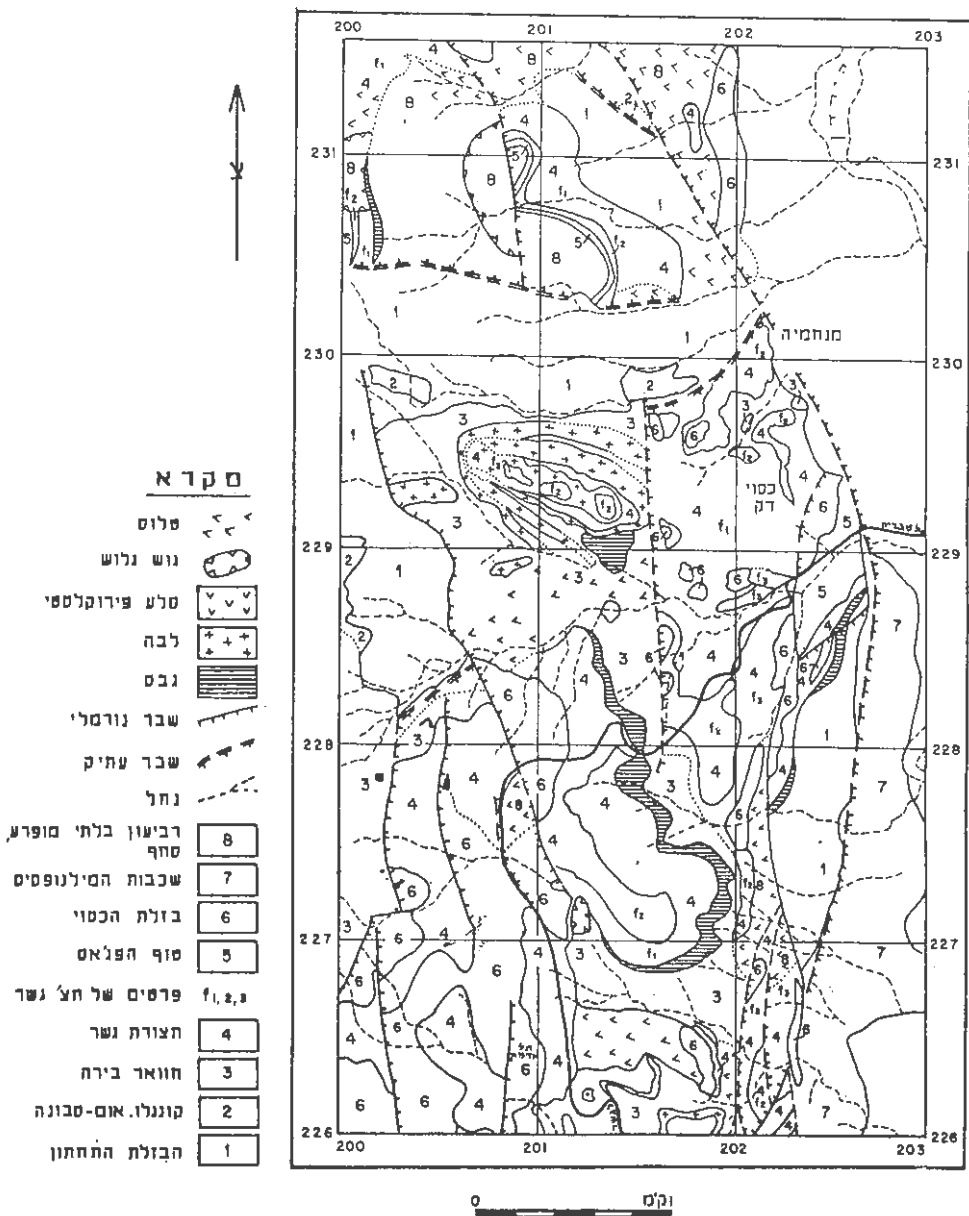
את הגבס שהתקבל מתהליך השרייפה מעורבלים עם מוספים אורGANINIIM ואנאורGANINIIM אשר מקנים לו את התכונות הנדרשות בהתאם לסוג המוצר. בשל הרות חומר הגלם מינרל טבעי, ישנן מספר בעיות בתהליך הייצור:  
א. אחידות, מכיוון שהגבס הוא משקע אופורטוני אין אחידות מלאה בין כל המרכיבים לרוחב השכבה כולה ולכן יש להקנות באמצעות מוספים תכונות שונות ע"מ להגיע לאחידות המבוקשת.  
ב. צורות הופעה שונות, מקשות ולעתים אף לאאפשרות ליצור מוצרים על בסיס גבס.

בשל גורמים אלו ונוספים החיפוש אחר מרכיבי הגבס הנוספים הופך להיות בעיה קשה ומורכבת. גם, אם נמצא מרכיב יש להגדירו בצורה מאוד מדודקת בשבייל שניית יהיה להפיק ממנו את חומר הגלם הדרוש.  
אחד מן המרכיבים החשובים ביותר הוא, החומרים המזוהים אשר נמצאים בחומר, חומרים אלו יכוליםים לקבוע האם המרכיב ישמש כמקור חומר גלם. לדוגמא: מרכיב המכיל מעל חלקי האחדז סיליקה ( $SiO_2$ ) גורם לשחיקה מאוד קשה של מערכות הטחינה, ופосל אותו כموען מתאים ליצור גבס קרמי.  
אפשרות נוטפת, תחולת תחמושת ברזל ( $Fe_3O_4$ ,  $Fe_2O_3$ ) מוגנת לחומר גורן אפור כהה עד שחור, ובזאת פוטל אותו לשימוש לרפואת שיניים או בתעשיית הבניין.

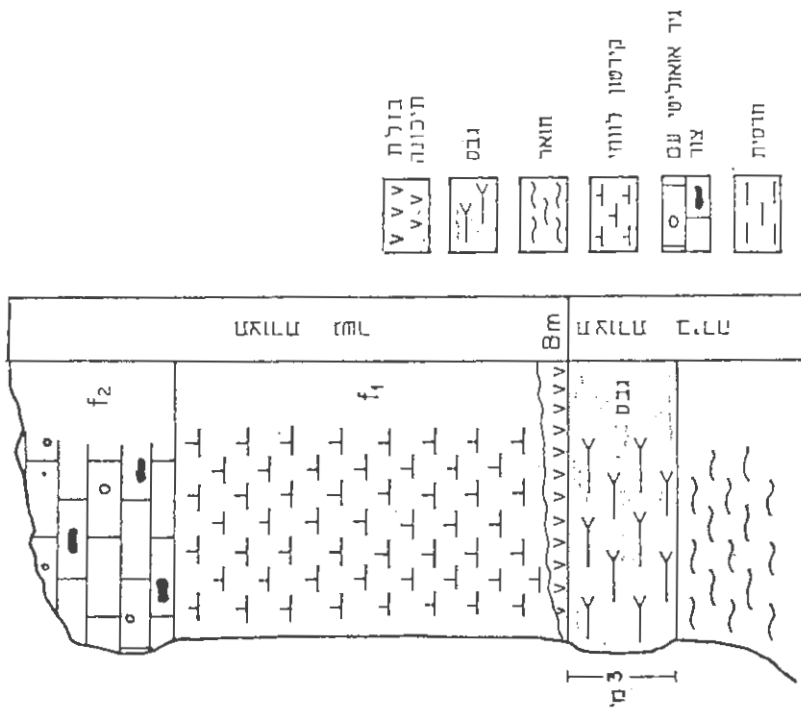
בטים, הגבס הוא מוצר שכיח ברוב מדינות העולם ודוקא בשל כך מוחיבים יצרכי הגבס בארץ לאמות מידת מודד קפדיות בבחירה מקורות חומר הגלם, ע"מ לאפשר עמידה בתרומות הקשה.



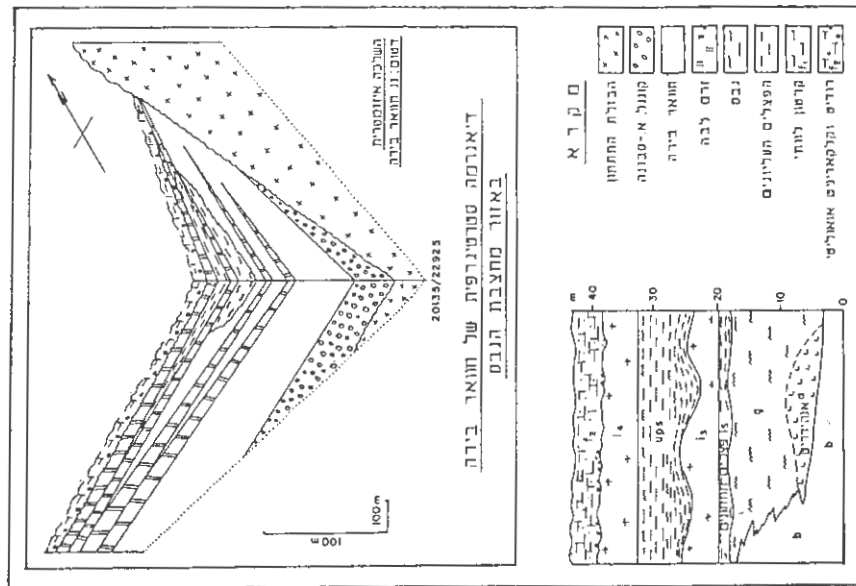
מפת מיקום



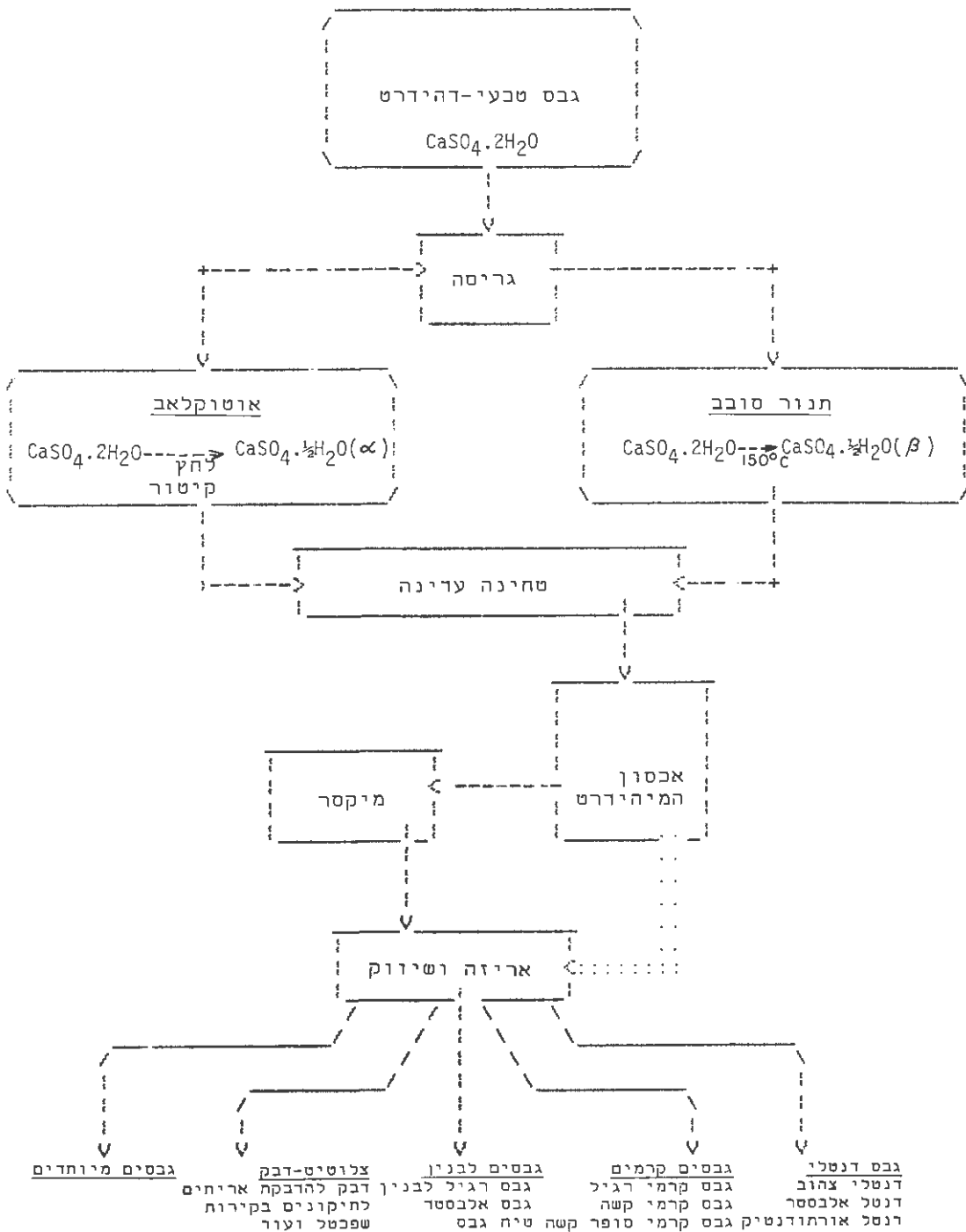
ציור 1. מפה גיאולוגית של אזור גשר-מנחמה (העתקה מתוך שולמן 1962)



ציור 2. מבטו הפטריגרפי של הגבם באזור גשר (בשנות אדריכלית ב-1961).



ציור 3. ליארמה סטרטיגרפית וחתך באזור מחצבת הגבם (מתרן שרמן ב-1962).



ציור 4. תרשימים זרימה של המפעל.

### תכנית סיור: תצורות מנו הפליסטוקן הגליציאלי בעמק הירדן התיכון

א. הזרוביץ  
אוניברסיטת תל אביב

תצורות מנו הפליסטוקן הגליציאלי בעמק הירדן התיכון - אגמיות, נהרות, וולקניות וקרעניות - כוללות בחבורה הירדן ומונחות על גבי קומפלקס של סלעים וולקניים וקלסטיים מנו הפליסטוקן הפלגלאיציאלי (או הפליאוקן המאוחר, תלוי בטרמינולוגיה המודפת) של "חולות מלך סדום" או COVER BASALT³ COMPLEX, אשר הצברו באיזור עוד בטרם שלב השבירה הלוגנטיבי שיצר את עמק הירדן בצורתו הנוכחיית, כאגן ניקוז פנימי.

עמק הירדן התיכון היה תת-אגן עצמאי במהלך הקדם של הפליסטוקן הגליציאלי, לפני כ-500,000 שנה ועד לפני כ-250 שנה. בקידוח צמת 1 נחדרה כל הסדרה, פלינזוניים VII - VIII, ואילו במחשופים מוכרים רק תצורות פלוביון-לקוסטוריות אשר הורבדו בתקופות לחות, אשר האגמים התפשטו על פני שטחים נרחבים בתחום האגן - תצורת ארק אל-אחמד (פלינזוני VIII) ותצורת עזיבידיה (פלינזוני VII).

על תצורת עזיבידיה הירדן זרמים של בצת הירמוך.

בתקופות היישנות (פלינזוניים VII-VI) נוצר רק אגם מצומצם בשטחו במרכז האגן, וצדינתיים של תקופות אלה ידועים רק מקידות צמת 1. שאר השטח היה נתון לארכוזיה.

שיבידה מאוחרת לבצת הירמוך גדרה להטיות ניכרות בתצורות ארק אל-אחמד וعزיבידיה במחשופיה הטיפוסיים, ואיחדה את תת-האגן של עמק הירדן התיכון עם זה של ים המלח. כמו לפני זאת, סדייניטים של תקופות יישנות שבמהלכן היה רוב השטח נתון לארכוזיה ידועים רק מקידות (פלינזוניים VII-VIII). בתקופה הלהה שבה לאחר עזיבידיה, פלינזוני VII, גרם הקשר הטוב עם ים המלח ובנרגאה גם עופחה של האחרון לכך שעמק הירדן התיכון לא כושא באגם, אלא התפתחה בו מערכת נרחבת של נהרות ומישורי שיטפוני שכורביה קומפלקס של

**קונגלומרטים וקרחנות - תצורת נהריים.**

בין תצורת נהריים לבין התצורה של התקופה הלהה הבאה ~ פליינוזון XIX ~ ידועה הטיה מסוימת ובו מופיעים זרמים של בזלת רcade. בתקופה XIX כוסה האיזור פעמי' נסافت על ידי אגם הלשון, ולקראת סוף התקופה להה זו חלה פזת שבירה נוספת אשר יצרה את האגן הצפוני של ים המלח מדרום ואת הבנרת מצפון. ההתיישבות שחלה לפני שנים בודדות לאחר מכן לא אפשרה לאגם הלשון להתחדש והותירה את האיזור בצורתו הנוכחית.

**תחנות הסיור:**

1. תצורת ארק אל-אחמד
2. תצורת נהריים, בזלת רcade ותצורת הלשון
3. בזלת הירמוך (ארוחה ורחצה קלה למעוניינים)
4. תצורת נהריים ותצורת הלשון
5. תצורת עוביידיה

**אזהרה:**

אין לדת מכבים אלא במקומות שבהם ניתן אישור מפורש, שכן חלק מן האיזוריים הקרובים לתחנות ממוקש!

Table : Quaternary stratigraphy of the Dead Sea Rift

### אי התאמות בתבורת הר הצופים בגולן

יעקב מירון, המכוון הגיאולוגי

הטיור מתבסס על עבודותם של י. מירון, י. דרומן, ש. מושקוביץ, ל. פרליס-גרוסוביץ וע. סנה שפורסמה בעיתון היישראלי למדעי האדמה בשנת 1985.

מטרות הסיוור לצפות באיזה התאמות שבין תצורת ע'רב לתצורת מנוחה בנחל עורבים ובזו שבין תצורת ע'רב לתצורת דיר חנא בחלוונות שמיר (ציור 1).

### נחל עורבים

הירידה למחוזי חבורת הר הצופים בנחל מהעיקול החדר בכביש אונן - וסט (ג.צ. 2127/2828).

אחד ה"חולונות הסדרימנטריים" בצפון רמת הגולן הינו זה של נחל עורבים (ג.צ.מ. 2135/2830) הנחל יוצר קניון عمוק בזרימתו אל עמק החולה וחושף מתחת לכיסוי הסלעים הולקניים של תצורת גולן סלעי משקע מחבורות יהודה, הר הצופים ועבדת. העובי החשוף של חבורת יהודה 170 מ' שביהם מאה מטרים בעיקר דולומיטים של תצורת סחנין, ו-70 המטרים העליונים - דולומיט חווארי וגיר ליתוגרפי של תצורת בענה.

העובי הכללי של חבורת הר הצופים בנחל עורבים 48 מ' והוא מתחלקת לתצורות מנוחה, ע'רב וטקה (ציור 2).

עובי תצורת מנוחה 18 מטר והוא מורכבת מקרטון לבן, מסיבי וסדרוק שגילו סטונון-קמן. התצורה גדועה ומכוסה ע"י שכבה קרונגלאמרט בעובי 30 ס"מ הבנוי מחלוקים מעוגלים היבש בגודל ממילימטרים אחדים עד 5 ס"מ. החלוקים של גיר ודולומיט מחבורת יהודה וקרטון וכור (מיישן) של

חברות הר הצופים. הליכוד קרטון חום-צחהב עשיר בגלואקונייט. עשרים הסנטימטרים העליוניים של תצורת מנוחה מכילים נברות רבות הממולאות בחלקו ע"י קונגלומרט ובחלקו ע"י קרטון.

עובי תצורת ע'רב 7 מ', גילה מסטריכט והיא בנוי מקרטון חום בהיר. עובי תצורת טקיה 23 מ' וגילה פלאוקן - אוקון מוקדם. המסלע השולט חוואר אפור ורך עם מעט קרטון וחרסית שחורה. מעל חברות הר הצופים מונחת בהתאם תצורת עדולם המהווה את חלקה התחתון של חברות עברת.

#### "חלון שמיר"

המחשוף הגדל בירთר של סלעי משקע נמצא מזרחית לקבוע שמיר (נ.צ.מ. 215/285). הגישה לאתר מכביש הנפט (P.A.T) החוצה את המחשופים הסידמינטריים.

ב"חלון" זה נחשפים סלעי חברות יהודה, הר הצופים וعبدת המוקפים בקילוחי בזלת (צור מס' 3).

עובי חSOAP של חברות יהודה בשיעור 225 מ' נמדד על ידי זלצמן (1968) שזיהה בחתר את תצורות טחניין ובענה. אלו סבורים כי מדובר בחתר תצורות כמון ודריר חנא בעוד שתצורות טחניין ובענה נגדעו בפaza אירוזיבית לאחר העתקה במסטריכט.

עובי חברות הר הצופים 30 מ'. 10 המטרים התתוגנים בנויים מקרטון לבן - חום בהיר מגיל מסטריכט עליון - תצורת ע'רב, ו-20 العليוניים בנויים מחוואר אפור מגיל אוקון מוקדם - תצורת טקיה. אין יציג של סלעים פלאוקניים בחתר. מעל לחברות הר הצופים מונחת בהתאם תצורת עדולם הבנויה קרטון עם צור בשיכוב דק.

אי התאמות ומשמעותן

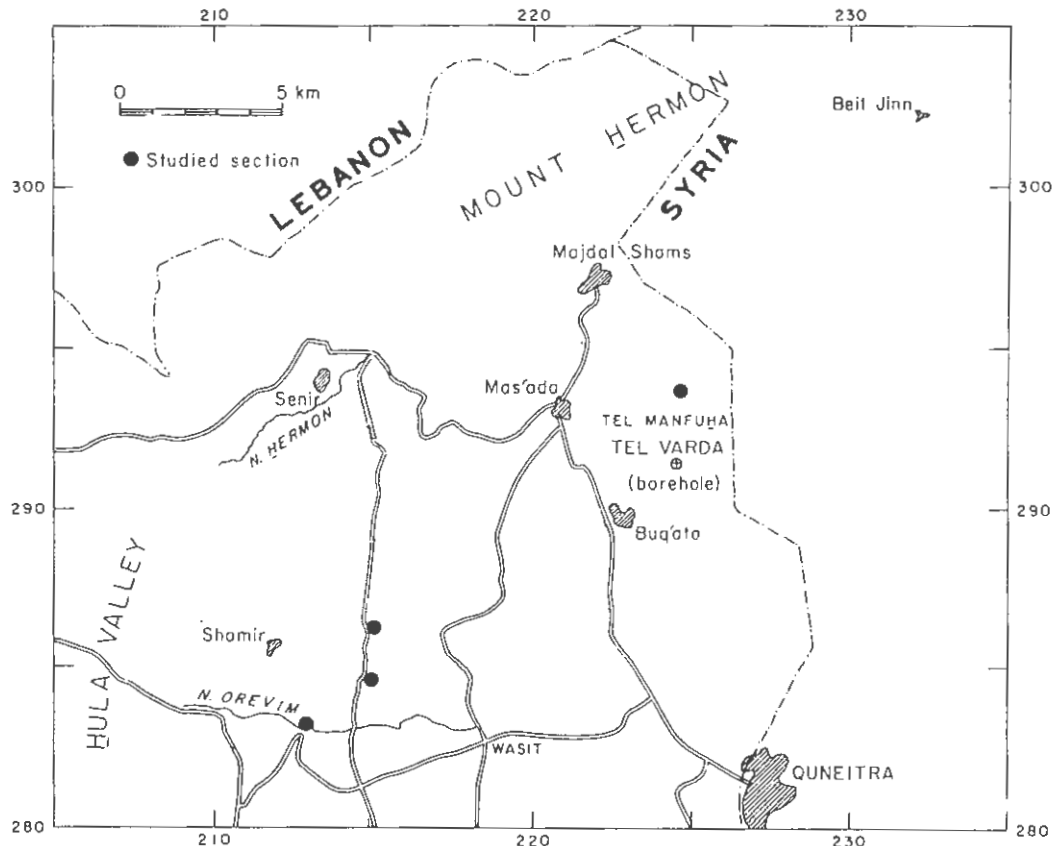
כיתוח חתבי חברות הר הרים בחלוונות נחל עורבים ושמיר שם גושא סיור זה, ותוספת המידע מחתכים נוספים בתל מנופחה ובבית ג'ין המרוחקים 12 ו-25 ק"מ בהתאם צפונה מזרחה (ציפור 1) מביאים למסקנות הבאות:

א. אי התאמה גיאונטית בסיס תצורת ע'רב. בחלון שמיר הגידוע מירבוי עד תצורת דיר חנא - עובי כולל של חתך העולה על 200 מ'. בנחל עורבים המרוחק רק 4 ק"מ דרומה חסרים עשרה מטרים הכלולים את תצורת מישש וחלקה העליון של תצורת מנופה.

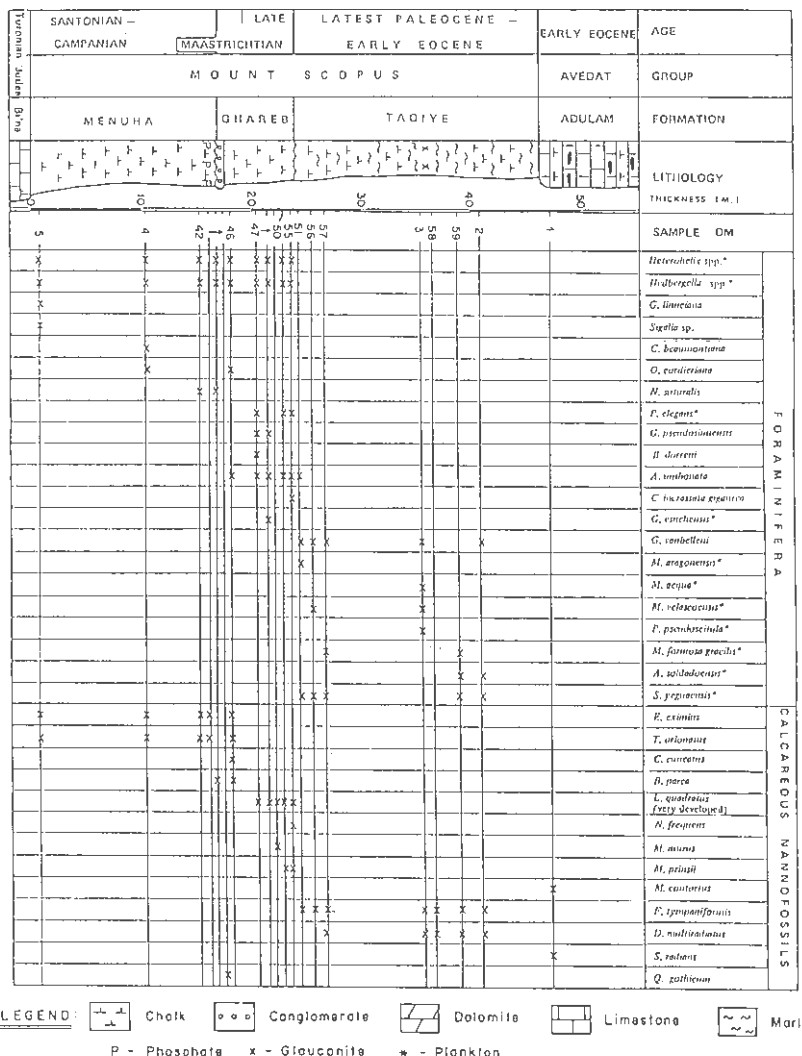
ב. חברות יהודה הגדועה, ולעומק כה ניבר, בחלון שמיר מעידה על קיומו של בלוק מוגבה, כנראה עקב העתקה סנוונית, ואירועיה מוגברת שלו. (ציפור 4).

ג. אי התאמה גיאונטית בסיס תצורת טקיה שגילה באזור אואקן תחתון. אי התאמה זו אחראית כנראה להיעדר יציג כלשהו של חתך פלאוקני באזור.

ד. השוואת החתכים הנזכרים לעיל מראה שככל שמתקרבים לפילוסורה הדרומית מזרחת של החרמון מקדוח תל ורדה, דרך תל מנופחה לבית ג'ין מונחת חברות עבדת על יחידות קדומות יותר בסטרטיגרפיה. יחסים אלה מצביעים כנראה על קיום קמות עובי של מבנה החרמון כבר בפלואקן.



צירור 1 - מפת התמצאות.



N A H A L O R E V I N  
COORD. 2135/2830

צירור 2

נהל עורבים - חתר عمורי שיל חברות הר הצופים ותפוצת המאובנים העירקיים.

Cenomanian-Judaea Diorite Hama	LATE MAASTRICHTIAN	EARLY EOCENE			AGE GROUP FORMATION
	MOUNT GHAREB	SCOPUS	AVEDAT		
	TAQIYE	ADULAM			
					LITHOLOGY THICKNESS (M.)
	0	10	20	30	SAMPLE DM
	6	16	26	36	FORAMINIFERA
	27	28	29	30	<i>A. umbonata</i>
	X	X	X	X	<i>P. elegans</i> *
	X	X	X	X	<i>G. pseudosinensis</i>
	X	X	X	X	<i>C. constricta</i>
	X	X	X	X	<i>L. limonense</i>
	X	X	X	X	<i>C. incassata gigantea</i>
	X	X	X	X	<i>G. eudistomus</i> *
	X	X	X	X	<i>G. gansseri</i> *
	X	X	X	X	<i>A. pseudooperculatus</i> *
	X	X	X	X	<i>A. soldadoensis</i> *
	X	X	X	X	<i>M. argoenensis</i> *
	X	X	X	X	<i>S. yeguensis</i> *
	X	X	X	X	<i>L. quadrivalvis</i> (very developed)
	X	X	X	X	<i>M. primus</i>
	X	X	X	X	<i>M. inveniens</i>
	X	X	X	X	<i>N. frequens</i>
	X	X	X	X	<i>C. ex. sp. alias</i>
	X	X	X	X	<i>D. multiradiatus</i>
	X	X	X	X	<i>F. tympaniformis</i>
	X	X	X	X	<i>M. contortus</i>
	X	X	X	X	<i>T. orthostylus</i>
	X	X	X	X	<i>S. ornatissimus</i>
	X	X	X	X	<i>S. radians</i>
	X	X	X	X	<i>D. Indiensis</i>

S H A M I R K I P U K A  
COORD. 215/285

צירור 3

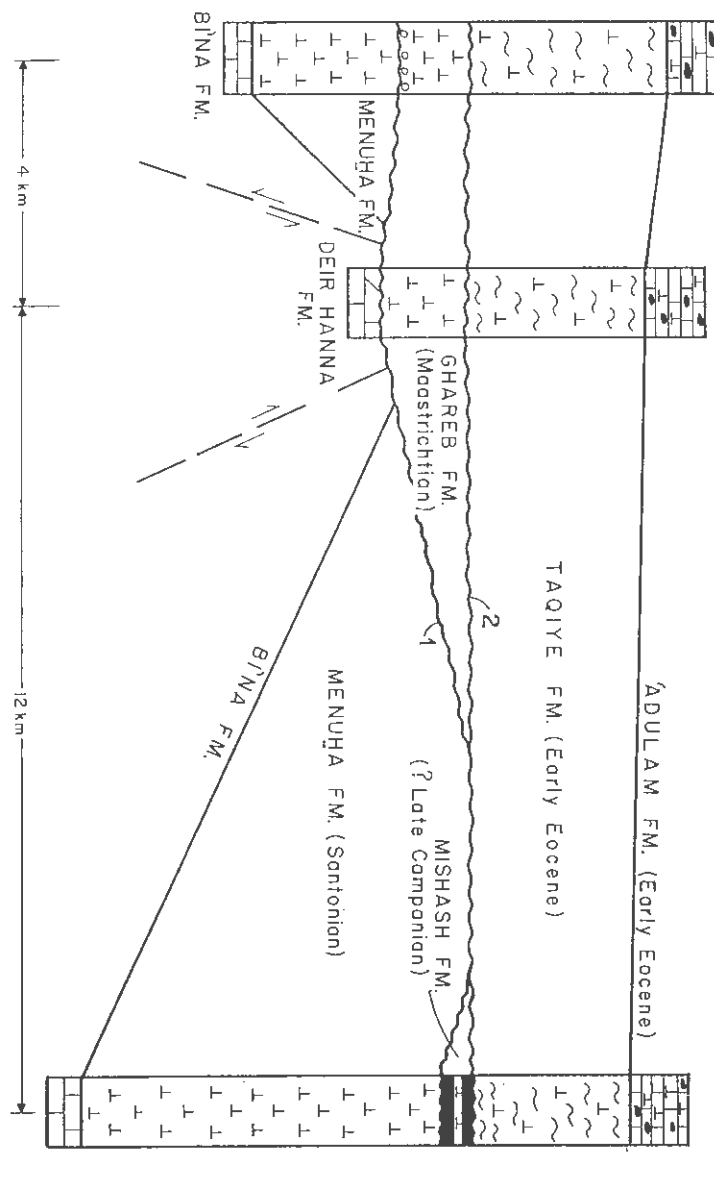
"חלונות שמיר" - חתך عمורי של חבורת הרכזופים ותפרוצת המאובנים העיקריים (ראה, מקרה בציור 2).

- SW -

AAHAL OREVIM  
2135/2830

- NE -

TEL MANFUHA  
2245/2935



אילו 4 – חתך טופוגרפי מוכבב של חבותה הרים האופיים באפרון רמת הגליל.

**סיוור להכרת החתק האוליגו-מיוקן המריני והניארגן  
היבשתי בדרות רמת הגולן (דגש על אזור סוסיתא)  
בהתרכזת חיים מיכלסון**

**תחנה מס' 1: אזור סוסיתא - קרכן עין גב**

חתק בחלק העליון של תצורת מרישה (אואוקן תיכון), תצורות פיק (אואוקן עליון - אוליגוקן), סוסיתא (אוליגווקן-מיוקן תיכון) חולות עין גב ותצורת הורדוס (מיוקן תיכון-עליון), גשר (פליווקן) ובאזור הסורי. הכרת הליתולוגיה ומאספ הפונה של התצורות והדgasת ההבדל בין צידו המערבי של הבקע לבין צידו המזרחי, דמיינו דרום רמת הגולן.

בנוספ' לכך יושם דגש על אי ההתאמות (ארודיזיביות וזריזיות), המבנה הגיאולוגי והגיאומורפולוגי של דרום רמת הגולן, שברים ובעיקר אזור השבור והמרוסק שמצוון לסוסיתא וממזרחה לקרכן עין גב.

בצוע החתק כרוך בהליכה של כ- $\frac{1}{2}$ -3 שעות.

**תחנה מס' 2: מצפה על צוקי הארון ( מול משק הארון )**

להכרת החתק הגיאולוגי של צוקי הארון ( הפרטימ הצבעוניים של תצורת הורדוס, הבטוי המורפולוגי של תצ' סוסיתא).

**תחנה מס' 3: מינרליות של נחרשת בתצורת הורדוס  
( מול חוף גופרה )**

הסבר על הפיתוח בחוף גופרה באמצעות מים חמימים ( $32^{\circ}$ ) שנמצאו לאחרונה בקדוח רדוד לחוף הכנרת.

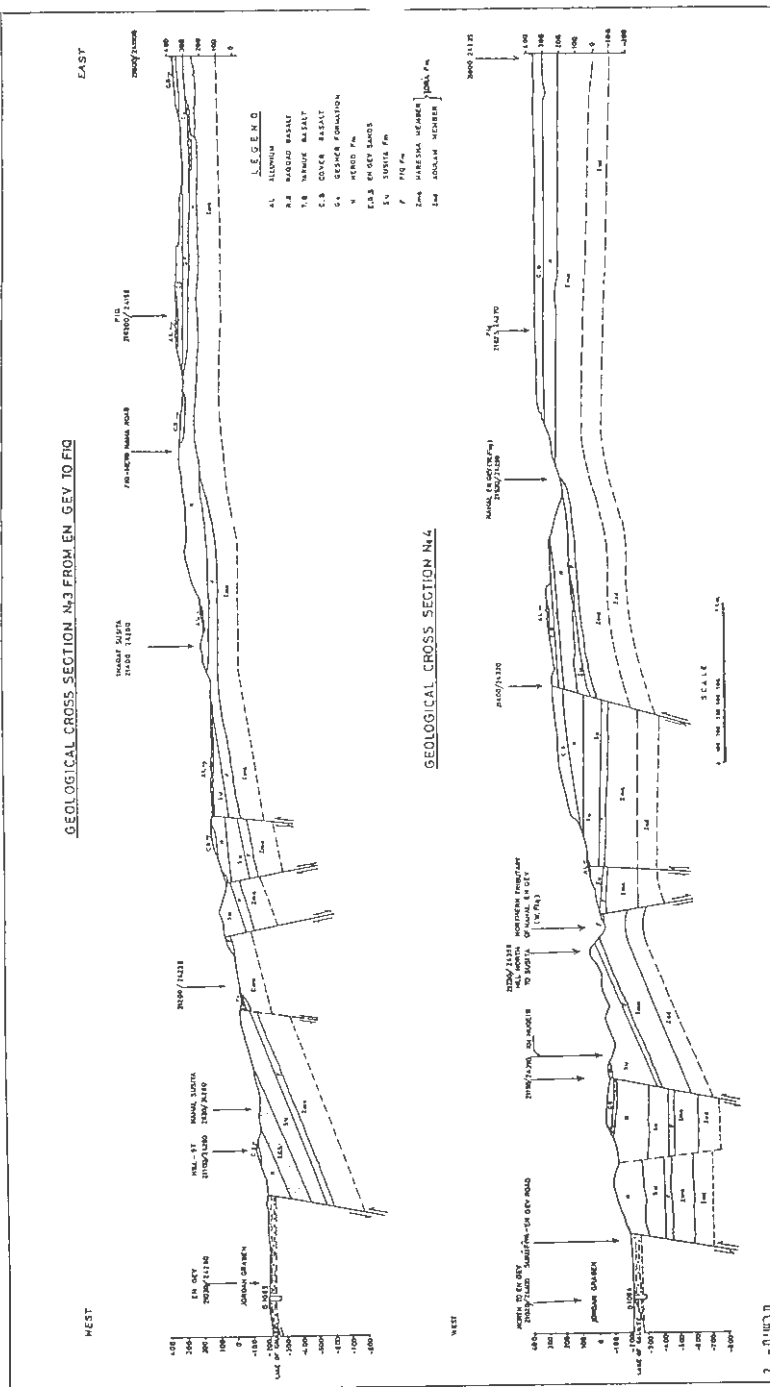
**תחנה מס' 4: מצפה על החתק הניארגני בואדי סמך, על שברי האורן  
והמדרגות המורפולוגיות.**

## חתך עמודי מורכב בדרום רמת הגולן

נערך עי ת. מיכלסון 1972

גִּיל	תיאור	שם ה咤ורה
1	פליסטוקן עליון ס. R.B.	בזלת הרוקאיד (R.B) סמ' 46
2	פליסטוקן תיכון ס. Y.B.	בזלת הרימוח (Y.B) סמ' 53
3	פליסטוקן	טופים וסקוריה (לעומת געשים)
4	פליזון - פלייסטוקן U.B	בזלת לא מחולקת (U.B) (בזלות צערות + בזלת הניסוי)
5	פליזון C.B	בזלת הניסוי (C.B)
6	אי התאמה	תצורת נחל (ט)
7	פליזון	תצורת הזרדים (ח)
8	מיוקן תיכון-עליון אי התאמות זרניות ואו-זונכית	חולות עין-נק (E.G.S.)
9	מיוקן תיכון אי התאמות זרניות ואו-זונכית	זרען נחל 45 סמ' (נ"ס) פרט האון 100 מ'
10	אוליזון - סיוקן תיכון אי התאמות אדו-זונכית	תצורת סומיטא תצורת פיק (F)
11	אוליזון עליון - אוליזוקן אי התאמות אדו-זונכית	זרען מורישה (2ma)
12	אוליזון תיכון (לפעמים גם עליון)	תצורת ערעה (2)
13	אוליזון תיכון - תיכון 250	פרט עדולם (2ad)

- ס. ר. א
- { קן שיני פלאלי }
- טישור או התאהה
- חרסית
- MORESTADSILSACK, אבן סילטית
- גיר אואוליט
- רומ בזלט  
תיכון או תיכון
- קונגנוליטרט
- אבן חול יירית
- אבן חול
- קונדרציט
- טואוכניט
- לומשל
- גרכידי ברויז
- גלאוקונייט
- קריטון חווארי
- גיר קירטוני
- אופקי צור
- ערשות צור
- דולומיט
- גיר
- קריטון
- חוואר



תילוי געש בדרום ומרכז הגולן - גיאוכולוגית ובכמיה

ארצנו ינאי ואבנר זילבר, מפעלי טוף - מרכז גולן  
boveי לנג ומשה שירב, המכון הגיאולוגי, ירושלים

הסיוור יערך בשלשה תילים וולקניים: הר פרט, הר יוסיפון ומפגש התילים בנטל  
ואביטל (ציור 1).  
שלש הטרוקוטורות הולוקניות שייכות למזרח גולן (מור, 1973) המצויות את  
הפעילות הולוקניתה הצפירה ביותר רמת הגולן. התילים בניוים חמורים פירוקלסטי  
כיביטוי כאופי האקספלוזיבי של הפעילות הולוקניות. המורפולוגיה הולוקנית  
האפיינית הוכלה לוע התפרצות וצורה חרושתית של התילים נשמרה בצורה מרשים  
באתרו הסיוור. בסיס התילים מונח על גבי בזלת אקליניות. תילים בהם יערו  
הסיוור בניוים מפרט סקוריה אודם, מלבד הר אביטל הבינוי עיקר מפרט טוף אביטל.  
גiley A/A שנמדד בצלעי הצורת גולן מורים על טוח הנע בין 0.6 ל-0.1-0.0 מילון  
שנה, אשר יחסיו השדה בין הפרטים השונים לעתים לא ברורים (מור, 1986,  
1987). על פי רוחנות של סלעים פירוקלסטיים, במונח סקוריה נכלים חלקיים  
באגדל אפלי, אגלו-מושט וברקציה וולקנית. מיוון חלקי היינו בדרך כלל  
גרוע אולם במקומות ניוט להבחן בחשברות חומר בעל גודל אגרר דומה. החבע  
הבולוט של סקוריה היינו אודם, עקב דרגת החימצון הגדולה של המרצול  
ליהבחן גם בסקוריה בעוביים שונים, עד שחור. מבחינה גיאוכימית הרוב והסקוריה  
היינו טביסי אקליני. טוף אביטל היינו לרוב וולקני נפרד מהויפוי  
בחלקים קטנים יותר ומיוון טוב יחסית.  
סקוריה אודם בהר פרט וברד בנטל מנוצלת על ידי "מפעלי טוף - מרכז גולן"  
בעיקר לצרכים חקלאיים ולמצאים שונים. מוצר משוק מאגרטים בגודלים שונים,  
אחר גראת חלקית וניפוי.

#### הר פרט

בטרוקוטורה של הר פרט ניוט להבחן בשלש יחידות שתוארו בפירות על ידי  
1979, 1979 Bang et al. (ציור 2):  
א. זרם הכבש של בזלת מזווישה שעליו מונחות יחידות הצערות יותר. על פי מор,  
1986, קיימ חרט-כבש הבינוי מבזלת מזווישה, אשר בטויו הנוכחי הוא מדרגה  
מורפולוגית מסביב כרך פרט.  
ב. חרט בזלת-כבל צורה אליפסית, מוארך בכיוון צפון-מערב, היוצר מדרגה  
ברורה מעל בזלת מזווישה. כוונו היינו בגודל של כ- 300x100 מ' ועומקו כ-10 מ'.  
הbezot שחתפה מלוע זה נחשת מסביב לטטרוקוטורה הפירוקלסטית מלבד חלקה  
המוחורי.

ג. הטרוקוטורה הפירוקלסטית העיקרית הבנויה סקוריה אודם קושרה בקילומטר  
ogaanya מעל פני הטבינה כ-180 מ'. הנטיות של הסלעים הפירוקלסטיים הינן בכיוון  
דריאלי מן הכלוע, עד לדיפ של כ-30°. החומר הפירוקלסטי הבוני תקיקים בגודלים  
הנעים מאפר דק ועד לכיצות וולקניות שטוח מגיע עד מטר. את החומר ניוט להקל  
לשלא יחידות בראבתס על מרכיבי הצלע העיקריים וצבעם: יחידה וחוננה הבנויה  
בעיקר לאפלי בעובי אודם, יחודה ברקציה שחורה תיכונה ויחודה עליונה, מעורבת.  
הבדלים בין היחידות הכלו ורמגע החד, יחסית ביןיהם, מצבעים על כרך שהורוט  
הפירוקלסטי נוצר ביותר מארע וולקני אחד.

מבחן 1: עליה לפסגת הר פרס (מוחנה באישור הפטא). במהלך העליה, לצד הכביש, ניתן להבחן בריבוע צולב בטור החדר הפירוקלסטי. בפסגת ההר נראה כווע הר הגעש בשטמותו - קוטרו כ-300 מ' ועומקו כ-30 מ'. מהפסגה ניתן לצפות על הcano והזרחי של תילוי הגעש המצוי בשטח סוריה.

מבחן 2: תצפית אל תלוע הבזלתוי בחלקו הצפוני מערבי של הר פרס.

מבחן 3: מחצמת הסקוריה. במהלך הביקור במחצצת ניתן יהיה לבחון מקרוב את החדר הפירוקלסטי, תוך דגש על הסקוררייה האדומה, התמונה והסקוררייה השחורה, תמיונה. מהرك היורם במחנה זו יותאם לתנאי הכרזיה ביום הסיור.

### היבטים כלכליים

בחילת שנות ה-70 הופעל מתקן לאריזת הסקורייה השחורה בהר פרס ושיווקה לארגנטינה לבולוקים. במקביל הוחל לשוק את הסקורייה לשימוש מציע מונתק בחקלאות. משך הזמן הסטבר כי הארגנט איןנו מציאות לחדר לשוק הבנייה ואילו התחunnyיות בסקורייה מציע בחקלאות - הולכת וגוברת. גם נסינו ליצור נרחב של בלוקים לא הוסתר בהצלחה לאורץ זמן עקב העלות הגבוהה של ייצור החומר ומתחאים למוגזר זה.

### יעדי השיווק כיום:

חקלאות: סך כל הנקודות המשווקת ביום לחקלאות הוא כ-60 אלף טון בשנה. כמה זו משוקת לעדינים הבאים:

1. מציע מונתק בחקלאות פרחים וירקות.
2. חומר גלם לתרבות גידול מציע צמחי בית וגידול ירקות.
3. מציע גידול למדאות ונגרו: גיננות גג ומגרשי כדורגל.
4. מציע לגידול בשיטה ההידרוארכונית.

בנייה: הנקודות המשווקת למוגזר זה הוא 40-30 אלף טון בשנה לעדינים הבאים:

1. חול טוף המשמש כמצעת תשתיות בטון צמנט, ביג, חשלג, תקשורת וריצוף.
2. חצץ טוף המשמש כשבנת בלימה במכלים.
3. ארגנטין כל לבולוקים - שוק מצומצם המהווה רק כ-10% מהשוק השנתי.
4. מציעים לבבושים - בשנים הראשונות להקמת המפעל עיקר החומר יועד למצעים, בעיקר עבור משרד הבטחון. ביום, עם האטה קצב הפיתוח באורץ ירד הביקוש לחומר זה.

במשך שנות הפעילות של "מערכי טוף - מרום גולן" ה证实 ידע רב אודות הסקורייה - תוכנות כימיות, הפקה, שימושים ודרכי שוק. ידע זה מנוצל לבדיקה בכתבי פוסט של האפשרויות לשוק מוצריו מתוחכמים יותר למוגזרים נוספים.

### הר יוסיפון

គודרו של הר יוסיפון הוא כק"מ אחד וגובהו מעל פני הקרקע מגיע עד לכ- 150 מ'. ההר, הבנוי מפרק סקוררייה אודם, שומד על צורה עוגלה בדרך כלל, עם שער רוזוד בכונו צפון מערב, שם מצוי גם קלוח בזלתת קטן (בזלת עין זיוון). עיקר התמך בנוי אגלומרט וברקציה וולקנית.

מבחן 4: מחשוף בעלייה לפסגת הר יוסיפון. סקוררייה אודם הנחשפת הינה בדרך כלל לא ממויינת, צבעה אדמדם-חום עד שחור. בנקומות ניתן להבחן במאגע בין חחר סקוררייה גס לשכבות המורכבות חומר ווילקני דק יותר. בחלקים הבזלתיים הוויזוקולריים ניתן להבחן במילוי משני בחלק מהתללים (סיליקה, מינרלים

חרסיטיטיים, זאוליטים? קלציט). בסקוריה מצוים גבישים גדולים (megacrysts) של anorthoclase בגודל של מס' מילימטרים עד כ-2 ס"מ. הגבישים בדרך כלל אאהודרליים, טריום ומעט שkopfib. התואר המינרלוגי והגיאוכימי, כמו גם ההסביר האגנטי להופעתם כולל ב-*Lang et al.*, בחוברת התקציריהם של כנס זה.

#### הר אביחל

קורטו של הר בנחל הוא כ-1500 מ' וגובהו מעל פני הים מגיע עד ל-200 מ'. בכיוון מערב מצוי קלוח בזלת עין זיוון היוצר במה נרתבת וגבוהה. בכיוון זה החר הינו "פטוח" ועל כן צורתה כצורת פרסת סוס. רובו של הר בנוי אגלאומט וברקציה וולקניות השיכוכים לפרט סקוריה אודם. צידו הדרומי של הר בנוי ברקציה וולקנית, טוף וטופ-מולחם השיכוכים לפרט טוף אביטל.

#### הר אביחל

אורכו של הר אביחל הוא כ-2500 מ' ורוחבו כ-1800 מ'. ציר האורך שלו מצוי בכיוון צפון - צפון-מערב. גבשו של הר אביחל מעל פני הים הוא כ-250 מ'. הר אביחל מורכב מאגלאומט וברקציה וולקנית של סקוריה (סקוריה אודם), עם מעברים הדרגתיים לשכבות עבות של טוף (טופ אביחל). טוף זה מתפצל מזרחה על כל בקעת קונייטרה וניתן לחלקו לשני פאצייסים עיקריים (מור, 1973): 1. פאצייס מרים גולן הבנוי חלקי סקוריה בגודל לאפייל ופצצות וולקניות רבות בקטנים שונאים; 2. פאצייס קונייטרה הבנוי אופקים של טוף מעוגל עד תות-זוויתי בחלופין עם אופקי תרשית דקים ואופקי לאפייל סקוריה.

תמונה 5: ציפויו מן הבבוש העולה לפסגת הר אביחל. מנוקזה זו ניתן להבחין היטב בנקודות התרפ' בין שני התילים וכן בלווע של הר אביחל (ציפור 3).

דיון במתפקידות שני התילים ויחסי הגומלין בין הפרטים הבוניים את התתרפ' הפירוקלסטי.

תמונה 6: המחבגה הישנה של מפעלי טוף - מרים גולן בחלקו הדרומי-מזרחי של הר בנחל. במחבגה ניתן לבחון את התתרפ' הפירוקלסטי הכלול טוף, טוף מולחם וסקוריה (פאצייס מרים גולן של טוף אביחל).

תמונה 7: ציפוי אל עבר בקעת קונייטרה מן הכביש המקיף את הר אביחל. בדיקת פאצייס קונייטרה של טוף אביחל והמפקידתו המרחבית.

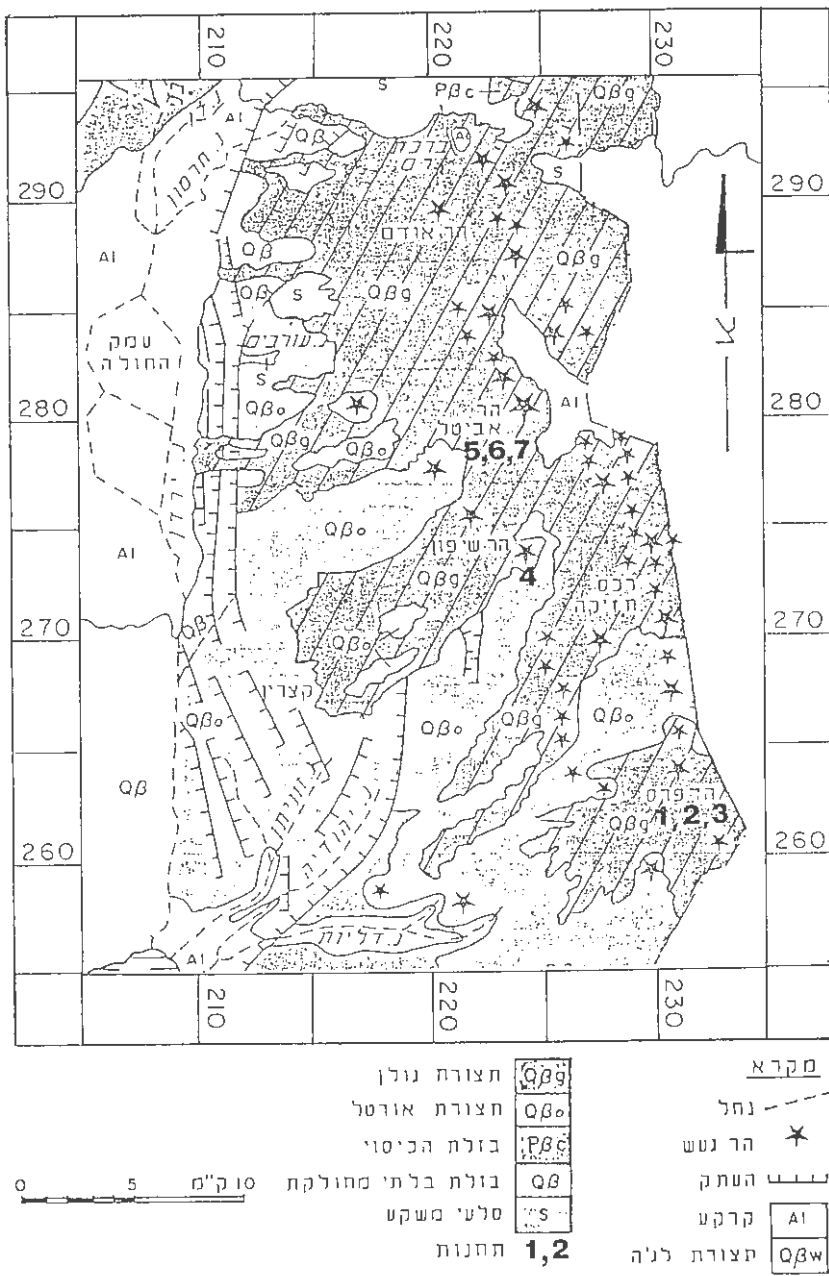
#### ביבליוגרפיה

*Lang, B., Shirav (Schwartz), M. & Bogoch, R., 1979. Volcanological aspects of Har Peres composite volcano, Golan Plateau. Isr. Jour. Earth Sci., Vol. 28, pp. 27-32.*

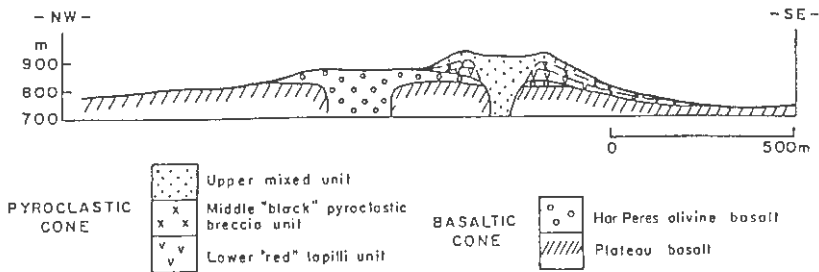
מור, ד., 1973. הולקניזם במרכז רמת הגולן. עבודה גמר למוסמך, האוניברסיטה העברית, ירושלים. 179 עמ'.

מור, ד., 1986. הולקניזם ברמת הגולן. דוח'ה המכון הגיאולוגי מס' GSI/5/86, עמ' 159.

מור, ד., 1987. מפה גיאולוגית 1:50,000, אליונות הר אודם וקצרין, המכון הגיאולוגי, ירושלים.



ציור 1: מפה גיאולוגית מובלעת של צפונו רמת הגולן (מור, 1986)



ציור 2: חתך גיאולוגי בהר פרט (Lang et al., 1979)



ציור 3: חתך גיאולוגי דרך הר אביטל והר בנטול (מורן 1973)

AI	- אלוביום	Sco	- טקורייה אודם
B _m	- טוף אביטל	Ta	- בזלת מזוויתה

קניון הירדן בין גשר בנות יעקב לשפך הירדן לכנרת

משה ענבר, החוג לגיאוגרפיה, אוניברסיטת חיפה  
נעמה גורן, המכוון לארכיאולוגיה, האוניברסיטה העברית ירושלים

מבוא

מטרת הסיוור היא להכיר את הגיאומורפולוגיה של הירדן בין גשר בנות יעקב לכנרת. כמו כן יוצגו היבטים פרההיסטוריים ואקוולוגיים של האזור.

ניתן להבחין בו בשלושה אזורים פיזיוגרפיים ברורים:

1. אזור הקניון, בין גשר בנות יעקב לגשר אלמגור (גשר הדודות), אפיק הירדן חתור במלע בזלתי בקניון שעומקו הכללי כ-200 מ' – 250 מ' מפני השטח הרמתי. האורך הכללי של הקניון הוא 9 ק"מ.
2. אזור הפזרות, בין גשר אלמגור לפארק הירדן, באורך של כ-3 ק"מ.
3. אזור השפר, בין גשר אריק לכנרת, באורך של כ-2 ק"מ, הכולל את הדלתה של הירדן (צ'ור 1). הקניון הוא אזור של סחיפה והסעת סדרמנטים, בעוד שני האזורים האחרים מהווים בעיקר אזורי השקעה, במיוחד למרכיבי הגראופת.

המשטר ההידרולוגי והסידמינטולוגי של הירדן

הירדן הוא הגורם העיקרי בתהליכי הסחיפה. הזרימה בו נמשכת כל ימות השנה ומורותיו הראשיים הם בעקבות הקארסטים הנובעים לרגלי החרמון (צ'ור 2) והספריקה השנתית הממוצעת היא כ-520 מלמ"ק, המתחלקת לשני שליש זרימה תקינה ושליש זרימה שטפונית. רמת הספריקה של הזרימה התקינה היא כ-10 מ"ק לשניה, והיא פוחתת בחודשי הקיץ אך מגיעה ל-20 מ"ק לשניה בחודשים ינואר אפריל כתוצאה מעלייה בספיקתם של המערינות

ומזרימה עליית ישירה של הנחלים. הזרימה השטפונית, המהוות כשליש מכלל הזרימה השנתית, הינה הגורם העיקרי בתהליכי הסחיפה ומתרחשת בפרק זמן קצר יחסית למשך הזרימה הכוללת השנתית. הגאותיות קשורות לסופות גשם באגן הנקות, התגובה היא בדרך כלל מהירה, והגאות מתחילה מספר שעות לאחר תחילת הסופה. מספר הגאותיות בשנה הוא כ- 5 – 3 עם ספיקות שיא בין 50 ל- 150 מ"ק לשניה, ומהירות מים בגאותיות המגיעה באזור הקניון כ- 5 מ' לשניה.

רוב הטענות של הירדן מוסעת כהמש. שיעור הסחיפה הכימית הוא גבוה מזה של הסחיפה המינרנית בכלל האופי הקארסטי של חלק ניכר מאגן הירדן. הרוחפת מהוות יותר מ- 90% מהטענות המוצקה. תנועת הגروفות העיקריות מתרחשת בעת גאותיות וכוללת תנועה של בולדרים מהגדולים ביותר הקיימים במערכות נהרות בעולם (כ- 2 מ' אורך ציר ביןוני). ספיקת הרוחפת השנתית היא כ- 50,000 טון וספיקת הגروفות השנתית כ- 5000-1000 טון. במספר הגאותיות ולעומתן חשיבות רבה בספיקת הטענות. במהלך הסיוור (ראא' תחנות בציור 1) נדונן בחattr הסטרטיגרפי, תופעות ניאוטקטוניות וממצאים פרההיסטוריהם גשר בנות יעקב (תחנה 1). נבדוק תופעות של גלישות במורדות הקניון, העתקים במתלול המערבי ועדויות לתוכנית החטירה המקורית של הירדן (תחנה 2). נצפה במבנה של פזרות, שרטוניות ומבנים סדרימנטריים נהריים באפיק ובדלתה של הירדן (תחנה 3). נסקור את המשמעות של הארווע הקטסטרופי ביןואר 1969, גלישה מצוקית פעללה ועדויות לתנועות בולדרים באפיק (תחנה 4).

תחנה מס' 1

גשר בנות יעקב

בשכבות פלייסטוקניות BEDS VIVIPARUS (PICARD, 1963) ליד גשר בנות יעקב נמצא אחר אשלי לחופי אגם קדום שכבה זו נמצאת מעל בולדרים בזלתיים עם מעט חלוקי גיר וצור ומכוסה חלוקים בזלתיים (ציור 3).

באתר נמצאו כלים בעלי תכונות "אפריקאיות" (STEKELIS, 1960, 1987) ברובם בזלתיים. גיל הבזלת מתחת לאתר הוא 800,000 שנים (הירמן ואחרים 1987) ומכאן שהאמר צעיר מגיל זה. לאחרונה נמצאו מחשופים חדשים מדרום לגשר. השכבות במספר מחשופים נתוירות בצורה חריפה, עם שינויים בכורן הנטיתיה לאורך מרחקים קצרים. שינויים אלה מוסברים על ידי תנויות טקטוניות בכורן ENN (ציפור 4). תנויות מורכבות אלו יכולות להסביר את הקושי בקורסיציות הסטרטיגרפיות בחפירות השונות. שני האתרים הפליטיסטוקנים בבקע-עובדיה ובנות יעקב - הושפעו על ידי פעילות טקטונית רצנית. (GOREN-INBAR AND BELITZKY, 1989).

## תחנה מס' 2

### גשר כפר הנשיא - הקניון של הירדן

הירדן חתור בין החולה לכנרת באזורי הבניוי קילוחי בזלת שב시스템 איננו חשוף. העובי המרבי של החתק החשוף מגיע ל-150 מ'. מתוך קידוחים באזורי כורזים ידוע על עובי של 300 - 200 מ' של בסיסי בזלתי המונח על שכבות גיר מגיל איאוקן או על גיר ודו-לומיט מגיל קנו-מן-טורון (פלישר, 1968). מתלול הקניון בנוי סדרה של קילוחי בזלת. במרבית האזוריים (ציפור 5) לא ניתן לקבוע הקבלה בחתק בין שני צירדי אפיק הירדן. הפעולות הוווקלניות ברמת כורזים נחלקה ל-3 שלבים (hirman ואחרים, 1987), שני הקדומים הם מגיל פליוקני ומקורם בהרי געש באזורי כורזים. באזורי הקניון התקבל גיל של 1.8 מיליון שנה בדומה לזה של בזלתי דלווה ברמת הגולן; מניחים על כן שמקור הבזלת הוא בקילוחי לבה שהגיעו מהגולן.

מבנה : באזורי הסמוך לקניון קיימות כמה מערכות של קורי העתק; בחלוקת המערבי מצירניים 3 מערכות של העתקים (HARASH AND BAR, 1988): מערכת הירדן בכורן צפון דרום, מערכת אלמגור בכורן צפ'-צפ'-מזר' ומערכת בפר הנשיא בכורן צפ'-מע' החוצה את מערכת אלמגור ומגיעה עד לשולי הקניון (ציפור 6).

הגלישות במתלולי הקניון : ניתן להבחין בכ-50 גלישות בעלות מידות שווכים, באורך של כ-100 ~ 50 מ' וגובהה של 50 ~ 5 מ'. על פי מידת הפעילות וסוג החומר ניתן להבחין ב-4 סוגים של גלישות (אבן ניר, 1988) (ציפור 7) : גלישת דדרת, בלתי פעילה ומורכבת מסלעים גדולים, עם בסיסי מועט של קרקע וצומח. זווית השיפוע נעה בין 35-20 מעלות.

גלישות אפיק : פעילה ומורכבת בעיקר מחומר דק: החתירה של האפיק הצמוד למתלול גורמת לגלישות אנכיות בגובה של 7-5 מ'. גלישות עפר : גלישות גדולות, בצורת פרסה, עד 10 מ' גובה; מורכבות בעיקר מחומר דק ופעילות בעת גשמי חזקים וממושכים. גלישה מצוקית : הגלישות הגדולות הן מסווג זה, בגיןוות מחומר דק מעורב עם סלעים גדולים ופעילות מאר. הזווית גבוהה ומספרת סלעים מאפייניות את פעילותן. בדרך כלל לא ניכרת העדפה של מתלול מערבי או מזרחי לגבי סוג או גודל הגלישות (אבן ניר, 1988). תכנית הטיהת הירדן : התכנית המקורית של המוביל הארצי התבססה על הטיהת מי הירדן מדרום לגשר בנות יעקב והובלתם בתעלת אל בקעת בית נטופה. העבודות בוצעו ב-1953 עד שמוצת הבטחון בלחץ הסורים הורטה על הפסקת העבודות; כך הוזנחה הרעיון של הפיכת עמק בית נטופה למגרע עיקרי ונקבעה הכנרת כמגרע של המוביל. לאחרונה הוגשה הצעה מטעם קבוע כפר הנשיא להשתמש בתעלת למפעל הידרואלקטרי שיונצל את מי הירדן לאנרגיה. קיימת התנגדות מגופים לשמירת הטבע לתכנית זו העשויה לפגוע באזומח, חי ונוף המים של קניון הירדן.

### תחנה מס' 3

#### תצפית על מבנה הפזרות של הירדן

אזור הפזרות משתרע לאורך 3 ק"מ בקרוב ממוצא הקניון, צפונה לגשר אלמגור עד פארק הירדן. האפיק נמשך עוד כ-2 ק"מ באזור השף והרלה עד לימת הכנרת. המאפיין אזור זה הוא דגם הפזרות של הנחל, המתבטא בהטפלויות הרבות של האפיקים. ניתן לחלק אזור זה לחבל צפוני, שבו המשקעים הם בולדרים וחלוקים, ודרומי, הבנוי בעיקר מחול וחצצים.

צפיפות הפזרות עולה כלפי המורדר, עם הקטנת השיפורע וגודל החלוקים (צ'ור 8). העמק מתרחב כדי 300-300 מ', רוחב כזה מאפשר לנחל לחזור לצדרים ולהשקיית מרבית החומר הגס שהושע מן הקניון. עובי המשקעים הנדריים גדל ככל שמתקרבים לשפך הנהר; באזורי הפזרות עוביים כ-5-3 מ' (צ'ור 9).

באזורי הפזרות ניתן להבחין ב-4 סוגים שלشرطנות:شرطנות אורה, אופירינימ לאפיק הרומי ובנויים מחומר גס;شرطנות מרכזים אופיריני לאזורי הפזרות ובנויים מחומר דק וגס;شرطנות נקודתיים, בצמוד לגדרה הקמורה המכוסה בעט גאות וشرطנות אלכסוניים, בצדד לאשרה הפנימית של האפיק. הגאות של 1969 עיצבה מבנים סדיינטריים שונים בקרקעית האפיק (KARCZ AND INBAR, 1978). תפארת מבנים אלה אפשרה שיחזור של הגאות (צ'ור 10).

הגאות החריגה של ינואר 1969 בירדן העליון נגרמה על ידי סופת גשם נדירה והוגברת על ידי פעילות האדם באגן ההקומות. הגשם העונתי הגיע ל-180% עד 250% מן המוצע הרב שנתי, ולערכיהם הגבוהים ביותר בתחום מרידה של כ-150 שנה. נפח הגאות היה מאות מיליון מ"ק עם ספיקת שיא של 215 מ"ק / שנייה ומהירות מים של 6 מ/שנייה (צ'ור 11). מפלס האגם הגיע לגובה המירבי הידוע ב-100 השנים האחרונות.

הטעונת שהושעה מן האגן וחומר דק שהוسر מאזורי הפזרות - בסך הכל כ-2 מיליון קוב חומר - הגיעו לבנרת ויצרו דלמה חדשה במרזא הירדן (צ'ור 12). מאז 1969 הדלה משיכה לגרול, הודות להספקת חומר ע"י הירדן, ולהתיריצב בתוצאה מגירROL צמיחה.

תחנה מס' 4

אזור גשר אלמגור (גשר "הדרות")

השיפרו הבלתי בקניון הוא 0.02 מעלות אך בקטעים של אשדות, באזורי הדרומי, מגיע ל-4.0. מקור הבולדרים בגרופת הוא הגלישות במדרונות הקניון: זהו המקור הבלעדי של גראופת גסה כי החומר המושע מאגן בולדרים שוקע בעمق החוליה. מכאן שמקור הטעעה של החומר הוא קצר ולגבי בולדרים מצטמצם לכמה מאות מטרים בלבד. בעת גאות, הבולדרים גדולים נעים עד עשרות מטרים וחוואר דק, מאות או אלפי מטרים. הבולדרים שמאל 1500 מ"מ (קוטר בינווני) נעו בגאות של 1969 (214 מ"ק / שנייה) ו-1985 (164 מ"ק / שנייה) בלבד. הגאות השנתית הממוצעת (כ-100 מ"ק / שנייה) גורמת לתנועה של 6% מהבולדרים בגודל 1000 - 500 מ"מ ו-12% של הבולדרים בגודל 500-250 מ"מ (ציור 13).

חישוב הספיקה של הגרופת בעת גאות נערך על פי אומדן הかつברות של המשקעים באזורי הפזרות, הן בשרטונות והן בפשט. הנפח הכללי חולק בהתאם לשנים הרדיאוליים של הגאות וכן התקבל שיעור ספיקה לפי גודל חלקו תנועה הזרימה (INBAR AND SCHICK, 1979). תנوعת הגרופת נמצאת בהתאם להספק הזרימה (STREAM POWER). הנתונים בציור 14 מצינניים ספיקה של גראופת (בק"ג/מטר רוחב אפיק/שנייה) כפונקציה של הספק הזרימה של הנחל, הנמדד באותן ייחידות. תהליכי התנועה של הבולדרים גדולים מתרחשים בעת גאות נדירות בלבד: ב-1969, השינוי המורפולוגי המתרחש ב-24 עד 48 שעות בלבד. ב-1985 שרטון באורך של 80 מ' ועליו עצים גבוהים נשטף כלו. בגדה המזרחית בmozא הקניון נמצאת הגלישה המצוקית הגדולה והפעילה ביותר. בינוואר 1969 קטע של 200 מ' של تعالיה הטירות מים נסחף כתוצאה מגלישה של קטע המדרון. הגלישה נגרמה על ידי המשקעים הרבים באורתה שנה ושטפונות הירדן. לפי אודמן, סלעים בנפח של 13,000 מ"ק גלו אל האפיק

(אבן ניר, 1988). הגלישה מושפעת גם מפעולות סיטומית; עדות אחרתה נצפתה לאחר רعش בעוצמה 4 בסולם ריכטר שפקד את אזור מערב הכנרת ב-7.5.88.

גיל הבזולח נקבע ל-2.13-2.15 מיליון שנה (HEIMANN AND STEINITZ 1988)

ביבליוגרפיה:

אבן-ניר, מ., 1988: מורפולוגיה ותנאים דינמיים של הגלישות במדרונות הבזולתיים בקניון הירדן. עבודת מ.א. החוג לגיאוגרפיה, אוניברסיטת חיפה. 102 ע'.

היימן, א. מודר, ד., שטירניך, ג., 1987: גילוי אשגן ארגון של הבזלת ברמת כורזים ביןות החברה הגיאולוגית הישראלית. ע' 32-34.

ענבר, מ. 1977: תנועת גראופת ומורפולוגיה של אפרקי פזרות בירדן העליון. עבודת ד"ר, האוניברסיטה העברית, ירושלים.

פלויישר, ע. 1968: הגיאולוגיה התת קרקעית של עמק החולה ואזור כורזים. המכון הגיאולוגי, ירושלים.

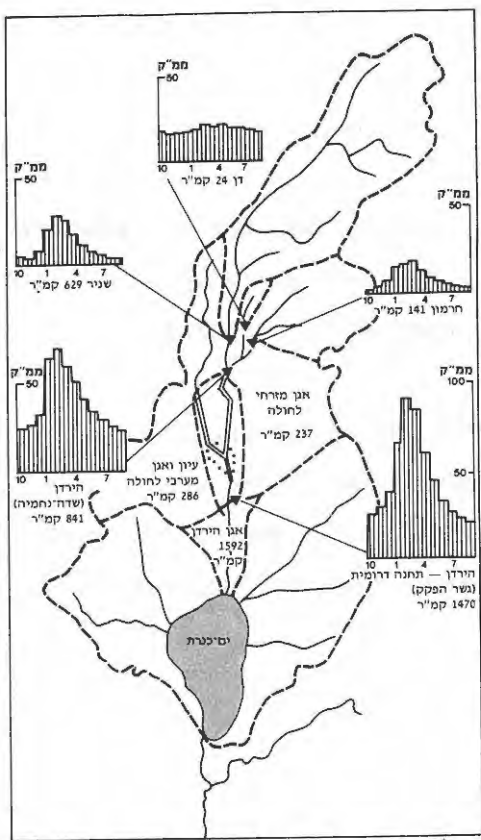
GOREN-INBAR, N. AND BELITZKY, S., 1989: STRUCTURAL POSITION OF THE PLEISTOCENE GESHER BENOT YA'AKOV SITE IN THE DEAD SEA RIFT ZONE, QUATERNARY RESEARCH (IN PRESS)

HARASH, A. AND BAR, Y.. 1988: FAULTS, LANDSLIDES AND SEISMIC HAZARDS ALONG THE JORDAN RIVER GORGE, NORTHERN ISRAEL.  
ENGINEERING GEOLOGY, P. 1 - 15

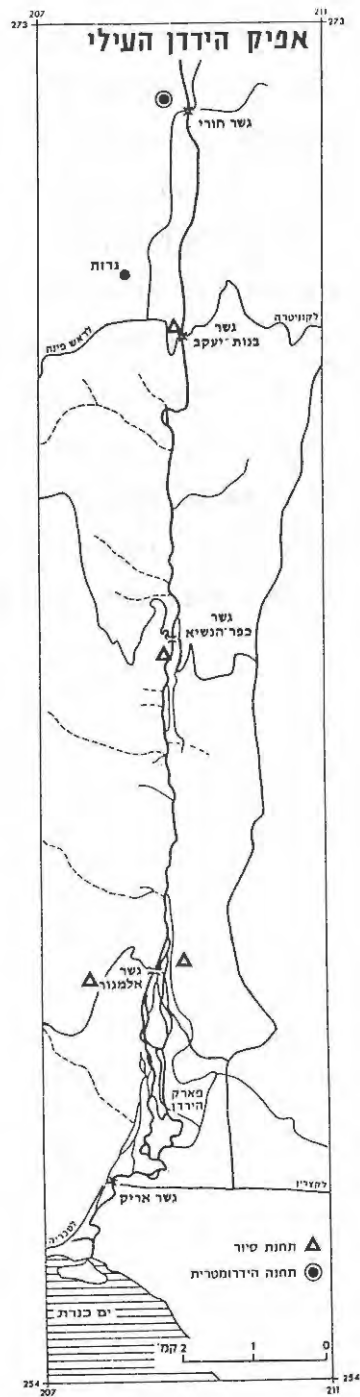
HEIMANN, A. AND STEINITZ, G.. 1988: K-AR AGES OF BASALTS FROM THE WESTERN SLOPES OF THE GOLAN HEIGHTS CURRENT RESEARCH - GEOL. SURVEY OF ISRAEL, VOL. 6, P. 29-32

INBAR, M. 1987: EFFECTS OF A HIGH MAGNITUDE FLOOD IN A MEDITERRANEAN CLIMATE: A CASE STUDY IN THE JORDAN RIVER BASIN. IN: L. MAYER AND D. NASH (EDS.) CATASTROPHIC FLOODING. ALLEN & UNWIN., P., 333-353.

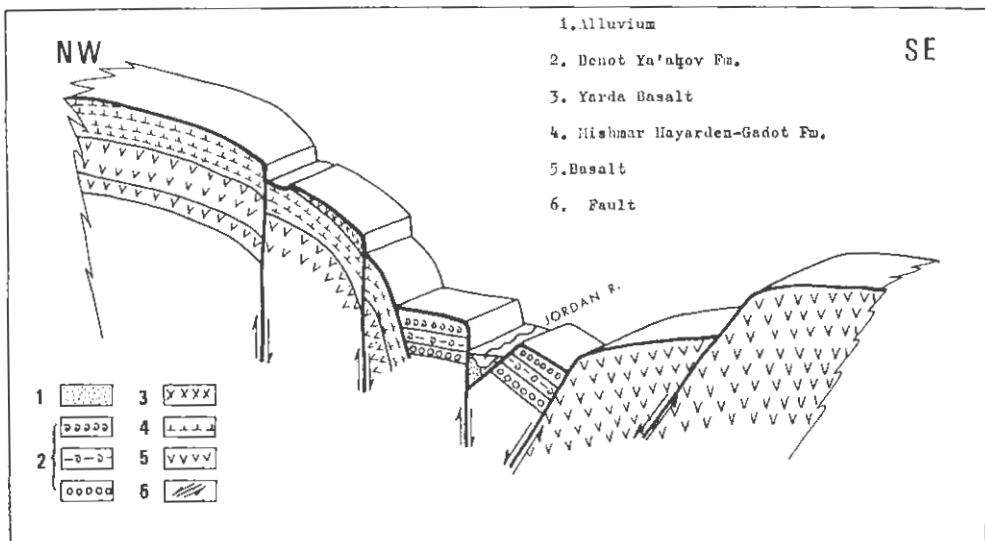
- INBAR, M. AND SCHICK, A. P., 1979: BEDLOAD TRANSPORT ASSOCIATED POWER JORDAN RIVER, ISRAEL. PROCEEDINGS OF THE NATIONAL ACADEMY OF SCIENCES, USA, V. 76, NO. 6, P. 2525-2571
- KARCZ, I. AND INBAR M., 1978: FLOOD-GENERATED STREAMBED RELIEF AND RECONSTRUCTION OF THE FLOW PATTERN, UPPER JORDAN RIVER, ISRAEL. IN FRIEDMAN, G. M., EDITOR, THENTH INTERNATIONAL CONGRESS ON SEDIMENTOLOGY, ABSTRACTS, JERUSALEM, V. 1, P. 347-348.
- PICARD, L. 1963: THE QUATERNARY IN THE NORTHERN JORDAN VALLEY THE ISRAEL ACADEMY OF SCIENCES, VOL. 1, NO. 4, 34 PP.
- STEKELIS, M. 1960: THE PALEOLITHIC DEPOSITS OF JISR BANAT YAQUB. BULL RES. COUNC. ISRAEL, VOL. 96, NO. 2-3, P. 61-87



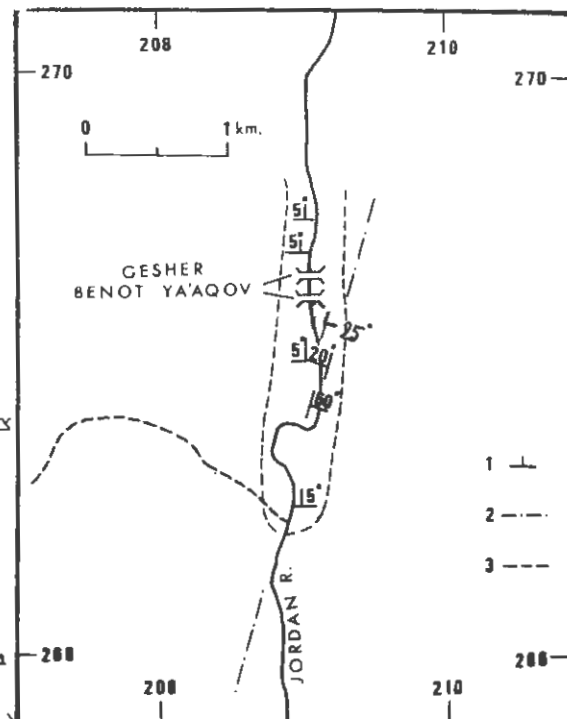
**ציריך:** אגן הירדן העליון – נפח אריימה חודשיים בתננות השונות



### ציור 1. אפיק הירדן העילי.

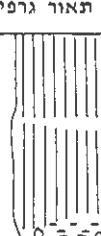
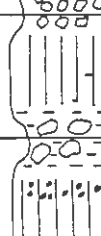
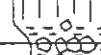
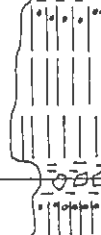
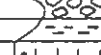


ציור 3. חתך גיאולוגי באזורי גשר בנות יעקב  
(GOREN-INBAR & BELITZKY 1989)

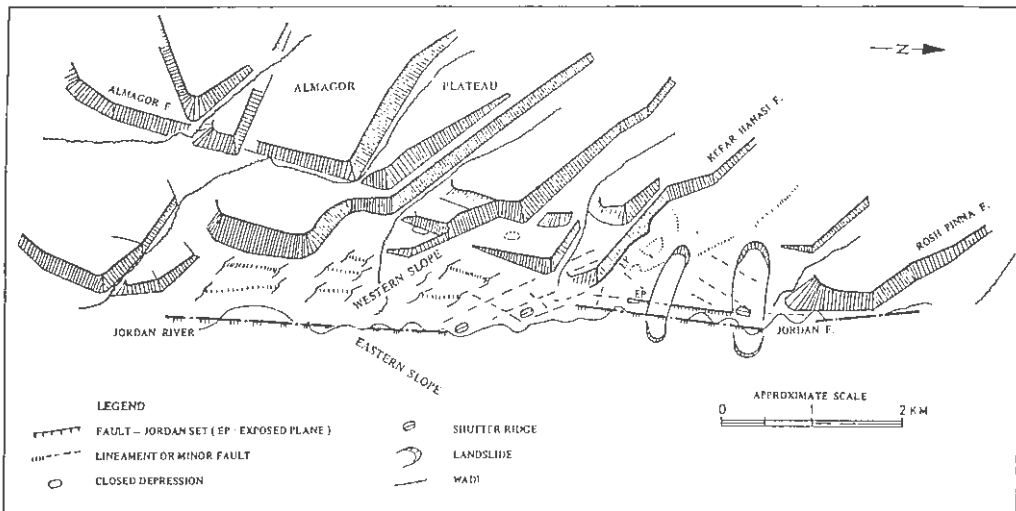


ציור 4. תצורת גשר בנות יעקב  
באזור הטיפוסי.

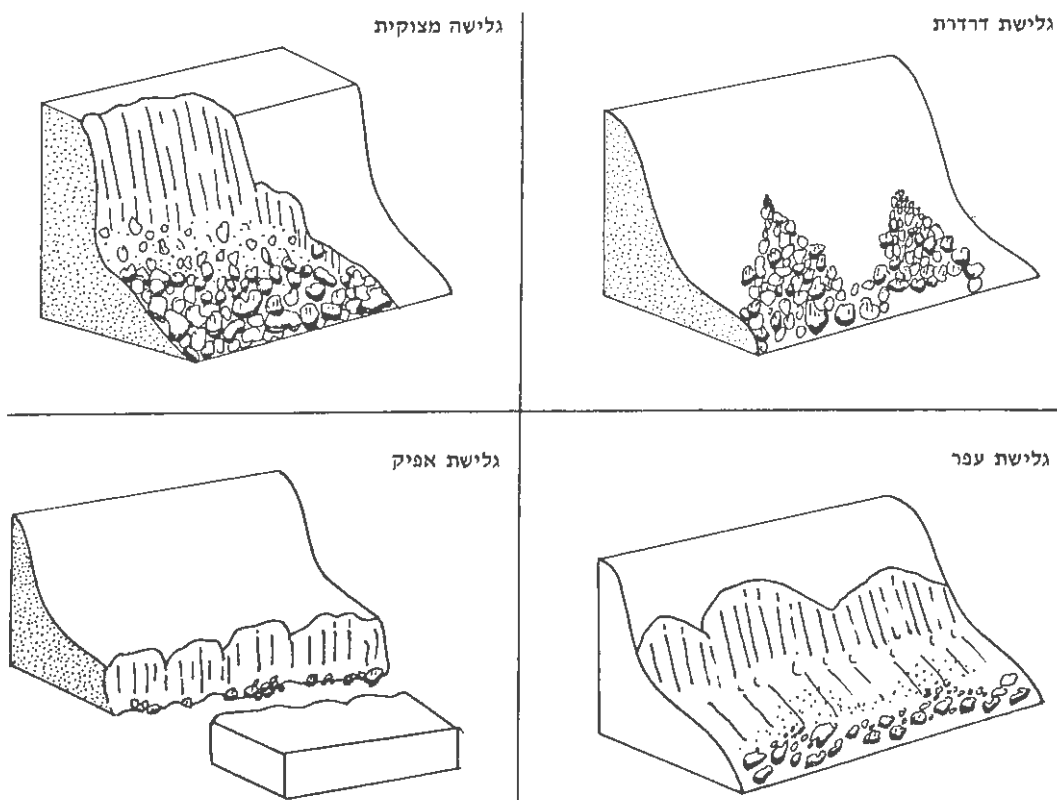
1. Dip
2. Trend of Main Lineament
3. Assumed southern extension  
of B.Y. Fm.

הערות	תאור ליתוגרפיה	תאור גרפי	עובי מ'	זרם מ'	מספר
תחילה מחושך הgelisha	אובלול הgelisha בזלת מסיבית סדוקה עם OLIVINE BASALT פבוקרייטים ברודדים בזלת בלויה		4.1 19 18	20 19 7	
מצוק	בזלת מסיבית בצבע אפור עם מישוריים בלויגים בהיררים בזלת בלויה		2.4	17 16	6
מצוק	בזלת מסיבית סדוקה בזלת בלויה		2.6	15 14	5
מצוק	זרם בזלת סדוק בזלת סדוקה וזיקורלית בזלת בלויה ואבקתית		3.6	12 11 10	4
סדקאים פעיללים מפרות గורמות להעתקת גושי בזלת.	זרם סדוק מאוד הbazalt מכתה מישוריים של מינרלים חרסיתיים בהיררים. בזלת וזיקורלית. בזלת בלויה		3.5	9 8 7 6	3
הסדרקים דמויי יתדרות	בזלת מסיבית סדוקה עם אופקיות בלויגים בסיסים וגיג קוטר עמודים (~ 0.8-1.1 מ' וזיקולות (~ 10 מ"מ) בחלק עליוו.		2.3	5 4	2
חשיפה לטראכיט כ-100 מ'	קרקע פוסיליה חומה+בזלת זרם בזלת עם סידוך ביצב היוצר גושיט בקוטר של 1 מ' וזיקולות כ- 8 מ"מ קוטר בתוך העליון.		0.4	3	
	טלוס 6 מ' מעל מפלס הירדו גושים מ' >			2.1 2	1

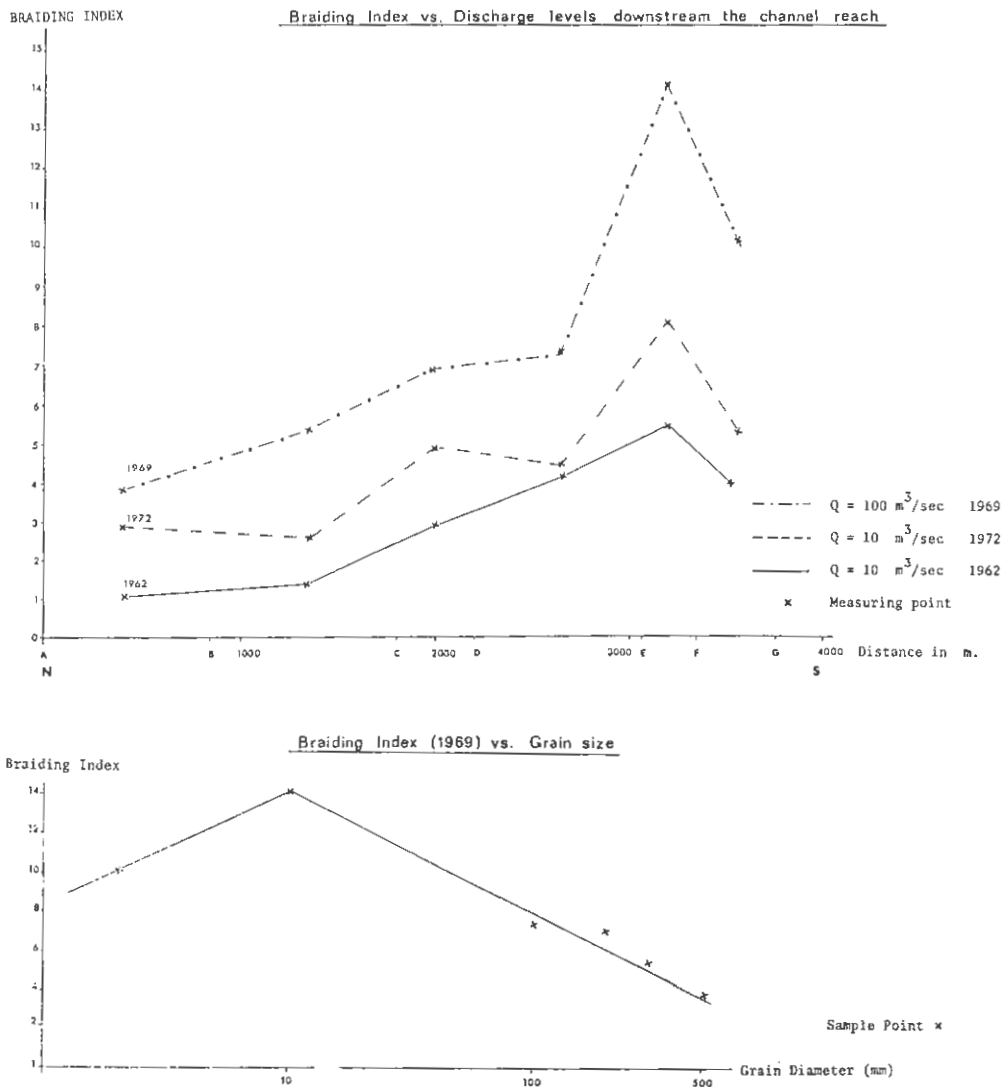
באסים לא חשוב



צייר 6 . מבנים גאולוגיים בבלוון כורזים, המערב לענין הירדן (Marsh and Bar, 1988).

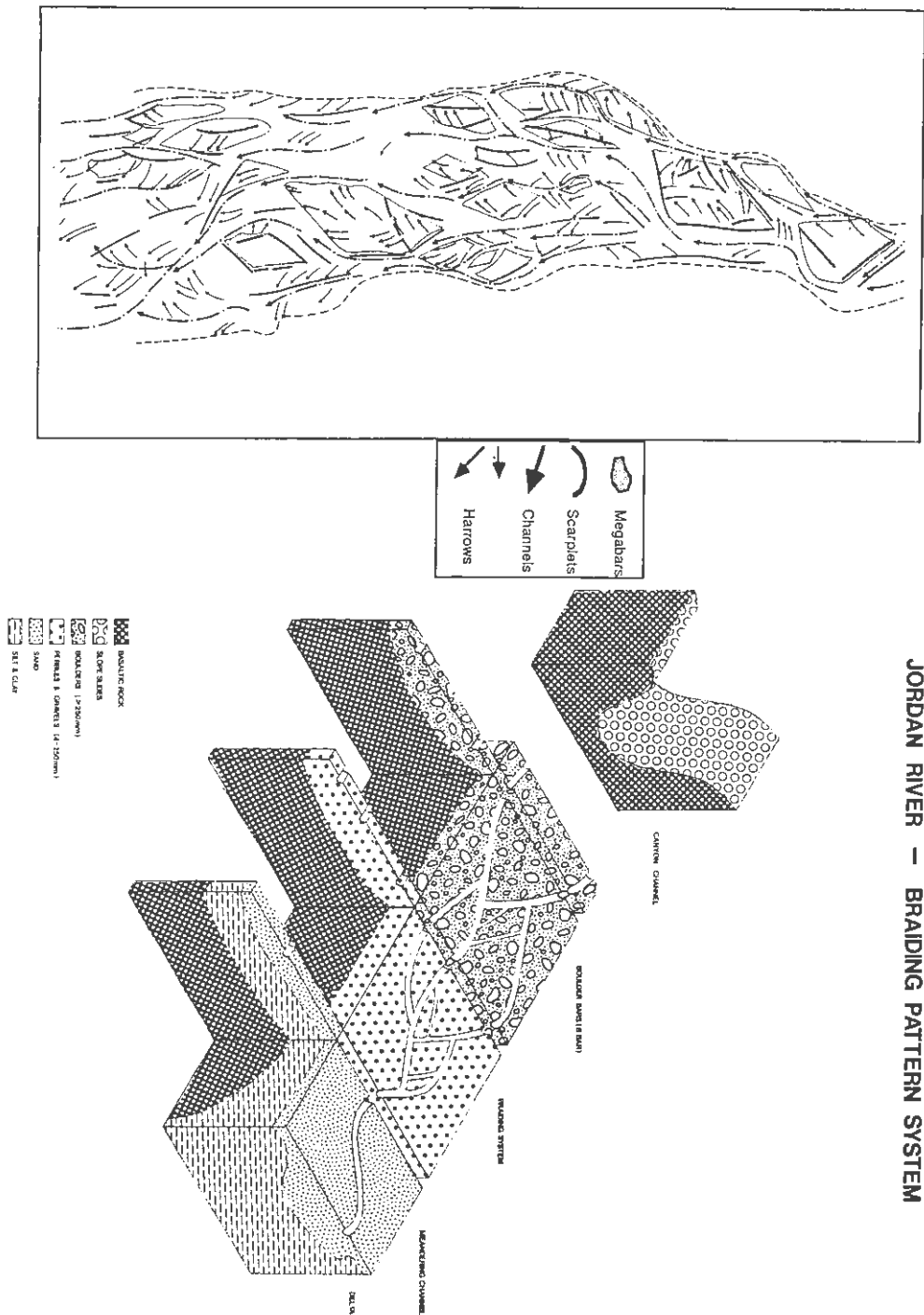


צייר 7 . סוגן גליות-רוֹם ב/ג'יון הירדן (אנן זיר, 1988).



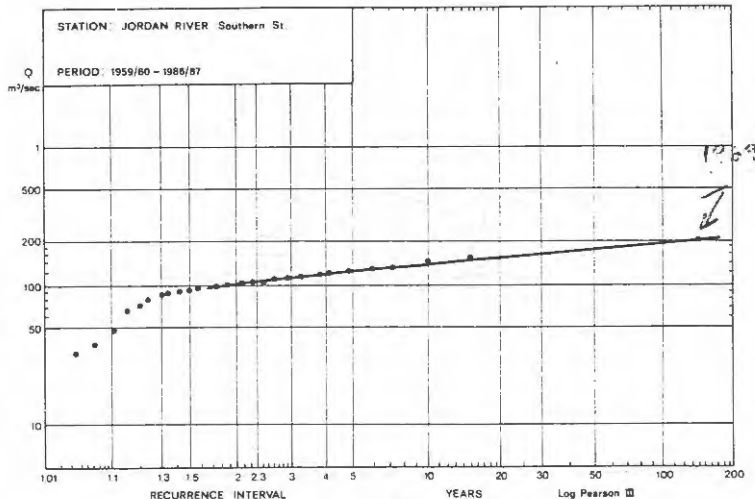
ציור 8. יחס בין שיעור פזרות לספקת מים וגודל גרגר.

## JORDAN RIVER – BRAIDING PATTERN SYSTEM



צירור 9. מעכבות הפטוROTות בירדן.

צירור 10. שייחזר דגם הזרימה בירדן.



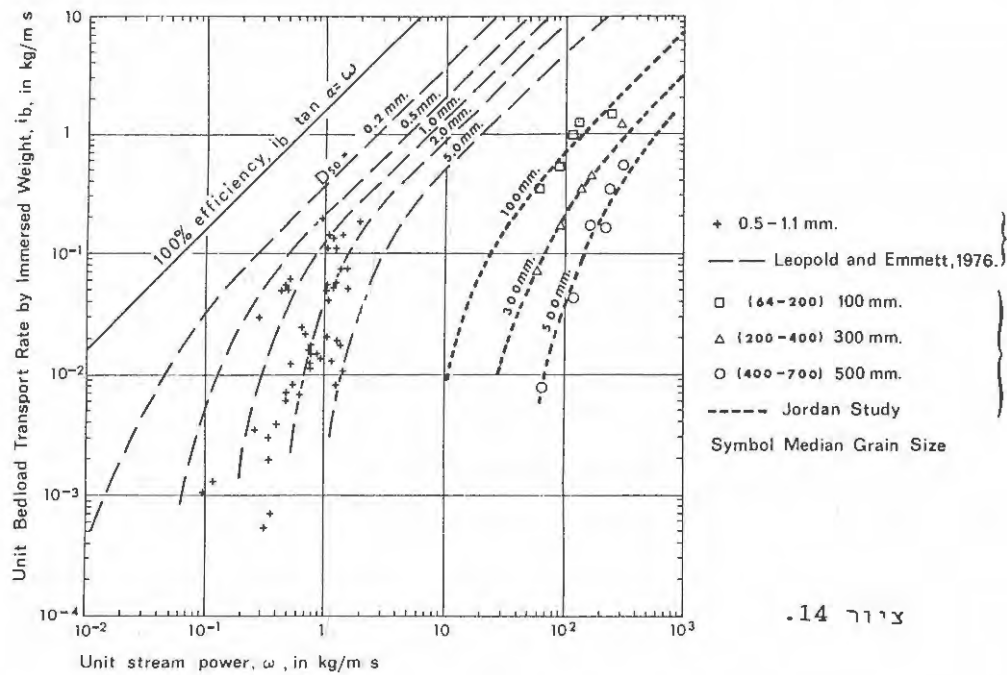
ציור 11. תקופת חזרה של זרימות שיा בירדן.



ציור 12. צילום אוויר של דלתת הירדן (1972).



ציור 13. שרטון מחקר במעליה גשר אלמגור.



## תבשיטות בולגניות בדבבם במתה הפלואן

דורוֹן מָוֶר, המכוּן הַיְאֲוּלָוִי, יְרוּשָׁלָם

### **הקדמה**

בדרום רמת הגולן נחשף חוץ סידמינטרי ו-וולקני של כ-1000 מ'. ניתן לחלק את החוץ על פי התקופות הראשיות בתולדותיו:

**א. השור הסדרומונטרי**  
 מון האיאוקן המתהוו (חצורת פדולם) ועד הפלואן (תצורת גשר) שגע באיזוד זה טור מבה של משקמים ומרים, ובשתיים ואגמים, עם מספר אינטראקציהות רולנדיות. לא נסעוק בחלקה זה של החוץ במסגרת הסירור (ראה סירור ד-2). תזוז בDIR שמיית המשלע הסדרומונטרי עברו על האיזוד מספר אירופים טקטוניים, שכותזאה מהם חלה אירוזיה חזקה אשר גדמה את החוץ. על כן מונחת היחידה הוולקנית הראשונה באירועה זו וירוזיבית על גבי היחידות סידמינטריות שוניות - מצורת פוק (האוליגוקנית) ועד תצורת גשר (הפלואנית).

**ב. גזלת הבולגן**  
 תקופת הפערולות הוולקנית החלה כאשר פְּגֻוָּת_בְּלַת_פְּבָסָרָה החלה לכיסוי את החוץ הגדוע לפני 5.1 מיליון שנה (הגולן הקדום בסיס התצורה בגולן, ליד נאות גולן). הפלתו שבנטה בזלת זו משתרע מבוואות עד הדראזים ומזרחה ומד ממיל' זרמאן במערב, כולל האיזוד שקדם לאחר מכן ויצר את בע"מ ים המלח. במקומות אחדים מיפוי הצלת לעובי של כ-150 – 170 מ', ובמקומות אחרים רק לכ-30 מ'. מגורותיה בגולן היו מספר חרוטי-לבה** ששרידיהם הם מחשופי סְקוּרָבָּן_בְּגָדְבָּסָרָה. תקופת פערולות זו נמשכה עד לפני 3.7 מיליון שנה (הגולן הצער בודר של גג בזלת הכיסוי שנמדד עד כה בגולן, בפסגת הר רם).

**ג. תצורת דלטוֹן**  
 לאחר בזלת הכיסוי חלה הפטאה ארכואה בפעולות הוולקנית, ובמקביל החלה שקיינטו ויצירתו של בע"מ הירדן הנוכחי. לפני כ-3.0 מיליון שנה ועוד לפני כ-1.7 מיליון שנה אירעו התפרצויות שבודדות במקומות מרוחקים זה מזה: בזלת משכי לבנון וזרמה דרך החצבini אל עמק החולה, בזלת רוחנן בקעה בגליל העליון ויצרה את רמת דלטוֹן, תל רומן (ברמת כורדים) פעל אף הוא, ובזלת בזיל זה נקזהה גם בתחום החוץ בשולטים המערברים של הגולן. המדות לפערולות וולקניות בתצורה זו על פניה השתח בדרום רמת הגולן היא בטל ابو אל מיתר, בו נמדד גובה של 2.75 מיליון שנה.

**ד. תצורת אורהֶל**  
 לפני 1.6 מיליון שנה ועוד לפני 1.0 מיליון שנה חלה שוב עלייה בפעולות הוולקנית, והבזלות של תצורת אורהֶל מכסות שטחים גדולים במרכז ובצפונה רמת הגולן, ובפערו עמק החולה ובסוריה. נזרקה של תצורה זו באיזוד הסירור הם:  
 1. **גזלת דלוֹנה** שבקעה מרכס שעף-א-סידדייאן (מצפון להר פרס) ואשר מספק קירוחים** שלא הגיעו עד לאו ובנעת בדק – רמת מgasimim.  
 2. **גזלת גרבונט** שמקורה בסוריה והגיעה באמצעות אגירות הירמוֹן הגדום עד בעומת כנרות.

**ה. תצורת גולן**  
 בה בשמה שמרבית התקופות הקודמות הצטירנו בשפע בזלת ובמעט פירוקלסטיים, הרי שלעדי תצורת גולן; לפני כ-0.4-0.3 מיליון שנה ועוד לפני כ-1.0 מיליון שנה, מראים יחס הפוך: משלות רבות של חרוטי-אפר מכיסים את צפון רמת הגולן, אם כי מהר אודם נפלשות גם כמוריות לבה ונרכות. נזירת תצורה זו באיזוד הסירור היא בזלת בגדען: מזורה הוא בתל חדר שמצפונו-מזרחה למ' דל שטס, והוא דרמה דרומה דוד אפריק הרדוד של הרקן האדום, נפלת אל תזוז האגירות שלו, התהברה לערוֹך הירמוֹן ודרך היפוי נוד בקעת כנרות, מהלך כ-90 ג'מ'.

**ג. מ. ג. ג. ג. ג.**  
 בסביבה הכל התגופות של אחר בזלת הbriscoyi ועד הרום - המשיבה קרכובית בעט רם המלח להמפריך ובעקבותיה העמירון גם אגנירוני רמת הגולן. גושי בזלת טנקרים גלשו על מדרונות הנחלים, חלוקי הבתרמה הצבירנו בموقع הנחלים ונוצרה הקרכובית הנוכחית.

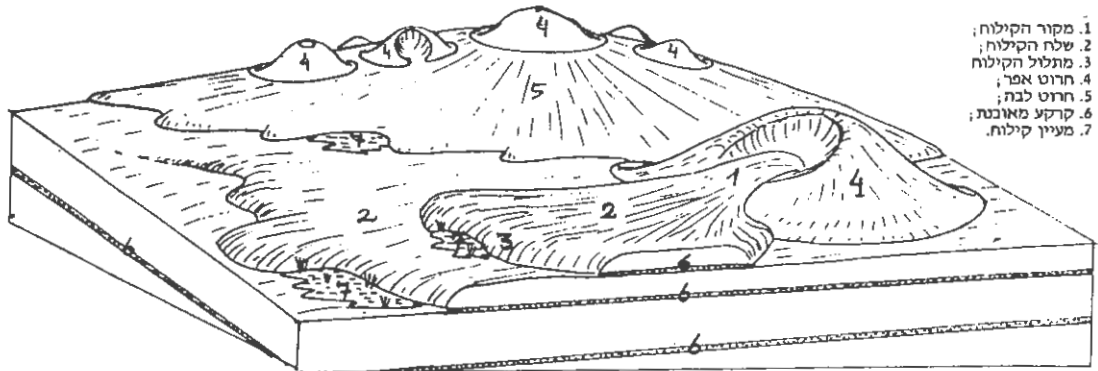
### פבלט היחידות הוליגוניות שבאייזו הסרובי וגולדוון

תגופה	תצורה	גיל AR-A-E נפרט באיזו הסרובי
פליסטוקן מלינו	תצורת גולן	0.1 - 0.4 בזלת רקס
פליסטוקן תחתון-תיכוון	" אודטל	1.6 - 0.7 בזלת דלווה
פלירוגן תיכוון-מלינו	דلتון	3.0 - 1.7 בזלת אבו ניטר
פלירוגן תחתון-תיכוון	בזלת הbriscoyi	15.1 - 4.0 סוריה בנו-יהודה בזלת הbriscoyi

++++++

* המהה: המסלע הוליגוני בגולן נחלק, סטרטיגרפית, למספר תצורות, כאשר אחת מאופיינת כל ידי גבולה גיל דיזוגני, אך היא כוללה לבולר גם יחידות בזלת וגם פירוקלסטיים שמקורותיהם שונאים ואך מרווחים מzd. כל תצורה מתולחת למספר פרטטים, כאשר כל פרט בנוי מסלע אופירוני (בזלת, סוריה או טופ) ואשר מקורתו נמצאים באותו מזומם. (למשל: תצורה אודטל שפירלה 0.7 - 1.6 מילינו שנה כולה גם את בזלת חצנין שמקורה בדרום לבנון, גם את סוריה שיבנו שבמרכזה רמת הגולן וגם את בזלת רומסם שמקורה בדרום סוריה).

### ** שרטוט מס. 1: סכימה להמחשה מושגים הוליגוניים בסרובי



- .1. מקור הקילוח;
- .2. שלח הקילוח;
- .3. מותל הקילוח;
- .4. מרוט אפר;
- .5. חרטת לבנה;
- .6. קרע מאובט;
- .7. מעין קלחת.

**תמתבבבתח—הסבבוב** (ראה מפה מצורפת)

**תמונה 1: מללְאַתְּ מללְאַתְּ (נ.צ. 2133/2552)**

מבחן זו תצפית טובה על 3 היכרות שמצופו-מצדרא לכונת: א) הקבריש עצמו מופיע על **בלוק חרבון** של דרום רמת הגולן. החתק באיזור זה כולל את תצורת הורדים היישורי-קלשטי, מעלה את תצורת גשר האגמים-גירית ומעלה את בזלת היכוסי המופיעה כאן לעובי של 150 מ', ויזה. בחתק זה אפשר ריהת להבחין בעיראק באפיק נחל דליות שמצופו. כמו כן נמצאות בצד הקבריש גלישות גדלות של גושי בזלת.

ב) **בלוק כובודין** הוא הבלוק הנטוי מאיזור קדרון אל הכונת בשווא רחוב בזפונו וצד ימין בדרומו. ממזרח מוגבל בלוק יהודיה בהמגת שיח-עליו (המוכר כ-500 מ') ממזרח למבחן) וממערבו - צל ודי העתק הירדן. הבלוק זה שבו רוחם גם מספר העתקים אטניים, בכירונו דרום-מצדרא לצפונו-מערב, המכתייבים פנויות מדותות במחלד הנחלים.

4 הנחלים הגדולים בבלוק הם: יהודיה, זוויתן, משושים והירדן, הרוצרים יחד מניפת-סחף משופת (הוא בקעת בטרחה) בצפונו-מצדרא הבנרת. בתוך בקעת בטיחה עצמה אפשר לראות את היחידה הקלשיטית הצפירה של חלוקי בטיחה, אשר הובאו לכך מל'ידי 4 הנחלים. עובי של היחידה הוא לפחות 102 מ', כפי שנמצא בקידוחי "בית הבק".

ג) **בלוק כובודין** משתרע ממערב לירדן, ובננה פורט בסירור ב-5.

**תמונה 2: גבעַתְּ בזק (נ.צ. 2215/2576)**

בבנת בזק הינה אחד מחרוטי-הלהבה מתוני-המדרגונות שבנו את הפלתו של בצתת הביסוי. הרות והיא נמצאת כל הhabiיל שבירן דרום רמת הגולן ומכבזה - הר שמכאו ניתנו לראות הרוב את השוני המורפולוגי שבין שתי יחידות-גנו אלה: א) **דרום רמת הירדן** בנור מפלטו בצלת רחוב ואחד, עלייו פזוריים מפער חרוטי-להבה נמכרים: קוות גראן ממערב, תל-אס-קי ותל אבו עיתר בדרום-מצדרא, וכן תל נטור, רוג'ם אל צבי ובני יהודה בדרום. ההבדל מכוסה בדרך כל במעטה קרקע נבה.

ב) **ברבז נצפון רמת הירדן** זרועים חרוטי-אפר גבוים ותלולי-מדרגונות, אשר קוילוחי-להבה נמכרים בזקניים מהם או עוביים ברכיהם. מכאו ניתנו לראות בקידוח את הר פרס, רכס בשנית, הר שיפון, הר דוסיפון, הר אבטל וחרטומים נוספים.

**תמונה 3: המרכז הצבורי (נ.צ. 2222/2566)**

תולדות רמת הגולן רצופים בחילופין של טרופיס התרכזיות וולגןנותו: למשטים נפלשת לבה היוצרת חרוטי-להבה ששוחרים ופלתו בזלתי, ולഫומים נפלשים פירוקלסטיים היוצרים חרוטי-אפר גבוים הבנוניים סגוריה וטו. תוכרי ההתרכזיות מתחבבים זה על גבי זה, כך שעל פניו השטח ניתן לראות רק את הטיפוס האחרון.

בתמונה זו, מהלך כ-300 מ', מכבריש "ציר המפלום", השען אפיק וחל דליות חרוטי-אפר קבוע, הבנוי מאפק סקוריה אדמדמים הנשורדים באופן דידיאלי מהמרכזי בשוליו טופ חום-צהבהב והוא מוקף כולם בקילוחי בזלת. גרווח אירוזיבית מאוחרת יותר גדרה את אפיקיהם של הקבריש והקברירים אחד, והותירה את דרישמה בצורות מישור גידוש ומלו פאלואוסול בעובי של 0.5 - 1 מ', הניכר בנחל בשל פריכות. אילוחי בזלת מאחרים יותר, שמקורם בהבעת בזק, כרסו מחדש את כל השטח וייצרו את הפלתו הנוכחית. כל הגומפלקס כולם שייך לbzלת היכוסי: בסיסו הוא בן 4.5 מ.ש., וגגו 4.0 מ.ש.

**תמונה 4: גבולות רמת מפשפטוב (נ.צ. 2253/2514)**

בתמונה זו חוצה הקבריש את אחד הקילוחים הצעיריים-רחסית (9.5 סיליוון שנה) של בזלת דלווה, אשר הופיע לכוא בתפקידו דרומה מכיוון חרוט שגען-סרג'ידיון (מהלך כ-17 ג'.מ). קילוח הלבה התJKLM בتوز שrox אדום ורדוד, ומשום כך נאלצת מערכת הניקוז להתפרק לשני מרויצים חדשים. אלה הולכים במקביל משני עבריו הקילוח עד אשר הם חוזרים ונפגשים לפני "חטמו" של הקילוח, מכאו הם ממשיכים בזרימתם בעורק הישן. בדרך כלל בזק בעונת האביב במגום כזה גם ממיון-איילוח* גטו, בו מפיקים אותו המים שחלחלו דרך איילוח

הבדלת וזרמו כל גביה הקרקע המואבנת** עד מזיתו של הגילוח. מופיע בזה נראה כולם אמר קודם לנו, ליד בג'ורייה.

הכbesch תרזה את הגילוח, שרחבו כאו כ-500 מ' – ולבן נידן ריהה לחוש בגלות במליה התלולה כל גבי מתולול הקילוח** והמרבי, אחור כך את הנסימנה הירושה שבל גבר שלח הפלות, * ולבסוף את הירודה התלולה על המתולול המדרתי.

**תמונה 5.—תל אבו אל עיתוב (סוטנה בראות טובה, נ.צ. 2285/2483).**

חרותות-ריהה זה הוא היחידי (בירוגריום?) של פנור השטח של רמת הגולן, שבמצע שיריך לתוצרת דתלווי – דהינכו לתרומות הפלות הולקלרית של פנור 0.3 – 1.7 מיליאון שנה. אולם מתרת הביקור כאו היא המבש מזחחה, אל עומק שטח סודיה, כדי לראות את רוחות הנקו בקידונו זה.

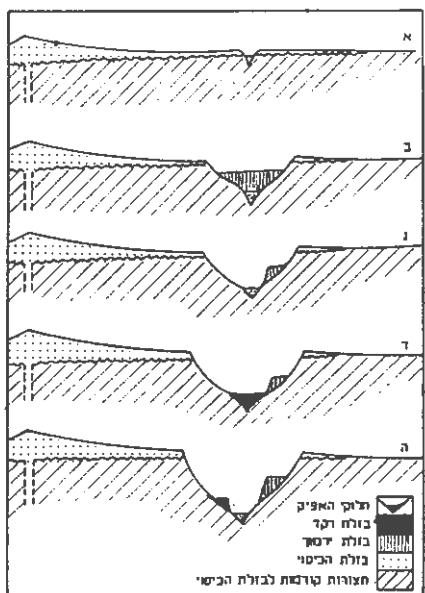
בירום של ראות טובה אפשר לראות מכאן את המשכיות הפלוטן של בזלת היביסו שדר מלחותיו של הר הדרוזים. על פנור המשור הפגום זהה מוצבאים, במרחבים גדולים זה מזה, תרטו-אפר (כגון תל ג'מעע) תרטו-ריהה (כגון תל ג'ביה). כמו כן אפשר לראות-אפר הבנוניים על גביה תרטו-ריהה (כגון תל ג'ביה). כמו כן אפשר להבחין כאן ממד אלייו התפשטה בזלת רגד בתוך טרוּח הרקד הרדוף, ואשר ממנה נפלת אל תוד גנינו הרקד הממוך.

**תמונה 6.—כגון דבוקה (נ.צ. 2149/2470).**

ליד בריבת השחיה של בני יהודת אנו מומדים על שרידינו של חרוט-אפר גדול מאד, אשר חילקו המלירון הוסף באירוזיה. אפלו בז' הרב שהקירות השישתי שנדרך כאו ב-1970 חדר 25 מ', של סקוריה, בלי שפהיט לבסיס.

מקום זה נידן שוב לחדר ולראות את דרום רמת הגולן, אך מזרקה ראייה שוניה. כמו כן נידן לראות את הפלוטן של מבוא-תמה, ובאזורם גם את הפלוטן הקטן של אום-קיס שבירדו – וitherת מתרוכם עם פלוטן מבוא-חמה עד אשר הפריד ביןיהם אנוינו הירטוד המתחר.

### שרטווט מס. 2 : שלבי התפתחותו של אפיק הירמוּך



**תמונה 7.—תמת גרב (נ.צ. 2121/2326).**

בתחנה זו נידן לראות את 3 הבדלות שהיינו צירוני-דריך בהתקחות אפיקו של הירמוּך (ראה שרטווט מס. 2):

א) בזלת היביסו דוצרת את ה- CAPE-ROCK פלוטן מבוא-חמה ופלוטן אום-קיס, שהיינו משטח רצף אחד לפני כ-4.3 מיליאון שנה, כוללם רוחות הירוט הדרומי.

ב) לאחר התחרות במשך כ-5.3 מיליאון שנה נוצר גבינו טמוץ, דרכו זורמת בזלת רםド לפני כ-1.0-0.8 מיליאון שנה.

ג) התחרות הנהר נמשכת, ומבדלת ירמוּך נותרות רק טرسות אחדות בשולי הקבינה.

ד) לפני כ-4.0 מיליאון שנה זורמת בזלת רגד וממלאה שוב את קרקעית האפיק.

ה) ההתקחות נמשכת והולכת, וגם מבדלת רגד נותרות טרסות ורכיכות זוטר.

ה) ריחס שבינו מומק האפיק הרים למשך הזמן בו נחתה – Möglich את גזב ההתקחות וזה. חישוב שנעשה לגבי קיטמי חתך בג בזלת היביסו/ביסוס בזלת ורמוּך;

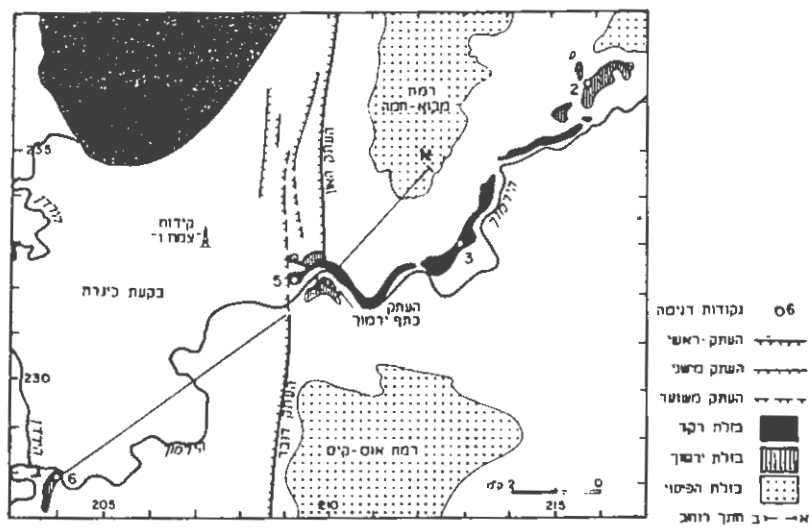
ג) בג בזלת רםד/ביסוס בזלת רגד;

ג) בג בזלת רםד/האריך של הרום) הראה כי גזב זה נע בין 0.2-0.1 מ' בסנה, בהתאם לריחס שבינו מוביל הבדלה וההיר בגע החתק הנחתה (נראה כי ככל שכבות הבדלה רבת יותר – הגזב איתר יותר).

**תמונה 8. מוגדרות גבעות גולני (ג.ג. 2093/2324)**  
 גם מתחנה זו נגלה לראות את שתי הבעיות שדרמו בירמווד: גזלת ורמזן בונה את כתף ירמווד שפדרו לנחר ואת גבעת הבצלת שלמרגלות גבעות גולני (בתוכה חתוריה מסילת הברזל המנדטורית) ואילו בדلت רקע בונה את המזוק התולוי, שנגבלנו צורב בונך של פיגום.

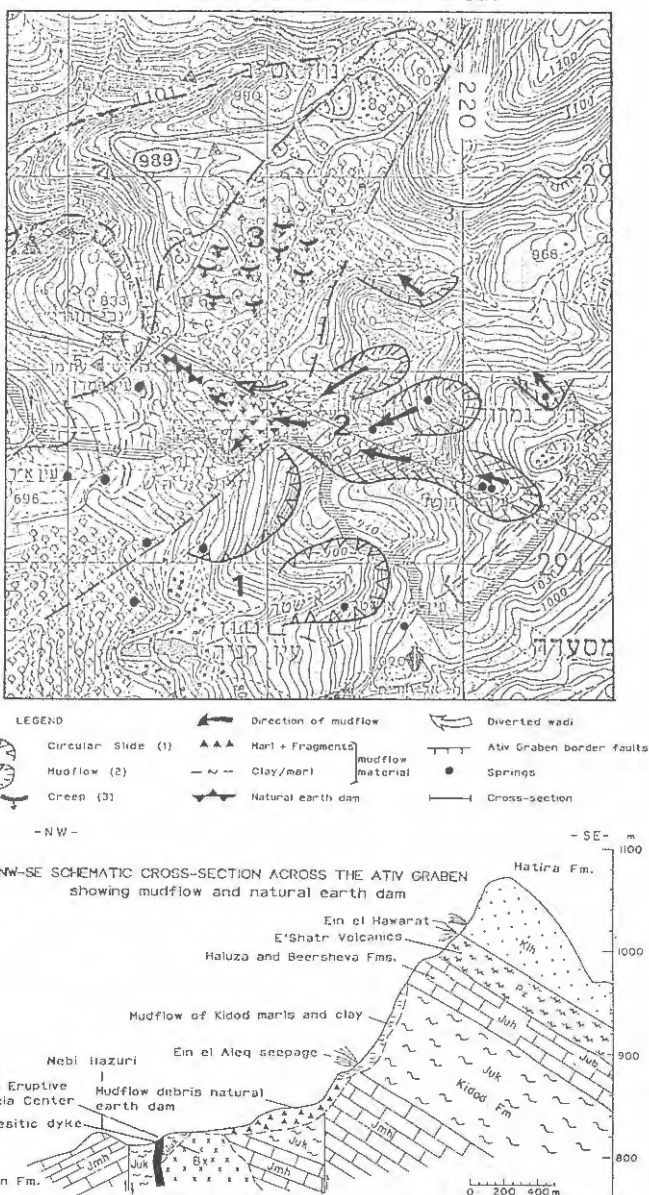
כגון כבר נזכיר הפענת הטפטוגרפיה של הבצע: כתף ירמורז שבורה בהמטת אלבוסטן קטן, המוריד את הבלוק הצפוני, וכל מושבויו הבלתי נשלמים עם הגיינט אל גו העטח הראשי, המועור כאן כ-200 מ' מפניר לתל דובר. ווש לזרינו שבדלת נהריים, המרוממת מכגן כ-7 ק' מבקע אווון, הינה בוגר לדומה לבזלת ירמורז, ועל כן סביר להניח כי היה מזוות את המשכה של זו בתוך הבצע. (ראה שרטוט ס. 3).

**שרטוט מס' 3:** מפה ומחזק של הצלחות ב מוצר הרכוב אל בקעת כבך ות





## THE NEBI HAZURI LANDSLIDE COMPLEX



## THE NEBI HAZURI LANDSLIDE COMPLEX

Yaacov Arkin, Geological Survey of Israel, Jerusalem  
Aryeh E. Shimron, Geological Survey of Israel, Jerusalem

The Nebi Hazuri landslide complex occurs along the southeastern margins of the Ativ Graben. The graben is a tectono-magmatic feature of Early Cretaceous age and the slide complex is related to its geomorphological evolution. Three distinct types of slide movement are observed and all are related to the marls and clays of the Upper Jurassic Kidod Fm. within which slide planes are frequently generated. The slides can be characterized as follows:

### 1. MASSIVE CIRCULAR SLIDES

These are observed along the Eastern Graben Fault (EGF) escarpment-beneath Heahzut Nimrod on the north, and Ein Qinya on the south. Sliding involved mass movement of several hundred thousand cubic meters of material, including limestones from the Jurassic Hermon, Beersheva and Halutza Fms., marl and clay from the Kidod Fm., as well as overlying Early Cretaceous volcanics (E'Shatr Sequence) and sandstones from the Hatira Fm. (Fig. 1).

### 2. MUDFLOWS

The mudflows were generated by movement of Kidod Fm. marls and clays exposed along the EGF escarpment. The focii of the mud flow are spatially related to springs and seepages such as Ein el-Hawarat, Ein el-Aleq, Ein Wadi e-Shatr and Ein Qinya. The mudflow material is an unconsolidated, polymict conglomerate consisting of pebbles, cobbles and fragments from the Upper Jurassic and Early Cretaceous (and others ?) column. The clasts are loosely bound in a clayey-muddy matrix mostly originating in the Kidod Fm.

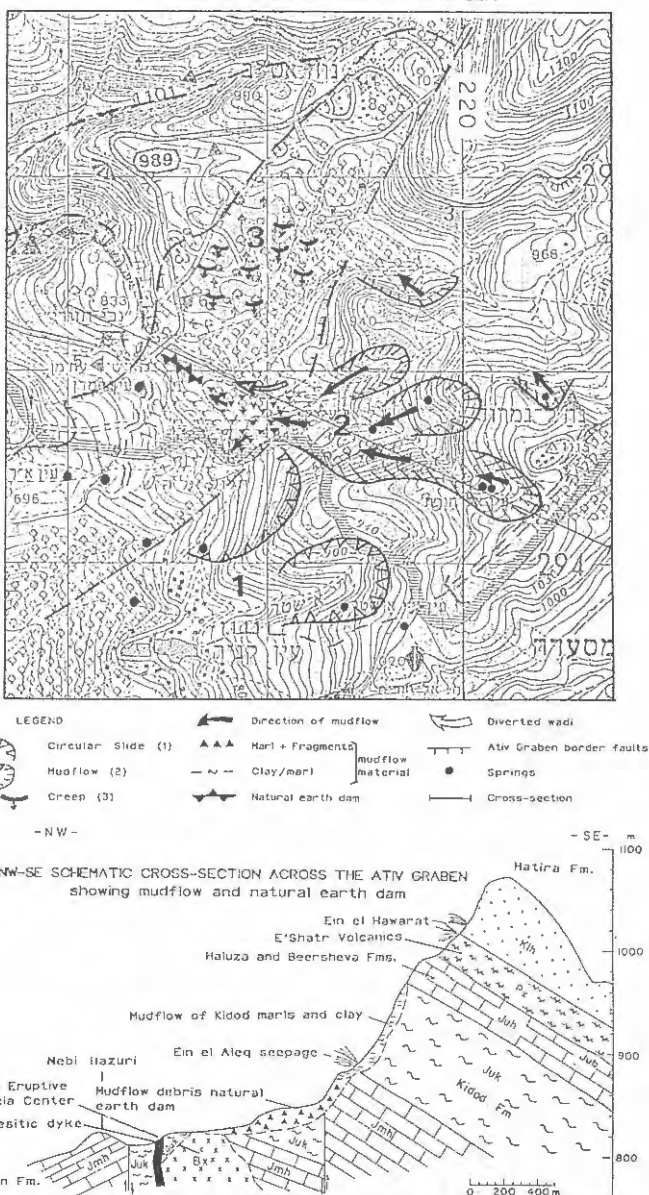
### 3. CREEP

Down-slope creep of the Kidod Fm. marls and marly limestones occurs on the broad and shallow NW slopes of the Ativ Graben. It appears to be the youngest of the mass movement phenomena. The creep is manifested in a series of faults of small ( $<1$  m) displacements which are subparallel to the strike of the slopes. The down-faulted block generally dips back into the slope, resulting in a pattern of stepwise down-slope transport.

Although the specific timing of the various slide phenomena is not immediately obvious, it can be seen that some slides affect the present day hydrographic system. In the earlier steps of morphological development of the graben the hydrographic system very likely flowed parallel to the long (NE-SW) axis of the graben. During latter stages, a major mudflow, generated at Ein el-Hawarat, formed a natural earth dam between Nebi Hazuri and Ein el-Hawarat, diverting Nahal Hazuri to flow in a NW direction thereby also cutting across the NW border fault.

The Hazuri landslides are an important key in our understanding of the more recent evolution of the Ativ Graben. In particular, they elucidate the erratic position of the Hatira Sandstone and its E'Shatr Sequence volcanic substratum within it.

## THE NEBI HAZURI LANDSLIDE COMPLEX



**EARLY CRETACEOUS MAGMATISM**  
**ALONG THE SE FLANKS OF THE HERMON RANGE**

Aryeh E. Shimron, Geological Survey of Israel, Jerusalem

**PURPOSE:**

The purpose of this excursion is to examine the various, newly mapped, intrusive and extrusive bodies which comprise the Neve Ativ Magmatic Center (Fig. 1). The excursion will focus on the field character and geometry of these bodies, discuss their peculiarities and attempt to investigate, and possibly establish, a genetic relationship between the various morphologic and petrological units. In addition, a brief inquiry into the possible relationship of Early Cretaceous tectonics and the magmatic history on the SE Hermon will also be made.

**TERMINOLOGY:**

Some of the terms used in this introduction to the volcanology of the SE Hermon are employed as follows:

**COLLAPSE CALDERA:** A basin-shaped volcanic depression, produced by collapse of the roof of a magma chamber due to the removal of magma by voluminous pyroclastic or lava eruptions.

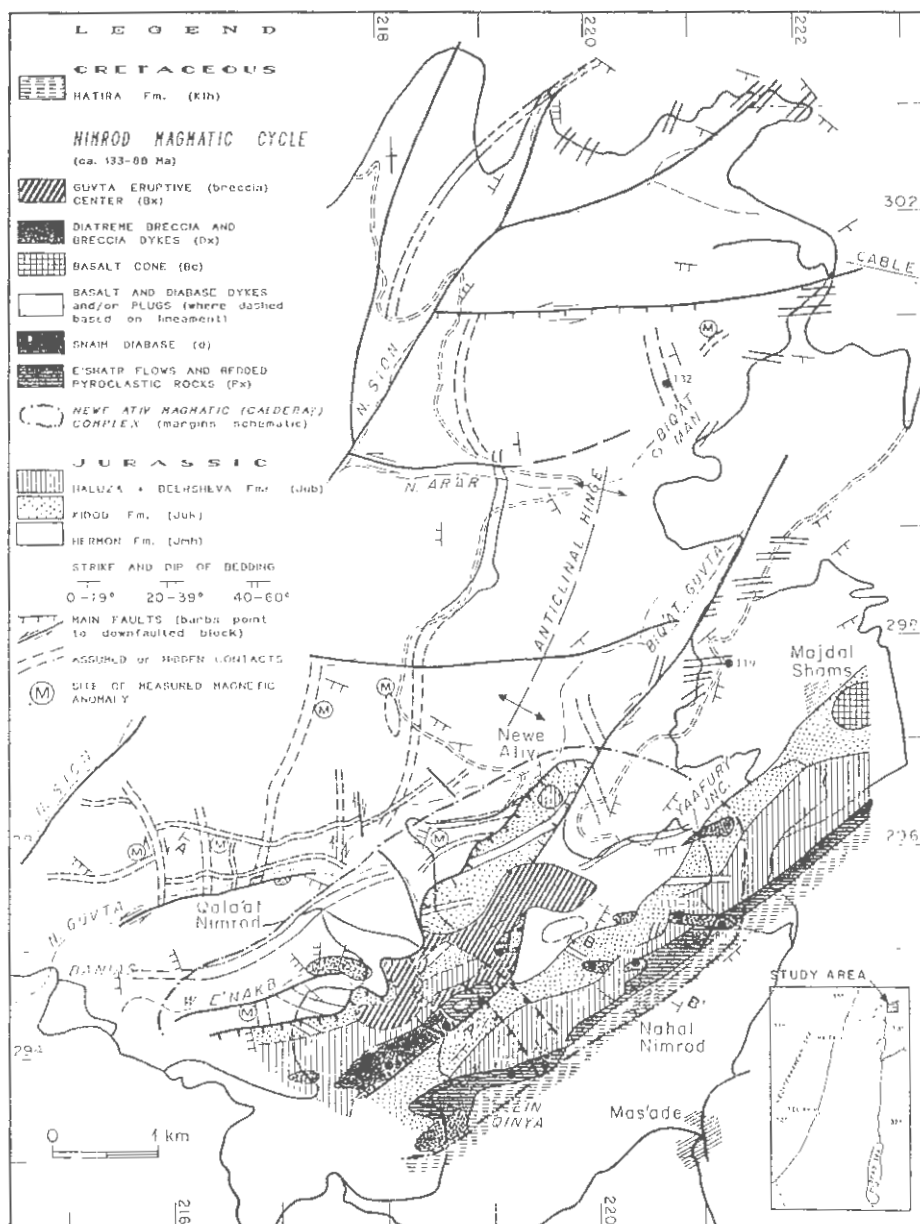
**DIATREME:** A diatreme is a funnel-shaped explosion pipe which resulted from a magmatic gas eruption. It can also be a lava and/or tuff-filled volcanic neck. Diatremes are similar to Maar-type volcanoes (Eifel region of Germany), to the well known Navaho and Hopi Buttes in Arizona and vents in Fife (Scotland) Schwabian Alb (Germany) and others. Most vents of this type are filled with alkalic basaltic volcanic rock or Kimberlite. Blocks of sedimentary rocks, derived from the vent walls, are common constituents. Shoemaker (1962) recorded the following structural development for the Hopi Butte diatremes:

- (1) Explosive activity and gas coring of the vent;
- (2) Subsidence, collapse of the walls, and sedimentary infilling of the crater;
- (3) Quiet upwelling and spilling out of lava.

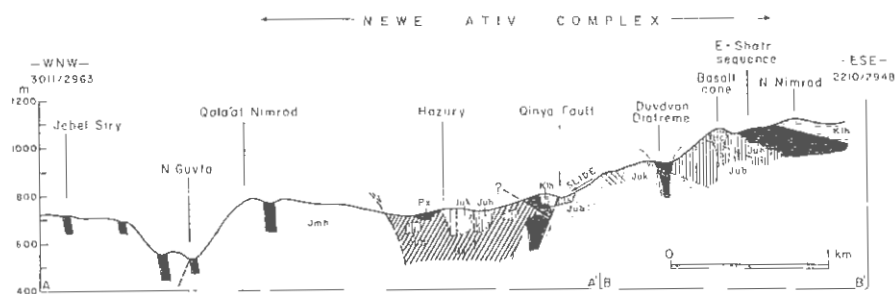
The gases which caused the catastrophic brecciation could therefore be juvenile constituents of the rising basaltic magma, and/or, steam derived from the rapid heating up, by rising magma, of ground water. The terminology is not entirely clear vis a vis steam explosions alone. Many diatremes contain metalliferous mineralizations, or diamonds - if they are Kimberlitic or lamprophyric.

## PRELIMINARY GEOLOGICAL MAP OF THE SE HERMON RANGE

by Aryeh E. Shimron



COMPOSITE SECTION A-A', B-B'



**BACKGROUND:**

A regional geochemical exploration program was carried out in recent years on Mount Hermon. Based on the results of this program (Shimron, 1988), attention was drawn towards magmatic bodies, some of them recognized from previous mapping and investigations (Dubertret, 1955, 1966; M. Goldberg, unpublished data; Goldberg et al., 1981; Bonen, 1980; Mor et al., 1984 and Mor, 1985). Nonetheless, preliminary detailed mapping, with stress paid in particular to the magmatic units, revealed a new volcanic field centered roughly between Newe Ativ, Nahal Nimrod, Ein Qinya, Banias and Qala'at Nimrod. The core of this field is manifested in a conspicuous morphological but also crater or caldera-like depression. Based on the results from the first stage of our geological and geochronological program the following conclusions were drawn (Shimron and Lang, 1989):

(A) K-Ar data indicate that Hermon magmatism took place from ca. 133-90 Ma, which corresponds roughly to the entire Early Cretaceous time span.

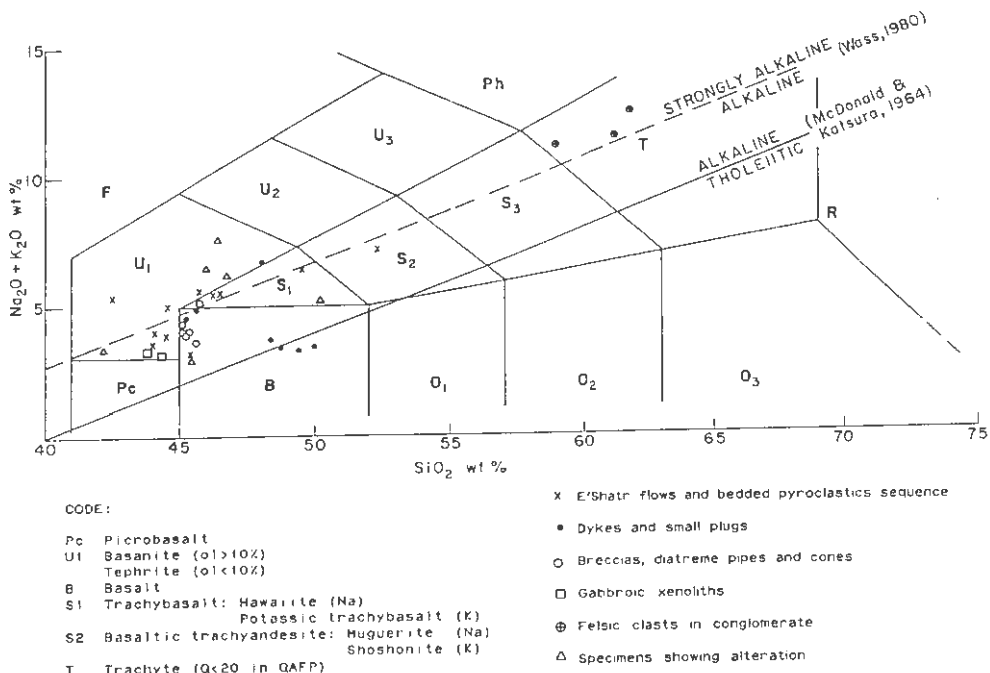


Figure 2. Total alkali-silica (TAS) diagram (after Le Bas et al. 1986), including root names, representing the compositional range of the Mt. Hermon magmatic rocks.

(B) Geochemically, the dominantly basaltic rocks of the Hermon range from basanite (133 Ma) through alkali olivine basalts (132-90 Ma), and to tholeiites (ca. 130-123 Ma). The alkali olivine basalts appear to be the most widespread and dominant magmatic phase.

(C) Petrologically, the rocks of the SE Hermon range from basalt and diabase, to trachybasalts (Hawaiites), trachyandesites (muguerites) and possibly, some trachyte. The latter occur as discrete concordant clay horizons in the bedded (E'Shatr) section, but also as clasts in a small conglomerate body and in vent breccias. The basaltic rocks range from glassy to porphyritic to diabasic varieties. Polymict and monomict explosion, intrusion and collapse breccias are widespread and important in the magmatic sequence. Figure 2 shows the petrologic range of magmatic rocks on the Hermon Range.

The term "Nimrod Magmatic Cycle" was coined for the whole range of intrusive and extrusive rocks on the Hermon Range (Shimron, 1988), in particular to replace the rather enigmatic term "Banas Basalt" (e.g. Mor, 1985). The Nimrod magmatic rocks constitute dykes, plugs, diatreme breccia pipes and dyke-like breccia bodies, an eruptive center, small volcanic cones and bedded flows and pyroclastic rocks. Some of the breccia bodies and cones are seen to transgress through the Late Jurassic-Early Cretaceous erosion surface and the bedded sequence overlies Late Jurassic limestones of Callovian-Oxfordian age. At no time were any of these bodies observed to transgress into the Hatira sandstones, although, granules of sand have been observed in the uppermost tuff horizons and in a laterite unit at the sandstone-pyroclastics interface.

The term "Newe Ativ Magmatic Complex (Fig. 1) was coined for the intrusive and extrusive rocks which are organized around the Guvta Eruptive Breccia and its morphologic (crater?) depression.

The Mt. Hermon intrusive and extrusive rocks were divided into a number of lithological mapping units (Fig. 1 and Shimron and Lang, 1989), these are described in brief, below.

## FIELD OCCURRENCE AND PETROLOGY

### (1) THE GUVTA ERUPTIVE BRECCIA

This important body comprises the geographic core of the Newe Ativ Magmatic Complex. It is up to 1 km wide and 3 km long, roughly oval in plan. It transgresses all the Late Jurassic formations but its absolute age is not known. Some of its unique qualities are manifested in the following characteristics:

(a) It is always a polymict breccia, most fragments were ground-down by attrition, they are rounded to subrounded and average about 2-4 mm in size, however many clasts are meters to tens of meters, and some collapse blocks perhaps hundreds of meters in size (roof pendants ?). Most of the Ativ Graben appears to be floored by the breccia body.

(b) The constituent fragments in the breccia comprise numerous magmatic rocks, spherulitic, flow banded glassy basalts are by far the most dominant, but trachyte, lamprophyre, diabase, gabbro and many sedimentary rocks from the Jurassic (and other ?) column are also found. The matrix of the breccia consists of broken phenocrysts of olivine, and/or serpentine, clinopyroxene and zeolites set in micro-to cryptocrystalline carbonate, feldspar, pyroxene and basaltic glass. Megacrysts of black clinopyroxene with a conchoidal fracture are at times seen. Exotic phenocrysts (garnet and/or perovskite and melilite) are also present, however the rock does not appear to show the chemical or mineralogical characteristics of a carbonatite.

#### (2) DIATREME BRECCIA PIPES AND BRECCIA DYKES

These breccia bodies were emplaced around the periphery of the Eruptive Center, and their distribution, morphology and composition imply a close genetic relationship with it. The breccias may be dyke, funnel or oval in shape. It is probably significant with respect to their origin that, with one exception, such breccia-bodies occur only within the J5 (Kidod) and younger Jurassic Formations. At least one (the Yaafuri Vent) clearly reveals a transition from a narrow dyke-shaped morphology in the Hermon Fm. flaring out rapidly into a funnel shape on passage into the Kidod Fm. This change in shape is also accompanied by a change from a more massive basaltic rock into a volcanic breccia which is framed by spectacular tuffisite (J5 breccia) wall rocks.

The breccias are polymict or monomict, thereby perhaps implying different modes (i.e. phreatomagmatic vs. degassing, see below) of formation. Compositonaly these rocks are olivine + pyroxene phyric basalts. The matrix consist of fine laths of plagioclase and pyroxene. Zeolites occur in most, and fine flakes of biotite are an accesory constituent. The polymict varieties (e.g. the Duvdvan Diatreme, Fig. 1) carry exotic nodules of discreetly layered (cumulus ?) spinel gabbro, monchiquite lamprophire, trachy-andesite, diorite, partially assimilated limestones and perhaps others not as yet identified. Ultramafic nodules were not found, however, it is possible that glomeroporphyritic (clusters of) clinopyroxenes may represent mantle nodules of pyroxenite. Megacrysts of kaersutite (titaniferous amphibole) and plagioclase (andesine-labradorite) are characteristic constituents of the Duvdvan Diatreme. In contrast to the Guvta Breccia, carbonate is not an important matrix constituent in the smaller breccia bodies, thereby perhaps pointing to a different protolith.

**PLEASE, DO NOT BUST THESE, OR ANY OTHER XENOLITHS, OUT OF THEIR HOST ROCKS FOR COLLECTION PURPOSES. THEY ARE RARE AND IMPORTANT**

#### (3) BASALT CONES

Two basalt cones are present in the map area. One is the well known cone in the center of Majdal Shams (Mor et al. 1984, and Mor, 1985), the second is a small cone beneath Neue Ativ. The latter seems to have pierced through the uppermost Jurassic (J5 and J6) Formations and the bedded flows and pyroclastic sequence (Fig. 1 and see below). The basalt in the cones consists of

olivine + pyroxene phenocrysts and megacrysts in a strongly flow banded matrix of pyroxene and plagioclase laths and small euhedral olivines. In contrast to the breccia bodies (above) they lack analcite, biotite and xenoliths. It is not as yet clear whether two generations of pyroxene and olivine (phenocrysts and matrix) are here represented.

#### (4) BASALT AND DIABASE DYKES AND PLUG-LIKE INTRUSIONS

Dykes and small sub-circular plug-like intrusions of porphyritic basalt are characteristic throughout the upper Hermon region where they intrude the J4 limestones. Most are deeply weathered to clay minerals and consequently manifested as white, tabular, discordant bodies of clay. Many of these dykes are spatially, and indeed very likely also genetically, associated with brown discordant bodies of dolomite, Fe-mineralization and a conspicuous Karst morphology. Major concentrations of dykes, which are invariably also accompanied by such dolomite bodies, are visible along the peripheries of the main Karstic collapse depressions (i.e. the Bik'at Guvta and Bik'at Man poljes). In both the above cases, E-W normal faults cut across these zones of dyke-dolomite-Karst concentrations (Fig. 3).

Because of the clayey alteration and deep weathering of the basaltic dykes, most are exposed only along fresh road cuts, however others can be postulated where they are manifested by conspicuous lineaments filled with a deep vegetation cover. Many of these were investigated with the magnetometer and strong magnetic anomalies were generated above such linears, thereby confirming the presence of a buried dyke. The dyke swarms on the Hermon show the following principle directions (in order of decreasing importance);

(a) E-W; (b) NNE-SSW till NE-SW; (c) NNW-SSE and (c) N-S. Based on field interpretation from intersecting linears along the south-facing slopes of Nahal Guvta, the impression is that the NNW-SSE and N-S dyke suites are older than the E-W. Individual K-Ar dates give some credence to this speculation; a NNW-SSE trending dyke, or plug, above Bik'at Man gave an age of ca. 132 Ma whereas an E-W trending dyke above Bik'at Guvta, an age of 119 Ma (Shimron and Lang, 1989, and Fig. 1).

#### (5) SNAIM THOLEIITIC DIABASE

A major NE-SW trending intrusive body of massive diabase is present along the SE margins of the Guvta Eruptive. Its field relationships have not as yet been clearly established. Along its SE margins it is in fault contact against the Kidod Fm. and just north of Ein Qinya it is tectonically (slide) overlain by a block of Hatira Sandstones and its olivine-phyric basalt substrate (discussion below). The diabase is coarsely crystalline, with a prominent ophitic texture seen in the intergrowth of plagioclase and pyroxene crystals. Some olivine is also present. On the alkalies against silica diagram (Fig. 2) these rocks are seen to be tholeiites and here define a distinct petrological group with a higher silica and lower alkalies content than the other units. Geochemically similar rocks are other NE-trending dykes, inclu-

ding the Mt. Kahal diabase and others.

The Snaim Diabase gave a K-Ar age of ca. 130-123 Ma (3 samples). In contrast to most of the other extrusive and intrusive rocks in the area, this moderately coarse grained body was very likely emplaced at some depth.

#### (6) E'SHATR FLOWS and BEDDED PYROCLASTIC ROCKS

The southeastern margins of the Neue Ativ Magmatic Complex are marked by a 50-200 m thick bedded sequence which occurs directly beneath the Hatira Sandstones (Figs. 1-4). In the area of Heahzut Nimrod this section consists of porphyritic flows (basanites), some trachybasalts (Hawaiites) and trachyandesites (muguerites) and towards the top discreet intercalations of mafic crystal, lithic and lapilli tuffs and glassy ashes. About 1 km to the SW, in the area of Wadi E'Shatr, the upper basalt is a coarse crystalline olivine phryic basanite with an ophitic matrix. The pyroclastic rocks are here interbedded with carbonates and shales. The presence of ostracods in some tuffaceous shales suggests a fresh-brakish environment of deposition (compare with the Tayasir Volcanics, Mimran, 1972). These significant lateral variations in the bedded sequence suggest varying environments of deposition, different depths of erosion and thereby exposure and perhaps, different protoliths.

#### FIELD RELATIONS:

**Dykes:** Dykes were not seen cutting any other magmatic bodies, or each other. However, as briefly discussed above, at least two, possibly three, phases of dyke intrusion appear to have taken place. Presently still limited K-Ar dates and geological data seem to suggest that this intrusion sequence may have proceeded from (1) NW-SE dykes (ca. 132 Ma), (2) NE-SW dykes (ca. 130-122 Ma tholeiitic phase) and (3) E-W dykes (ca. 120 Ma). It is likely that emplacement of the dyke suites was controlled by the regional Late Jurassic-Early Cretaceous tectonic setting (Table 1 and below). In this respect, it is also noted (Figs. 1 and 3) that most dykes appear to be concentrated within or very near to, the major NNE-SSW and E-W trending fault-shear zones. Such areas were also favourable sites for the evolution of the major tectonic-karst depressions such as the Bik'at Guvta and Bik'at Man poljes, and numerous smaller dolinas.

**Breccias:** The distribution and geometry of breccia dykes and breccia pipes may suggest a buried ring dyke system around the Guvta Eruptive, but structural evidence for this has not as yet been found. It is feasible that these rocks merge with dykes at depth, and some evidence for this is seen at the Yaafury Diatreme. The breccia bodies and basalt cones pierce through the E'Shatr bedded sequence (at 2212/2953). Such examples are however very rare. The Guvta Eruptive transects across the Kiddod, Beersheva and Halutza Fms. and blocks of these sediments "float" in the breccia (roof pendants?). The breccia appears to cut across the Snaim Diabase in its central portion. In one particular case (the Hazury Spring, 21840/29485), the Kiddod Fm. is cut by a basaltic dyke, both are cut by the breccia which also

contains abundant xenoliths from these units.

TABLE 1. Variation in magmatic bodies and magma types and their relation to the suggested tectonic setting (in a dextral wrench fault system) with time, on the SE Hermon Range.

MAGMATIC BODIES	MAGMA TYPE	STRUCTURES (tectonic setting)	AGE (MYBP)
E'Shatr Sequence bedded flows and pyroclastics	Basanite, ha-waiite, mugearite, trachyte	Subarial volcanics, regional emergence	133
NW-SE trending dykes and small plugs	Alkali olivine basalt	NW-SE trend parallel to (x-compressional) fractures	132
NE-SW dyke suite	Tholeiitic olivine dia-base	Parallel to P and Y shears and major faults (i.e. EGF)	130-122
E-W dykes, diatreme breccia pipes, cones & Guvta Breccia Center	Alkali olivine basalt	E-W normal faults and extension structures, collapse of tectono-magmatic basin (Ativ Graben)	120-90

#### TECTONICS:

The interested reader is referred to the abstract on LATE JURASSIC-EARLY CRETACEOUS TECTONISM ON MOUNT HERMON (in the accompanying volume) which presents an overview regarding this subject. In summary: the arrangement of the magmatic bodies on the Hermon seems to suggest that a pre-existing fault-fracture system controlled their emplacement. This view is also manifested by the "intimate" spatial relationship between the Guvta Eruptive Breccia and the Ativ Graben, within which the breccia occurs almost in its entirety. A genetic association between this collapse feature, the chaotic nature of the blocks within it and the explosive character of the breccia can therefore be safely postulated. This conclusion and the fact that the Eastern Graben Fault has not displaced the NW boundary of the eruptive, allows the

rational that this major fault and possibly many of the other structures are of Late Jurassic-Early Cretaceous age. These data and the postulated tectonic scenario are summarized in Fig. 3 (below).

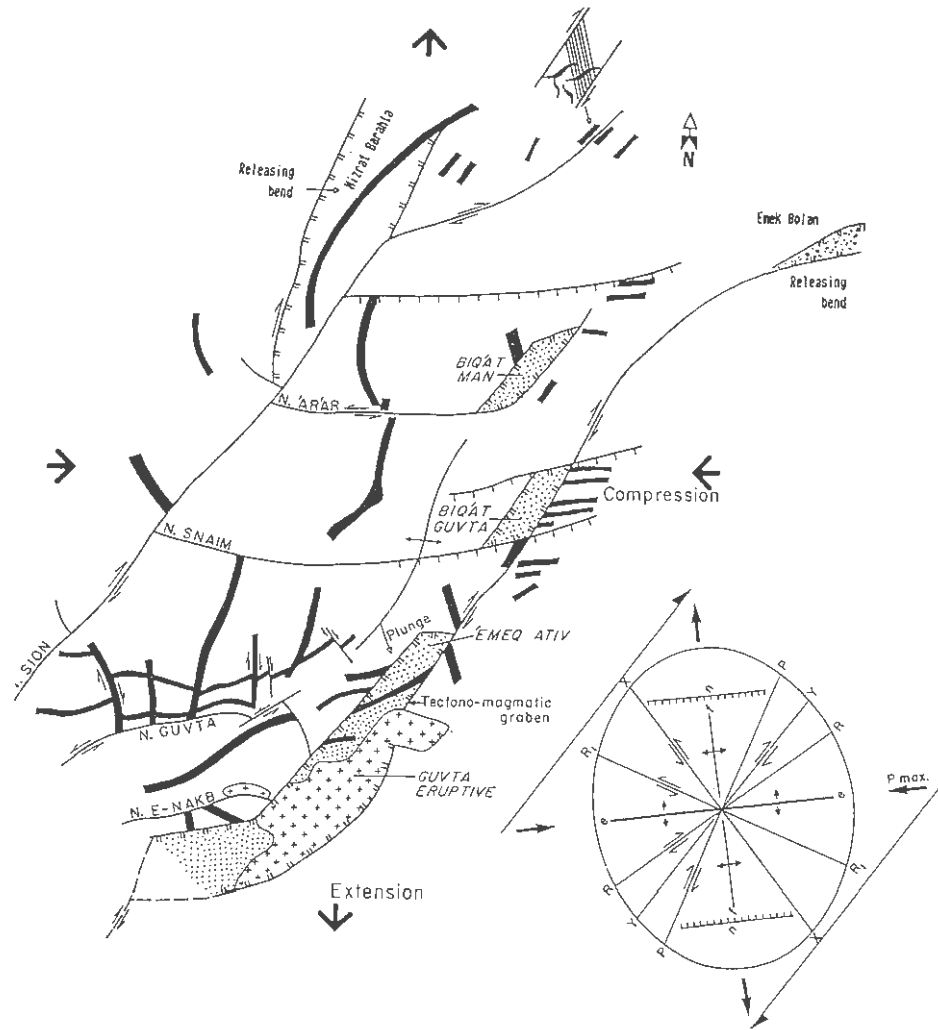


Fig. 3. Conceptual interpretation of the tectonic and magmatic setting on the SE Hermon Range during the Early Cretaceous. This whole block may require up to  $60^{\circ}$  clockwise rotation to compensate for the suggested Neogene counter-clockwise movement. Note that such a rotation will also realign the  $P_{max}$  with that proposed for the Late Cretaceous Syrian Arc stress field. The strain ellipse (under ideal conditions and oriented parallel to the compression and extension axes in the sketch) reveals the compatibility of the model suggested by the field data, and that predicted from experimental and theoretical work.

## DISCUSSION AND SOME UNANSWERED QUESTIONS:

Many problems remain regarding our understanding of the magmatic and tectonic history of the Hermon Range. Following are some of enigmas we should ponder while examining these rocks and try to understand their evolution:

The Newe Ativ Magmatic Center shows the following tectono-magmatic features:

- (a) A central volcanic crater (Guvta Eruptive Breccia).
- (b) A partial tuff and lava ring (E'Shatr Bedded Sequence).
- (c) An external ring of explosive vents and dykes.
- (d) Subsidence of a central complex along normal faults, perhaps due to collapse of a magma chamber at depth.

1. Do these units and their observed geometric pattern conform to what we should expect from a central volcano (caldera?) - satellite vents-tuff ring relationship? Is the Guvta Breccia the throat of an Early Cretaceous volcano?

2. What is the origin of the fine carbonate matrix in the Guvta and some of the other breccia bodies? Is it fine carbonate originating from the intense mechanical abrasion of the ubiquitous limestone xenoliths, or can a magmatic source of the carbonate (such as carbonatite) be postulated?

3. Mechanism of emplacement: The breccia bodies encountered could be products of; (a) "phreato-magmatic" eruptions (due to magma encountering water-saturated rock) or; (b) violent emplacement due to the rapid unmixing of gas from a magma ascending through the crust along fissures as suggested by Shoemaker et al. (1962) or; (c) due to the high CO₂ content resulting from the assimilation of numerous limestone xenoliths in the basaltic magma, resulting in catastrophic CO₂ degassing and thus the explosive character of many of these rocks. In considering these models note that phreatomagmatic explosions are likely to be restricted to shallow depths. In such a case, exotic (i.e. basement and mantle) xenoliths would have been brought to near surface levels with the carrier basaltic magma where hydrovolcanic fragmentation would result in the breccias now observed. In cases (b) and (c) eruptions were driven by magmatic, and other volatiles, especially CO₂.

4. Xenoliths and Megacrysts: Megacrysts of clinopyroxene (here an aluminous augite, with high Cr and Ni), Kaersutite (Ti-amphibole) andesine and some others, are important constituents in some of the diatreme pipes. Such minerals are frequent constituents of alkali basaltic rocks and have been interpreted by many workers (e.g. Irving, 1974, and references therein) as phases which crystallized at high pressures from their host or from related magmas. Can indeed the Hermon megacrysts be interpreted as high pressure crystallization products cognate with the enclosing lavas, or, do they perhaps represent older cumulates? Evidence for the latter is indicated by xenoliths of discreetly layered spinel gabbro in the Duvdvan Diatreme, where megacrysts are also abundant.

FIELD TRIP STOPS:

Please consult Figure 6 for the excursion Station Locations.

STOP 1 - Qala'at Nimrod

Regional Overview: From the parking lot of the fortress, at an elevation of 750 m we can view, towards the north and northwest across Nahal Guvta, the lineaments created by the intrusion of the N-S and E-W trending dyke suites into the Hermon (J4) Fm. Observe the displacements of the E-W on some of the N-S dykes, which must have acted as lines of weakness and stress release. The age of these faults is not known. Towards the south, the collapse depression of the Ativ Graben (floored by the Guvta Eruptive) can be seen. Immediately beneath, to the SE, the small oval depression just above Wadi E'Nakb is the E'Nakb Diatreme, a section of which is exposed on the main road. This diatreme could in fact be a westward extension of the Guvta Eruptive. As we walk back towards the gate and the main road, note the dolomitization of the J4 limestones, the related Karstification and the presence of some younger speleothems. The clayey remnants of the Banias basalt dyke can be viewed just before we reach the gate at the main road. Nearby, in the olive grove, a large water reservoir was built above this altered basalt, the clays of which provide an excellent aquiclude.

STOP 2 - NEWE ATIV ROAD CURVE

Regional Overview: View towards the south and southwest of the Neue Ativ Magmatic Complex. The following can be seen:

The Guvta Eruptive Breccia: The sharp SE contact of the breccia body against J4 limestones, and its southwestward continuity are well exposed. The northern contact of the breccia transects the major fault (the EGF or Qinya Fault) which separates the Hermon and Kidod Fms; this contact shows no displacement on this important fault line, implying that the fault is entirely of Early Cretaceous age. To the SE we see the Late Jurassic stratigraphy (Hermon, Kidod, Beersheva and Halutza Fms.) with a gentle to moderate SE dip of the units. On the horizon towards the SE, the cliffs are Hatira Sandstones. The dark grassy slopes beneath the Hatira and the road towards Heahzut Nimrod, consist of the E'Shatr Bedded Sequence. Directly west, the Yaafury Diatreme and other magmatic bodies can also be seen. Behind, along the main road, one of the E-W dykes is exposed. Observe the typical features associated with such dykes where they cross the J4 limestones: (a) a black alteration of the J4 due to baking by the hot dyke; (b) dolomitization; (c) minor iron mineralization and; (d) some speleothems depbsits in small karstic solution openings. The dyke itself is hardly recognizable, but the massive transgressive clay horizon, its alteration product, is.

STOP 3 - SHEIKH HAZURY

This stop provides an opportunity to view, in some detail,

the Hazury andesitic dyke (amygdaloidal), the character of the Guvta Eruptive Breccia and the numerous xenoliths and various collapse blocks within it. Along the slope leading towards the Hazury Spring (south facing) exposures of the Hazury dyke are seen. Two phases are here manifested, these are;

(a) A fine crystalline andesite. This rock consists of about 60% flow banded plagioclase laths (Or17Ab31An21) in a much altered matrix of ferromagnesian minerals (mostly amphibole), abundant apatite, analcrite and carbonate-filled amygdules. Well crystalline pyrite is particularly conspicuous. In polished section galena, sphalerite and arsenopyrite were also identified, in various rocks from this vicinity.

(b) A coarser crystalline andesite (?). This rock has a mottled appearance due the "mixing" (?) of a mafic andesitic and a more felsic (trachytic) phase. There are abundant amygdules and coarse euhedral analcrite also present.

These rocks are unusual in their geochemistry (highly alkaline, virtual absence of Cr and Ni), magma mixing (felsic and intermediate), anomalous P content (3.5% apatite in the norm), the presence of oxides, sulphides and others. Undoubtedly, extensive late-or post-magmatic metasomatic activity took place in this area. In the general vicinity, just north of the gravel road, the Kidod Fm. is clearly cut by volcanic breccia. Continuing down slope towards the Hazury Spring, we observe that the whole area is composed of basalt and breccia, these rocks are particularly well exposed along the upper reaches of the gravel road and against the J4 (fault or intrusive?) contacts. Along the vertical face of an E-W trending terrace just beneath the Hazury Spring, the character of this portion of the Guvta Breccia is revealed. Basalt with abundant assorted clasts, is filling interstices between large and small blocks of overlying sediments from the J5-J7 formations. In places, brecciation extends into the sedimentary units forming tuffisite, and testifying to the considerable explosive force at the time of magma emplacement. Since the basaltic breccia cuts across and envelopes blocks from the uppermost Jurassic units, it is very likely that emplacement reached the surface as an explosive eruption.

#### STOP 4 - YAAFURY DIATREME PIPE

We proceed, by vehicle to the Yaafury Junction (intersection of roads to Mas'aade and Heahzut Nimrod).

We see here a fine example of a basaltic dyke with some small branching sills, passing from the Hermon Fm. into the Kidod Fm. and the deformation associated with its explosive intrusion. Near the junction of the two (and passage from aquifer to aquiclude) the dyke shows a sudden "flaring out". The considerable explosive character of this is seen at the spring (about 50 m above the road) where the volcanic breccia and wall rock tuffisite, are quite spectacular. The Kidod shows shattering outwards and away from the diatreme to a distance about equal to the diameter of the pipe itself. The funnel-shape of the pipe is seen when viewed towards the Guvta Eruptive (SW) from the spring. It is pointed

out that exotic fragments of coarse crystalline diorite were found here. Is their protolith a Precambrian basement?

STOP 5 - DUVDVAN JUNCTION (Heahzut Nimrod-Majdal intersec.)

At this location we will examine the E'Shatr Flows and Bedded Pyroclastic Sequence, an intrusive autobreccia-agglomerate dyke or pipe-like body, and the inter-relationship between these units (Fig. 4).

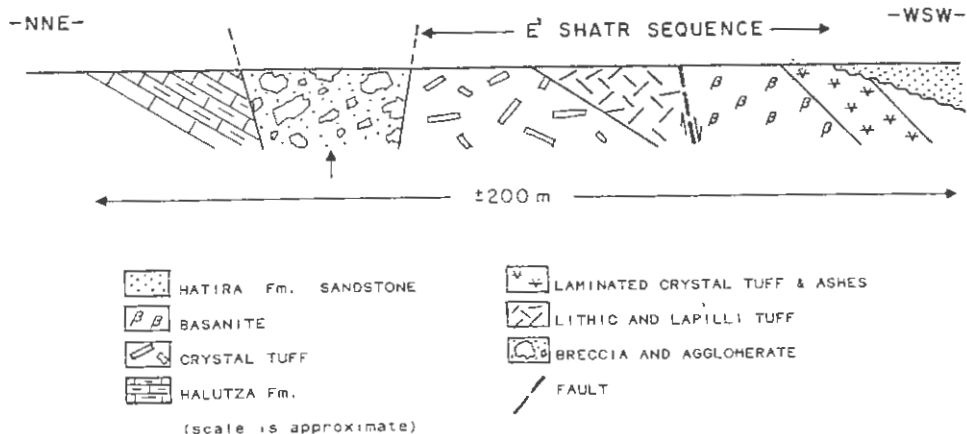


Figure 4. NNE-SSW section across the volcanic sequence at the Heahzut Nimrod-Majdal Shams roads intersection (coords: 22115/29530). The true-dips (along the road) are away from the observer.

From the Hatira Sandstone quarry we proceed down road and into the volcanic section. The sandstones dip 20-25° towards WSW whereas the tuffs about 40-50° towards the SW. The significance of this disconformity is not as yet confirmed, however regionally it seems to imply onlap of the Hatira on tilted or gently folded volcanic rocks. Going down section, we cross from a finely laminated, lateritic purple ash-fall tuff, across a paleosol horizon into a porphyritic basalt flow showing well developed spheroidal weathering. The basaltic rocks in this section range from basanites to hawaiites and muguerites, on the alkali-silica diagram (Fig. 2) the E'Shatr bedded rocks appear to constitute a differentiated sequence. The uppermost flow is an olivine + clinopyroxene phryic analcite basanite. Continuing down-section, we cross into a sequence of crystal to lapilli tuffs. A few meters to the north the tuffs are faulted on small E-W normal faults with down-faulted blocks to the south. Just beyond these small faults we pass, across an intrusive contact, into a dyke-like body, or small vent, of volcanic breccia which passes into agglomerate.

Compositionally the apparently monomict breccia-agglomerate is an olivine + pyroxene + analcrite-bearing basalt. Chemically it is however a transitional alkali basalt, its K-Ar age is about 30 Ma younger than the E'Shatr basanite (dated about 2 km to the SW), and is therefore unlikely to be a feeder for the neighbouring flows.

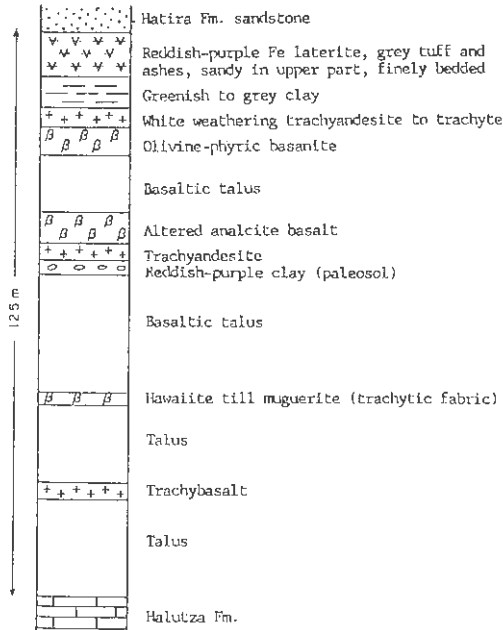


FIGURE 5. Stratigraphic column of the E'Shatr Bedded Flows-Pyroclastic Sequence beneath Heahzut Nimrod (coords: 22115/29530).

#### STOP 6 - HEAHZUT NIMROD - EASTERN GRABEN FAULT SECTION

This "foot" traverse will take us from the Hatira Sandstones at Heahzut Nimrod, across the E'Shatr Bedded Sequence (Fig. 5). We proceed down slope, across a small basaltic cone which cuts through Halutza limestones. This rock is a very fresh, well flow-banded olivine + proxene phryic alkali basalt. Some megacrysts of clinopyroxene and olivine are also present, however, it is not yet known if these differ in composition from matrix ferromagnesians. In age (ca. 99 Ma) and composition, this rock is very similar to the breccia-agglomerate body that we examined at Stop 5. We note however that it differs in composition (Fig. 2) and very likely in age, from the dominantly basanite and Hawaite flows in the E'Shatr sequence that we just left. We continue down-slope, across a basalt boulder-field and into a small but prominent ridge from the lower part of the Beersheva Fm. Portions of this ridge are comprised entirely of a siliceous (>90% SiO₂) spiculite rock (Goldberg, pers. comm. and Goldberg et al. 1981).

The view from this location of the various units which comprise the Neue Ativ Magmatic Complex and also the eastern flanks of the

Hermon monocline is quite spectacular. Note also the abrupt NW swing (towards Hazury) of the main drainage channel in the basin beneath us which is attributed to Recent slides (Arkin and Shimron, sheet included herein). We proceed down the south slope, across a basalt boulder-field and enter the Duvdvan Diatreme.

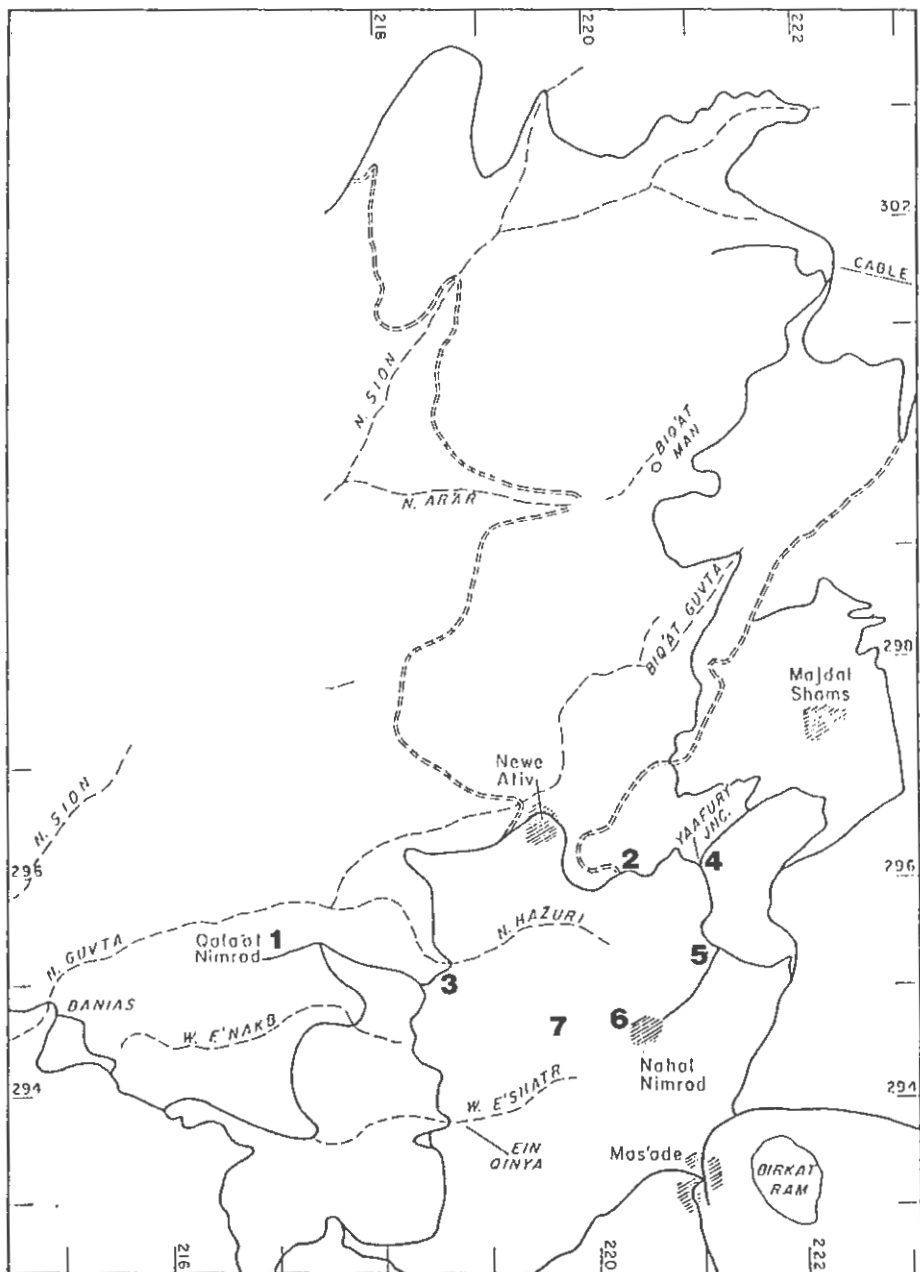
Basalt (Hawaiite) in this breccia pipe was dated at ca. 122 Ma, which need not be the age of the diatreme since the basalt may be a very large xenolith. This highly polymict breccia is marked, in particular by numerous xenoliths of discreetly (cumulus?) layered spinel gabbros. The gabbro xenoliths are basanites to picro-basalts in composition, and strongly enriched in Sr (>1200 ppm) and V (460 ppm). Megacrysts of Ti-amphibole (kaersutite) and plagioclase (andesine) are also important constituents, and some biotite phenocrysts are also present. From this location we proceed down hill about 1 km, towards the southward continuity of the Qinya (Eastern Graben) Fault. Time permitting, at this location we will examine, in brief, the following features:

- (a) Recent slides which, besides causing chaos in the tectonics and stratigraphy, also blocked and diverted the drainage pattern in the Neue Ativ basin. The unconsolidated conglomerate contains numerous clasts from the E'Shatr sequence, in particular abundant basanites and trachytes.
- (b) The Snaim Tholeiite outcrops nearby, and is continuous, as a prominent intrusive body, towards the SW into the orchards and groves of Ein Qinya. Its contact against the neighbouring Late Jurassic units appears to be faulted.
- (c) Observe the multiple history on some of the faults in this area. The E-W (normal followed by dextral) and N-S (strike-slip and normal) trending faults in the various juxtaposed Late Jurassic blocks in the graben are a reflection of the complex tectonic history of this area. Note that the E-W faults may have a post-slide history as evidenced by the displacement of the top of the E'Shatr tuffs (purple horizon) in the tectonic slide nearby.

#### ACKNOWLEDGMENTS

I thank many who in one way, or another, have contributed to the work on the Hermon Range. In particular however, my gratitude to C. Dalal, R. Madmon, Y. Peled and Y. Mizrahi for assistance in the field, M. Dvoracheck and M. Matthews for assistance on the SEM, to B. Lang, Y. Bartov and G. Bar for numerous discussions, the chemical laboratories of the Geological Survey of Israel for their excellent chemical work, M. Shirav and M. Halicz for patiently helping with uncooperative computers, S. Levi for being grouchy but providing good figures, and last but not least, to the good people of Neue Ativ for providing assistance, and fine apples while enjoying the fine geology in the midst of their orchards - my sincere thanks.

Figure 6. EXCURSION NO. 1. STATION LOCATIONS



## REFERENCES CITED:

- Bonen, D., 1980. The Mesozoic basaltic rocks of Israel. Ph.D Thesis, Hebrew University, Jerusalem (in Hebrew), 158 pp.
- Dubertret, L., 1955. Carte géologique du Liban 1:200,000. Feuille de Beyrouth. Rep. Libanaise, Min. des Travaux Pub., Beyrouth
- Dubertret, L., 1966. Liban, Syria et bordure des pays voisins, Notas Mem. Mayen-Orient VIII, 250-358.
- Goldberg, M. Hirsch, F., and Mimran, Y., 1981. The Jurassic sequence of Mount Hermon. Annual Meet. Proc. Israel Geol. Soc. Katzrin, 14-19.
- Irving, A. J., 1974. Megacrysts from the Newer Basalts and Other Basaltic Rocks of Southeastern Australia. Geol. Soc. Am. Bull. 85, 1503-1514.
- Le Bas M. J. Le Maitre R. W. Streckeisen A., and Zanettin B., 1986. A Chemical Classification of Volcanic Rocks Based on the Total Alkali-Silica Diagram. Journal of Petrology, 27, 745-750.
- McDonald, G. A., and Katzura, T., 1964. Chemical composition of Hawaiian lavas. Journal of Petrology, 5, 82-133.
- Mimran, Y., 1972. The Tayasir Volcanics. Bulletin No. 52, Geological Survey of Israel, 14 pp.
- Mor, D., 1985. Har Odem, Geological Map, Preliminary Edition, Scale 1:50,000, Geological Survey of Israel.
- Mor, D. Lang, B., and Steinitz G., 1984. The K-Ar Age of the Mesozoic Volcanism on the Southeastern Flank of Mount Hermon. Isr. Geol. Surv. Rep. GSI./36/84, 8 pp.
- Shimron, A. E., 1988. The Early Cretaceous "Nimrod" Volcanic Episode On Mount Hermon - Cause And Effects -. Israel Geological Society Ann. Meet. En Bokek, 107-108.
- Shimron A. E., and Lang, B., 1989. New Geological Data and K-Ar Geochronology of the Magmatic Rocks on the Southeastern Flanks of Mt. Hermon. Isr. Geol. Surv. Rep. GSI./41/88, 24 pp.
- Shoemaker, E.M., Roach, C. H., Byers, F. M., and Milton, Frank, Jr., 1957. Diatremes and Uranium Deposits in the Hopi Buttes, Arizona, in Petrologic Studies: A volume to honor A.F. Buddington: New York, Geological Society of America, pp. 327-355.
- Wass, S. Y., 1980. Geochemistry and origin of xenolith-bearing and related alkali basaltic rocks from the Southern Highlands, New South Wales, Australia. Am. J. of Sci. Vol. 280 A, part 2, 639-667.